

SÖZLÜ BİLDİRİLER / ORAL PRESENTATIONS

Girişimsel kardiyoloji

S-001

Transkatereter aort kapağı implantasyonundan sonra yeni başlangıçlı ileti bozukluklarının görülme sıklığı, öngördürücü faktörleri ve sonlanımı

Ömer Aktug¹, Guido Dohmen², Kathrin Brehmer¹, Verena Deserno¹, Ralf Herpertz¹, Rüdiger Autschbach², Robert Stöhr¹, Nikolaus Marx¹, Rainer Hoffmann¹

¹RWTH Üniversite Hastanesi, Kardiyoloji, Anjiyoloji ve Pnömoji Anabilim Dalları, Aachen, Almanya

²RWTH Üniversite Hastanesi, Göğüs ve Kalp Cerrahisi Anabilim Dalı, Aachen, Almanya

Ömer Aktug¹, Guido Dohmen², Kathrin Brehmer¹, Verena Deserno¹, Ralf Herpertz¹, Rüdiger Autschbach², Robert Stöhr¹, Nikolaus Marx¹, Rainer Hoffmann¹

¹RWTH Üniversite Hastanesi, Kardiyoloji, Anjiyoloji ve Pnömoji Anabilim Dalları, Aachen, Almanya

²RWTH Üniversite Hastanesi, Göğüs ve Kalp Cerrahisi Anabilim Dalı, Aachen, Almanya

Ekokardiyografi

S-002

Transkatereter aort kapak implantasyonu yapılan hastalarda ekokardiyografik takip bulguları

Alpay Sezer¹, Tolga Özüyük¹, Genco Yücel¹, Alpaslan Eryılmaz¹, Altun Yıldırım¹, Rahime Uysal¹, Erdoğa Aygar¹, Füsun Değirmencioğlu¹, Tufan Paker¹, Atif Akçevin²

¹VKV Amerikan Hastanesi Kardiyoloji Bölümü, İstanbul

²VKV Amerikan Hastanesi Kalp Damar Cerrahisi Bölümü, İstanbul

Semptomatik ciddi aor darlığı nedeniyle Edwards-Sapien kapak ile transkatereter aort kapak implantasyonu (TAKI) uygulanan hastaların işlem sonrası 6. ayda elde edilen ekokardiyografik takip bulguları bildirilmiştir. Mayıs 2009 ile Haziran 2011 tarihleri arasında TAKI uygulanan 33 hastadan işlem sonrası hastanede taburcu edilen ve 6. ayda ekokardiyografik incelemesi yapılan 17 hasta analize dahil edildi (7 erkek, 10 kadın, ortalama yaşı: 80±7, yaş aralığı: 64-92). Tüm hastaların NYHA göre fonksiyonel sınıfı III ya da IV idi. Hastaların 11'inde (%65) hipertansiyon, 6'sında (%35) klinik önemli koroner arter hastalığı (koroner girişim ya da koroner baypas cerrahisi, geçirilmiş miyokard enfarktüsü), 4'ünde (%23) atrial fibrilasyon, 3'te (%17) hafif mitral darlığı mevcuttu. İşlem öncesi aort zirve akımı 4.86 ± 0.7 m/s, aort kapak alanı 0.63 ± 0.1 cm², mean aort gradienti 59.2 ± 15.6 mmHg olarak saptandı. İşlem sonrası aort zirve akımı 2.3 ± 0.5 m/s, aort kapak alanı 1.65 ± 0.2 cm², ortalama aort gradyanı 11.7 ± 4.4 mmHg ölçüldü ($p<0.0001$). Hiçbir hasta erken dönem ve 6. ayda klinik önemli (3+ ya da 4+) valvüler ya da paravalvüler orta yetersizliği izlenmedi, mitral kapak disfonksiyonu olmadı. Sol ventrikül diastolik çapı, sol ve sağ atrium çapları, sağ ventrikül genişliği başlangıçta göre 6. ayda anamlı farklılık göstermedi ($p>0.05$). Sol ventrikül sistolik çapı, septum ve arka duvar kalınlığında ise anamlı azalma saptandı ($p<0.01$). Sol ventrikül kitlesi ve kitle endeksi belirgin azalma gösterdi (işlem öncesi 221 ± 63 g, 122 ± 28 g/m², 6. ayda 184 ± 55 g, 101.9 ± 25.5 g/m², $p<0.0001$). İşlem öncesi sol ventrikül EF %55.4±12.1 iken işlem sonrası 6. ayda %61.7±10.1 olarak anamlı derecede daha yüksek bulundu ($p=0.004$). Atrial fibrilasyon ya da mitral darlığı olmayıp sol ventrikül diastolik disfonksiyon derecesi değerlendirilen 12 hastanın işlem öncesi 3'te grade I, 8'inde grade II, 1'inde grade III diastolik disfonksiyon mevcuttu. 6 ay sonunda başlangıçta grade II diastolik disfonksiyon olan hastaların 5'inde diastolik fonksiyon 1 derece düzelmeye gösterdi, diğerlerinde farklılık olmadı. Ortalama pulmoner arter basıncında 6. ayda anamlı derecede düşme saptandı (işlem öncesi 47.6 ± 14.8 mmHg, 6. ay 37.6 ± 10.2 mmHg, $p=0.004$). Sonuç olarak bulgularımız TAKI başarıyla uygulanın ve tümünde semptomlarda düzelmeye olan bu hasta grubunda klinik iyileşmeye sol ventrikül sistolik ve diastolik fonksiyonlarında düzelmeye, sol ventrikül kitesinde ve pulmoner arter basıncında azalmanın eşlik ettiğini göstermektedir.

Interventional cardiology

S-001

Incidence, predictors and outcome of new-onset conduction abnormalities after transcatheter aortic valve implantation

Ömer Aktug¹, Guido Dohmen², Kathrin Brehmer¹, Verena Deserno¹, Ralf Herpertz¹, Rüdiger Autschbach², Robert Stöhr¹, Nikolaus Marx¹, Rainer Hoffmann¹

¹Department of Cardiology, Angiology and Pneumology, University Hospital of RWTH Aachen, Germany

²Department of Cardiac and Thoracic Surgery, University Hospital of RWTH Aachen, Germany

Background: Since the initiation of transcatheter aortic valve implantation (TAVI) in 2002, there has been increasing interest in the field of catheter-based treatment of high surgical-risk and non-operable patients with symptomatic aortic stenosis (AS). TAVI has been reported to be associated with conduction disturbances. The aim of this study was to identify and evaluate the frequency and possible predictors of LBBB after TAVI.

Methods: Between January 2008 and December 2010, 205 consecutive patients (pts) (erkek: 36%, kadın: 64%, aged 80±7) underwent TAVI. All patients had symptomatic severe AS with a mean transvalvular aortic pressure gradient of 47 ± 18 mmHg. The procedural mean calculated aortic valve area was 0.7 ± 0.2 cm². Transfemoral TAVI was performed in 96 pts (CoreValve Revalving™ [47%]). Transapical TAVI implantation was done with Edwards SAPIEN™ valve in 109 pts (53%). The frequency of LBBB as well as AVB after TAVI was evaluated. Patient characteristics, valvular and left ventricular outflow tract morphology from preprocedural imaging (CT, TEE and calliper angiography) and procedural characteristics were evaluated for predictors of LBBB after TAVI.

Results: Preprocedural LBBB was present in 20 pts (n=9 CoreValve, n=11 Edwards SAPIEN). In 52 of 185 pts (28%) a new LBBB was observed after TAVI. The frequency of new LBBB was higher with CoreValve n=37 (39%) than with Edwards SAPIEN n=15 [14%] ($p=0.0002$). Additionally, 9 pts with a new LBBB displayed a first degree AVB. In 28 of 52 patients (54%) the new LBBB was persistent. In 37 CoreValve pts (39%) and 7 SAPIEN pts (6%) there was an indication for permanent pacemaker implantation. Indication for pacemaker implantation was related to complete AVB (n=39) or complete LBBB with AV delay (n=5). At 30 days, the all-cause mortality rate (i.e. including procedural) was 12.7%. Age, gender of the pts as well as aortic valve Agatston calcification score, left ventricular function and outflow tract diameter, LVEDD and PQ interval were no univariate predictors of new LBBB. Univariate predictors of new LBBB were valve implantation depth into the left ventricular outflow tract (8.0 ± 3 mm vs. 6.6 ± 3.4 mm, OR=1.226 per additional mm implantation depth, 95% CI 1.106-1.359, $p=0.0001$) and use of CoreValve prosthesis (OR=3.13, 95% CI 1.659-5.908; $p=0.0004$). In a multivariate analysis only implantation depth remained a predictor of new LBBB after TAVI (OR=1.172 per additional mm implantation depth, 95% CI 1.035-1.327; $p=0.012$).

Conclusion: TAVI is frequently associated with new conduction disturbances. There is a higher incidence of persistent LBBB and AVB with the CoreValve Revalving system. A critical implantation depth (>8 mm) appears to be associated with higher incidence of LBBB.

Echocardiography

S-002

Echocardiographic monitorization findings in patients undergoing transcatheter aortic valve implantation

Alpay Sezer¹, Tolga Özüyük¹, Genco Yücel¹, Alpaslan Eryılmaz¹, Altun Yıldırım¹, Rahime Uysal¹, Erdoğa Aygar¹, Füsun Değirmencioğlu¹, Tufan Paker¹, Atif Akçevin²

¹VKV American Hospital, Clinics of Cardiology, İstanbul

²VKV American Hospital, Clinics of Cardiovascular Surgery, İstanbul

S-003**Transkatereter aortik valv implantasyonu (TAVI) majör komplikasyonları**

Alpaslan Eryılmaz¹, Genco Yücel¹, Atif Akçevin², Tufan Paker², Ali Sezer³, Alpay Sezer¹, Tolga Özüigkeit¹, Terman Gülmüş⁴, Sergin Akpek⁴

¹VKV Amerikan Hastanesi Kardiyoloji Bölümü, İstanbul

²VKV Amerikan Hastanesi Kalp Damar Cerrahisi Bölümü, İstanbul

³VKV Amerikan Hastanesi Anesteziyoloji Bölümü, İstanbul

⁴VKV Amerikan Hastanesi Radyoloji Bölümü, İstanbul

Giriş: Transkatereter aortik valv implantasyonu (TAVI) semptomatik aort stenozu olup cerrahi yönelik riskli bulunan hastalarda 2002 yılından bu yana uygulanmaktadır. Ülkemizde ilk olarak 25 Mayıs 2009'da hastanemizde gerçekleştirilen toplantıda 33 hastalık vaka serisinde karşılaştı major komplikasyonlarınızı bildiriyoruz.

Gereçler-Yöntem: Ortalama yaşı 81(64-95) olan 33(15erkek) hastada, 26 transfemoral (TF), 6 transapikal (TA), ve 1 transaortik (TAo) yoldan başarılı TAVI işlemi yapıldı. Hastaların 1'inde kendiliğinden genişleyen, diğerlerinde balonla genişleyen protез kapak kullanıldı. Ortalama euroroscore 24(3-85) oldu.

Sonuç: TA yoldan işlem yapılan 6 hastanın 1'i işlem sonrası kanama ile revizyonu alıp hemostaz sağlanmasını takiben elektromekanik disiseyosyon, 2.si anjio laboratuvarında, balon valvuloplastiyi takiben, şiddetli aort yetmezliği ve yaygın koroner iskemi ve sol ventrikül yetmezliği ile kaybedildi. TF işlem yapılan hastaların 3'ünde major vasküler komplikasyon görüldü. Bunlarla ilgili olarak rüptürü gelişti ve kalp akçiger pompasına girilmesini takiben rüptürün cerrahi yolla başarılı şekilde tamam edilmesine rağmen işlem sonrası yoğun bakımda ilk 24 saat içinde kaybedildi. İlkinci hastada kapak taşıyan "retro-flex" kateterine bağlı gelişen aort rüptürü operatif tamir edildi, ancak, hasta postop yoğun bakımda kardiyovajenik sıkışıklığı kaybedildi. Üçüncü vasküler komplikasyon, aort kapak hizasına balonla genişleyen protез kapak yerleştirilmesi sonrası gelişen asendan arter diseksiyonu idi. Diseksiyonun hastanın serebral arterlerine akımı etkilemesi nedeniyle, aorta ve karotis arterlere stent uygulanması yapıldı. Postop 7. gün yoğun bakımda hemodializ gereken anüri ve kardiyogenik sıkışıklığı kaybedildi. TF yolla işlem yapılan 2 hastada cerebrovasküler olay (CVA) gelişti. Her 2 hastanın nörolojik defisitleri fizik tedavi ile geriledi ve ekstremité motor güçleri düzelmeli minimum destekle günlük işlerini yapabilir hale geldiler. Üç hastada geçici hemodiyaliz gerektiren anüri, 1 hastada ise diyaliz gerektirmeyen oligürük akut böbrek yetmezliği gelişti. Anürik fazdan geçen 1 hastada A-V tam blok nedenni kalıcı pace-maker konumu yapıldı. Bir hastada geçici pace-maker teline bağlı sağ venrikül rüptürü başarılı olarak açık cerrahi ile tedavi edildi ve herhangi bir ek problem gelişmedi. Ortalama euroscore, renal problem yaşayan hastalarda genelortalamanın çok üzerinde (50), diğer majör komplikasyon gelişen hastalarda ise genelortalamaya yakındır (22.4) idi.

Tartışma: TAVI işleminde yüksek riskli hastalarda çeşitli komplikasyonlar ile karşılaşılabilir. Vasküler komplikasyonların mortalite oranının yüksek olması nedeni ile özellikle TF vikalarda işlem öncesi ilio-femoral arter çapları, kalsifikasiyonları ve tortuositeleri ile torasik aort kalsifikasiyonu, ve açılma derecesi değerlendirilmeleri büyük önem taşımaktadır. Akut renal yetmezlik gelişen hastaların ortalama euroscore değerlerinin diğer hastalara göre yüksekliği dikkat çekmektedir.

Ekokardiyografi**S-004****Aort kapak implantasyonu sonrasında valvüler ve paravalvüler aort yetersizliği ile mitral yetersizliğinin ekokardiyografik takibi**

Alpay Sezer¹, Tolga Özüigkeit¹, Genco Yücel¹, Alpaslan Eryılmaz¹, Altun Yıldırım¹, Rahime Uysal¹, Erdoğan Aygar¹, Füsun Değirmencioğlu¹, Tufan Paker², Atif Akçevin²

¹VKV Amerikan Hastanesi Kardiyoloji Bölümü, İstanbul

²VKV Amerikan Hastanesi Kalp Damar Cerrahisi Bölümü, İstanbul

Semptomatik ciddi aort darlığı nedeniyle Edwards-Sapien kapak ile transkatereter aort kapak implantasyonu (TAKİ) uygulanan hastaların işlem sonrası 6 aylık ekokardiyografik takiplerinde valvüler ve paravalvüler aort yetersizliği ve mitral yetersizliği değerlendirildi. Mayıs 2009 ile Haziran 2011 tarihleri arasında TAKİ uygulanan 33 hastadan işlem sonrası hastaneden taburcu edilen ve 6. ayda ekokardiyografik incelemesi yapılan 17 hasta analize dahil edildi (7 erkek, 10 kadın, ortalaması yaşı: 80±7, yaş aralığı: 64-92). Hastaların 11'inde (%65) hipertansiyon, 6'sında (%35) klinik önemli koroner arter hastalığı (koroner girişimi ya da koroner bypass cerrahisi, geçirilmiş miyokard enfarktüsü), 4'ünde (%23) atrial fibrilasyon mevcuttu. İşlem öncesi 1 hastada (%6) eser derecede, 11 hastada (%64) hafif derecede, 2 hastada (%12) orta derecede, 1 hastada (%6) orta-ciddi derecede (3+) valvüler aort yetersizliği (VAY) mevcuttu, 2 hastada (%12) aort yetersizliği (AY) yoktu. Mitral yetersizliği (MY) ise 9 hastada (%53) hafif derece, 7 hastada (%41) orta derece, 1 hastada (%6) orta-ciddi derece (3+) olarak saptandı. Üç hastada (%17) hafif mitral darlığı mevcuttu. İşlem sırasında kullanılmış Edwards kapak boyutunu belirlemek amacıyla aortik annulus çapı (AAC) ölçümlü hastaların tümünden transtoraksik ekokardiyografi (TTE) ile yapıldı. Hastaların AAC 18-25 mm arasında olduğunu, ortalaması 20,7±1,8 mm bulundu. İşlem tüm hastalara başarıyla uygulandı ve aort zirve akım hızı $4,86 \pm 0,7$ m/s² den $2,3 \pm 0,5$ m/s'ye, ortalama aort gradyanı $59,2 \pm 15,6$ mmHg'dan $11,7 \pm 4,4$ mmHg'ya düştü ($p < 0,0001$). Erkek hastaların tümüne 26 mm'lik kapak yerleştirildi. On kadın hastanın 8'nde ise 23 mm'lik kapak kullanıldı. İşlem sonrası hiçbir hastada ölenin dönemde ve 6 ay içinde klinik önemli (>2+) paravalvüler aort yetersizliği (PAY) izlenmedi, mitral kapak disfonksiyonu olmuştu. PAY bir hasta (%6) dışında tüm hastalarda eser (3 hasta, %17,5), hafif (10 hasta, %59) ya da hafif-orta (3 hasta, %17,5) derecede olmak üzere mevcuttu. PAY derecesi işlem sonrası erken dönemde ve 1., 3. ve 6. ay sonunda farklılık göstermedi. TAKİ sonrasında hastaların çoğunda VAY gelişmedi (12 hasta, %70,5). Üç hastada (%17,5) eser derecede, 2 hastada (%12) hafif derecede VAY izlendi ve 6 ay boyunca bu bulguda değişiklik olmadı. Hastaların işlem öncesi AY derecesi ile işlem sonrası toplam AY derecesi kıyaslandığında anlamlı fark saptanmadı ($p > 0,05$). Buna karşılık işlem sonrası takipte MY derecesinin başlangıçtaki göre anlamlı derecede azaldığı görüldü ($p = 0,001$). MY şiddeti 10 hastada (%59) en fazla 1 derece olmak üzere azaldı, 7 hastada (%41) değişmedi, hiçbir hasta artışı göstermedi. Sonuç olarak TAKİ uygulaması sonrasında VAY büyük ölçüde ortadan kalkmaktadır, ancak hastaların hemen tamamında PAY olmaktadır. TTE ile yapılan AAC ölçümlü uygun kapak boyutu seçilerek şiddetli PAY gelişmesini önlemek açısından yeterli gözükmemektedir. Ciddi aort darlığının TAKİ ile düzeltildiğine eşlik eden MY'de azalma sağlanabilmektedir.

S-003**Major complications in transcatheter aortic valve implantation (TAVI)**

Alpaslan Eryılmaz¹, Genco Yücel¹, Atif Akçevin², Tufan Paker², Ali Sezer³, Alpay Sezer¹, Tolga Özüigkeit¹, Terman Gülmüş⁴, Sergin Akpek⁴

¹VKV Amerikan Hospital, Division of Cardiology, İstanbul

²VKV Amerikan Hospital, Division of Cardiovascular Surgery, İstanbul

³VKV Amerikan Hospital, Division of Anesthesiology, İstanbul

⁴VKV Amerikan Hospital, Division of Radiology, İstanbul

Transcatheter aortic valve implantation(TAVI) is being performed in severe aortic stenosis patients with high surgical risk. Since 25 May 2009, TAVI has been performed successfully in our institution. Here we are reporting complications in our TAVI series of first 33 patients.

There were 26 transfemoral, 6 transapical and 1 transaortic procedures. 2 out of 6 transapical patients died within 24 hours of the procedure. First one with bleeding complications requiring revision, second one with, aortic insufficiency and coronary ischemia after balloon valvuloplasty resulting in severe ventricular failure. Three of 26 TF patients had major vascular complications. First one with femoral artery avulsion, which was treated with open surgery under heart-lung pump, second one with aortic rupture due to retroflex system injury and third one with thoracic aorta dissection extending into cerebral arteries. Multiple stents were placed to the aorta, carotids to stabilize the patient. All three patients died in hospital. There were 2 major strokes in TF group. Both patients improved significantly with rehabilitation. Three patients had anuric renal failure requiring hemodialysis and one patient had oliguric renal failure which was solved with IV diuretics only. There was one incidence of RV rupture from the temporary pacemaker wire, which was fixed surgically and one event of permanent pacemaker after complete AV block after a balloon expandable prosthetic valve implantation.

Discussion: TAVI is being performed in aortic stenosis patients with high surgical risk with some morbidity and mortality risks. Major vascular complications carried significantly high mortality rate. Therefore particular attention needs to be paid to vascular evaluation with CT angiography of aoro-ilio-femoral vasculature, of these patients pre-procedure. We also noted patients who had renal complications, had significantly higher euroscores than the patients who had other complications. This should be considered in patients with very high euroscores undergoing TAVI.

Echocardiography**S-004****Echocardiographic monitorization of valvular, paravalvular aortic, and also mitral insufficiency after aortic valve implantation**

Alpay Sezer¹, Tolga Özüigkeit¹, Genco Yücel¹, Alpaslan Eryılmaz¹, Altun Yıldırım¹, Rahime Uysal¹, Erdoğan Aygar¹, Füsun Değirmencioğlu¹, Tufan Paker², Atif Akçevin²

¹VKV American Hospital, Clinics of Cardiology, İstanbul

²VKV American Hospital, Clinics of Cardiovascular Surgery, İstanbul

S-005**Transkaterter aort kapak implantasyonunun sol atriyal volüm indeksi üzerinde etkisi**

Tolga Özügit¹, Alpay Sezer¹, Genco Yücel¹, Alpaslan Eryilmaz¹, Altun Yildirim¹, Rahime Uysal¹, Erdogan Aygar¹, Füsün Değirmencioğlu¹, Tufan Paker², Atif Akçevin²

¹VKV Amerikan Hastanesi Kardiyoloji Bölümü, İstanbul

²VKV Amerikan Hastanesi Kalp Damar Cerrahisi Bölümü, İstanbul

Giriş-Amac: Artmış sol atriyum (LA) çapı, kalp yetersizliği, atriyal fibrilasyon ve inme gibi kardiyovasküler olayların sıklığındaki artış ile ilişkilidir. Ancak son yıllarda, sol atriyumun geometrisinden dolayı, çap ölçümünden ziyade volüm hesabı daha ön plana çıkmıştır. Sol atriyal volüm indeksi (LAVI) koroner arter hastalığı morbidite ve mortalitesi, atriyal fibrilasyon, inme, sistemik tromboembolizm ve konjestif kalp yetersizliği gelişimi ile ilişkili bulunmuştur. Bu nedenle bazı araştırmacılar kardiyovasküler olayların predikte edilmesinde LAVI'yi bir biyobelirteç olarak kabul etmektedir. Çalışmamızda semptomatik ciddi aort darlığı nedeniyle transkaterter aort kapak implantasyonu (TAKI) uygulanan hastaların işlem öncesi ve 6. ayda yapılan ekokardiyografik incelemelerinde sol atriyal volüm indekslerindeki (LAVI) değişim incelendi.

Materyal-Metod: Çalışmamızda, Mayıs 2009 ile Haziran 2011 tarihleri arasında TAKI uygulanan 13 hastanın sol atriyal volümüleri (LAV), işlem öncesi ve işlemden 6 ay sonra yapılmış olan eko-kardiyografik kayıtlar üzerinden off-line olarak biplan alan-uzunluk metodu ile hesaplandı. Elde edilen sonuçlar vücut yüzey alanına indekslenerek sol atriyal volüm indeksleri (LAVI) elde edildi (mL/m^2). Bu değerler işlem öncesi ve işlem sonrası olarak birbirleriyle karşılaştırıldı.

Bulgular: Çalışmamızda 13 hasta (8 kadın, 5 erkek) aldı. Hastaların ortalaması yaşı 82 ± 4.8 (yaş aralığı 73-92) idi. 2 hastada atriyal fibrilasyon ritmi, 9 hastada hipertansiyon, 7 hastada tip II diabet, 2 hastada geçirilmiş miyokart enfarktüsü ve 3 hastada geçirilmiş koroner arter baypas cerrahisi öyküleri mevcuttu. İşlem öncesi ortalaması LAV değeri $86.9 \pm 6.7 \text{ mL}$, işlem sonrası 6. ayda $77.9 \pm 8.7 \text{ mL}$ ($p=0.11$), işlem öncesi ortalaması LAVI değeri $48.2 \pm 3.2 \text{ mL}/\text{m}^2$, işlem sonrası 6. ayda ise $42.8 \pm 3.7 \text{ mL}/\text{m}^2$ ($p=0.08$) olarak ölçüldü.

Sonuç: Transkaterter aort kapak implantasyonu ile istatistiksel olarak anlamlı seviyelere ulaşmasıyla LAV'de küçülme izlenmiştir. Biyobelirteç olarak kabul edilen LAVI'nın küçülmesi, TAKI ile majör kardiyovasküler olaylarda azalma sağlanabileceğini indirek bulgusunu olabilir. Bu sonuca ulaşmak için daha büyük çaplı araştırmalara ihtiyaç vardır.

S-005**The impact of transcatheter aortic valve implantation on left atrial volume index**

Tolga Özügit¹, Alpay Sezer¹, Genco Yücel¹, Alpaslan Eryilmaz¹, Altun Yildirim¹, Rahime Uysal¹, Erdogan Aygar¹, Füsün Değirmencioğlu¹, Tufan Paker², Atif Akçevin²

¹VKV American Hospital, Clinics of Cardiology, İstanbul

²VKV American Hospital, Clinics of Cardiovascular Surgery, İstanbul

Girişimsel kardiyoloji**S-006****Yüksek riskli aort darlığı hastalarında cerrahi kapak replasmanına göre transkaterter aort kapağı implantasyonundan sonra 30 günlük sonuçlar - Eşleştirmeli bir karşılaştırma**

Robert Stöhr¹, Ömer Aktug¹, Guido Dohmen², Ralph Koos¹, Ralf Herpertz¹, Emilia Stegemann¹, Rüdiger Autschbach², Nikolaus Marx¹, Rainer Hoffmann¹

¹RWTH Üniversitesi Hastanesi, Kardiyoloji, Anjiyoloji ve Pnömonoloji Anabilim Dalları, Aachen, Almanya

²RWTH Üniversitesi Hastanesi, Göğüs ve Kalp Cerrahisi Anabilim Dalı, Aachen, Almanya

Interventional cardiology**S-006****30 day outcome after transcatheter aortic valve implantation compared to surgical valve replacement in high-risk aortic stenosis patients - A matched comparison**

Robert Stöhr¹, Ömer Aktug¹, Guido Dohmen², Ralph Koos¹, Ralf Herpertz¹, Emilia Stegemann¹, Rüdiger Autschbach², Nikolaus Marx¹, Rainer Hoffmann¹

¹Department of Cardiology, Angiology and Pneumology, University Hospital of RWTH Aachen, Germany

²Department of Cardiac and Thoracic Surgery, University Hospital of RWTH Aachen, Germany

Background: Transcatheter aortic valve implantation (TAVI) has become a therapeutic alternative to surgery for treatment of severe aortic stenosis in high surgical risk patients. The aim of this study was to compare 30 day mortality of high risk patients treated by TAVI vs. surgical aortic valve replacement.

Methods: 176 patients (60 males, mean age 80 ± 6 years, Euroscore $21 \pm 13\%$) having undergone TAVI were compared to 176 matched patients (76 males, mean age 79 ± 3 years, Euroscore $17 \pm 9\%$) which have undergone conventional aortic valve replacement and were deemed to be high risk patients by the cardiothoracic surgeons. 30 day mortality and major adverse events were recorded in both groups. Patient characteristics were analyzed for predictors of mortality in the TAVI group.

Results: 21 patients (12%) in the TAVI group and 13 patients (8%) in the surgical group died within 30 days of the procedure ($p=0.165$). 2 patients (1%) in the TAVI group and 1 patient (0.5%) in the conventional surgery group had a major stroke ($p=1.0$). 7 patients (4%) in the TAVI group and 25 patients (14%) in the conventional surgery group required dialysis post procedure ($p=0.0013$). The average length of stay on the intensive-care unit was lower in the TAVI group compared to the conventional surgical group (3.3 ± 3.1 vs. 6.6 ± 10.5 days; $p<0.001$). Age was the only independent predictor of mortality in the TAVI group ($OR = 1.009$, 95% CI $1.001 - 1.018$ per additional year, $p=0.0186$) as well as in the total study population ($OR = 1.007$, 95% CI $1.001 - 1.013$ per additional year, $p=0.0186$).

Conclusions: In high surgical risk patients TAVI can be performed at a mortality risk comparable to conventional surgery with reduced length of post interventional intensive care unit stay and less need for dialysis.

S-007

Aort stenozu ve koroner arter hastalığında aynı seansta transkatereter aortik valv implantasyonu ve koroner stent konumu

Genco Yücel¹, Alpaslan Eryilmaz¹, Tufan Paker², Atif Akçevin², Ali Sezer³, Alpay Sezer¹, Tolga Özügit¹, Recep Bozak¹, Terman Gümüş⁴, Sergin Akpek⁴

¹VKV Amerikan Hastanesi, Kardiyoloji Bölümü, İstanbul

²VKV Amerikan Hastanesi, Kalp Damar Cerrahisi Bölümü, İstanbul

³VKV Amerikan Hastanesi, Anesteziyoloji Bölümü, İstanbul

⁴VKV Amerikan Hastanesi, Radyoloji Bölümü, İstanbul

Giriş: Transkatereter aort kapak implantasyonu (TAVI) symptomatik aort stenozu nedeniyle operasyon gereken, yüksek operatif riski olan hastalarda son 2 yıldır ülkemizde uygulanmaktadır. Bir tedavi metodudur. Aort stenozuna ilaveten koroner arter hastalığı da olan hastalarda koroner tedavisinin nasıl ve ne zaman yapılacağı netleşmemiştir. Cerrahi aort kapak replasmanı (SAVR) olan hastalarda aynı seansda koroner baypas uygulanmasının da yapılması yaklaşımını göz önüne alarak, TAVI gereken ve öncemi koroner arter hastalığı olan hastalarımızda aynı seansda TAVI ve koroner stent (KS) konumu gerçekleştirilebilirliğini inceledik.

Gereç ve Yöntemler: Symptomatik aort stenozu olan hastalar, klinik bulguları laboratuvar tetkikleri, ekokardiografi, BT anjiyografı, varsa koroner anjiyografı sonuçları ile multidisipliner kapak takımı toplantısında değerlendirilir ve strateji şartlandırılır. İşlemler kateter laboratuvarında yapıldı. Önce klasik usulle koroner girişim, ardından TAVI gerçekleştirildi. 22 Ekim 2009 ve 20 Nisan 2011 arasında eş zamanlı TAVI ve KS işlemi gerçekleştirilen 7 hastanın 5'i (%70,2) erkek, yaş ortalaması 84 (78-92) idi. İşlem öncesi ortalama kreatinin düzeyi, 1 mg/dl, hemoglobin düzeyi 10,4 g/dl idi.

Sonuçlar: Bütün hastalarda balonlu genişleyen aort bioprotein kapak (Edwards Sapien XT-Edwards Lifesciences Inc.) kullanıldı. TAVI işlemi 5 (%80) hastada transfemoral, 2 hastada ise transapikal yolla yapıldı. 1 hastada korunmamış LMCA, 1 hastada LAD, 3 hastada RCA, 1 hastada 2 safen arteri, 1 hastada ise RCA-LAD multi damar KS işlemi gerçekleştirildi. Hasta başına ortalama 1,4 çiplak kobalt kromium stent kullanıldı. Hasta başına stent ortalama çapı, 3,3mm ve hasta başına ortalama uzunluk 28mm oldu. İşlem başarısı %100 idi. Ortalama işlem süresi 151 dakika, işlemde kullanılan kontrast miktarı ise 280cc idi. Hastane içinde bir hastada aort yırtılma-sı bağlı ölüm oldu. Diğer hastalarda major komplikasyon (ölümlü, MI, inme, transfüzyon gereken kanama, akut böbrek yetmezliği) olmadı. Taburculuk sonrası hastalar ortalama 8,5 ay (2-20 ay) takip edildiler. Hastalarda kontrendike değilse Aspirin minimum 50 mg/gün sürekli, klopidogrel 75 mg/gün en az 1, en çok 3 ay kullanıldı. Bir hasta sùr kaybını takibe bilinmemeyen bir nedenle işlem sonrası 8. ayda kaybedildi. Diğer hastalar ise klinik olarak stabil kaldı.

Tartışma: Aort stenozu ve koroner arter hastalığı olan, TAVI önerilen hastalarda koroner girişim gerekliliği ve zamanlaması tartışılmaktadır. SAVR operasyonu esnasında koroner hastalığında eş zamanlı tedavi edilmesi prensibinden hareketle şiddetti aort stenozu ve koroner arter hastalığı olan 7 hasta eş zamanlı TAVI ve KS konumu ile tedavi edildiler. Bu yaklaşımın uygulanabilirliği ve iki işlemin farklı zamanlar yerine, aynı seansda yapılmasına bağlı, yüksek miktar kontrast kullanımına bağlı renal yetmezlik gibi major komplikasyon gelişmediği görüldü.

S-007

Transcatheter aortic valve implantation and coronary stenting in the same setting in patients with aortic stenosis and coronary artery disease

Genco Yücel¹, Alpaslan Eryilmaz¹, Tufan Paker², Atif Akçevin², Ali Sezer³, Alpay Sezer¹, Tolga Özügit¹, Recep Bozak¹, Terman Gümüş⁴, Sergin Akpek⁴

¹VKV American Hospital, Division of Cardiology, Istanbul

²VKV American Hospital, Division of Cardiovascular Surgery, Istanbul

³VKV American Hospital, Division of Anesthesiology, Istanbul

⁴VKV American Hospital, Division of Radiology, Istanbul

In the last two years transcatheter aortic valve implantation (TAVI) has been performed in patients with severe aortic stenosis and high surgical risk, in Turkey. It is unclear how to approach the patients with concomitant significant coronary artery disease. We performed coronary stenting, in addition to TAVI during the same setting in 7 patients. In all patients balloon expandable aortic bioprosthesis and bare metal cobalt chromium stents were used. One patient died in the hospital secondary to aortic rupture. One patient died 8 months after the procedure due to unknown reasons. No patient had any complication including acute renal failure as a result of this approach. We conclude that coronary stenting during same setting in patients undergoing TAVI is feasible and can be done with no additional complication risk.

S-008

Yüksek cerrahi riskli aort darlığı hastalarında tıbbi tedaviyle transkatereter aort kapağı implantasyonunun karşılaştırması

Rainer Hoffmann¹, Ömer Aktug², Ralf Herpertz¹, Robert Stöhr¹, Kathrin Brehmer¹, Emilia Stegemann¹, Rüdiger Autschbach², Nikolaus Marx¹, Guido Dohmen²

¹RWTH Üniverstite Hastanesi, Kardiyoloji, Anjiyoloji ve Pnömoloji Anabilim Dalları, Aachen, Almanya

²RWTH Üniverstite Hastanesi, Göğüs ve Kalp Cerrahisi Anabilim Dalı, Aachen, Almanya

S-008

Comparison of transcatheter aortic valve implantation with medical therapy for high surgical risk aortic stenosis patients

Rainer Hoffmann¹, Ömer Aktug¹, Ralf Herpertz¹, Robert Stöhr¹, Kathrin Brehmer¹, Emilia Stegemann¹, Rüdiger Autschbach², Nikolaus Marx¹, Guido Dohmen²

¹Department of Cardiology, Angiology and Pneumology, University Hospital of RWTH Aachen, Germany

²Department of Cardiac and Thoracic Surgery, University Hospital of RWTH Aachen, Germany

Objective: Transcatheter aortic valve implantation (TAVI) has become a therapeutic option for treatment of high risk or inoperable patients with symptomatic severe aortic stenosis. The aim of this study was to compare 1 year mortality of high risk or inoperable patients treated by TAVI vs. medical therapy.

Methods: 156 patients (60 males, mean age 80±6 years, log. EuroSCORE 21±13%) having undergone TAVI were compared to 135 patients (66 males, mean age 79±3 years, log. EuroSCORE 21±9%) which have undergone medical treatment before TAVI became available. 30 day mortality, 1 year mortality and mortality during up to 600 days of follow-up were recorded in both groups. Patient characteristics were analyzed for predictors of mortality in the TAVI group.

Results: 19 patients (12%) in the TAVI group and 10 patients (7%) in the medically treated group died within 30 days of intervention or presentation ($p=0.253$). At one year follow-up 32 patients (21%) in the TAVI group and 69 patient (41%) in the medically treated group died ($p<0.001$). Log-rank analysis demonstrated significant survival benefit in the TAVI group compared to the medical treatment group during total follow-up period. Univariate predictors of death at one year follow-up included medical therapy, logistic EuroSCORE and pulmonary hypertension. Medical therapy remained the only independent predictor of mortality in a multivariate analysis (OR 3.767; 95% confidence interval 2.163 to 6.563; $p<0.001$).

Conclusion: In high surgical risk patients one year follow-up mortality is significantly lower in patients treated by the TAVI than in patients treated only medically. Predictors of mortality at one year in addition to treatment strategy are pulmonary hypertension and EuroSCORE.

S-009

Transkatereter aortik kapak implantasyonu sonrası difüzyon ağırlıklı beyin MRG bulguları

Terhan Güneş¹, Sergen Akpek¹, Genco Yücel¹, Alpaslan Eryilmaz², Müjdat Babadostu², Alpay Sezer², Tolga Özüigkeit², Ali Sezer¹, Atif Akçevin³, Tufan Paker³

¹VKV Amerikan Hastanesi, Radyoloji Bölümü, İstanbul

²VKV Amerikan Hastanesi, Kardiyoloji Bölümü, İstanbul

³VKV Amerikan Hastanesi, Kalp Damar Cerrahisi Bölümü, İstanbul

⁴VKV Amerikan Hastanesi, Anesteziyoloji Bölümü, İstanbul

Giriş: Transkatereter aortik kapak implantasyonu (TAVI) konvansiyonel cerrahinin uygulanmadığı olgularda, aort stenozu tedavisinde başarıyla uygulanan ve yaygınlığı hızla artan tedavi yöntemidir. Çalışmamızda, TAVI uygulanan hastalarda işlem sonrası gelişen embolik cerebral iskemi riskinin değerlendirilmesi amaçlandı.

Gereç-Yöntem: Ortalama 81 yaşında (76-89), 26 hasta TAVI işlemi öncesinde ve sonrasında 48 saat içerisinde difüzyon ağırlıklı (DA) Beyin MR incelemesi gerçekleştirildi. Tüm hastaların işlem öncesi ve sonrasında nörolojik muayeneleri yapıldı. MR verileri difüzyon kısıtlaması izlenen alanların boyutu, sayısı ve lokalizasyonunu yönelik değerlendirdi.

Bulgular: TAVI sonrası DA MRG'de; 26 hastanın 16'sında (%61,5) akut iskemi ile uyumlu difüzyon kısıtlaması gösteren milimetrik odaklar saptandı. Nörolojik deficit gelişen 2 olguda (%7,7) DA MR incelemesinde genis iskemi alanları tespit edildi. Klinik olarak bulgu vermeyen 24 hastada, cerebral mikroembolizasyonu destekler nitelikte her iki hemisferde farklı lokalizasyonlarda çok sayıda (ort:3,9) 1 cm'den küçük boyutlu lezyon vardı. Nörolojik bulgu vermeyen 24 hasta toplam 94 embolik lezyon saptandı. Lezyonların 56 tanesi (%60) posterior dolâşım kanlanma alanında izlenirken, 38 tanesi (%40) anterior dolâşım kanlanma alanında izlendi. 80 (%85) lezyonun boyutu 5 mm'nin altında, 14 (%15) lezyonun boyutu ise 5mm-1cm aralığındaydı. Çok sayıda olmasına rağmen küçük boyutlu lezyonların klinik bulgu vermediği gözlandı. 2 olguda nörolojik deficit'e yol açan geniş iskemi alanları izlendi. Bu olgularda aortik kapagın ileri derecede kalsifikasiye olması; işlem sonrası difüzyon kısıtlaması saptanmayan 10 olgunun 9'unda ise aortik kapakta gerekçe daha az kalsifikasiyon mevcudiyeti; aortik kapak kalsifikasiyon miktarı ve emboli riski ilişkisi açısından anlamlı olabilir. Ayrıca ilk 8 olguda işlem sonrası iskemi izlenen hasta oran %87,5'iken, daha sonra alınan 18 olgunun akut iskemi oran %50'dir.

Sonuç: TAVI cerrahi uygulanamayan aort stenozu olgularının tedavisinde alternatif yöntem olmak birlikte, yüksek emboli riski taşımaktadır. İşlem sonrası görülen akut iskemi multifaktörieldir. Artan tecrübe ile işlem sonrası görülebilinen iskemi oranının düşmesi dikkat çekicidir. Bu risk cihaz üreticileri ve kullanıcıları tarafından göz önünde bulundurulmalıdır.

S-010

Transkatereter aort kapak replasmanında ilk deneyimlerimiz ve erken sonuçlarımız

Mehmet Güll¹, Mehmet Ertürk¹, Özgür Akgül¹, Özgür Sürgüt¹, Hamdi Püshüroğlu¹, İbrahim Faruk Aktürk¹, Mustafa Kemal Erol¹, Abdurrahman Eksik¹, Aydin Yıldırım¹, Nevzat Uslu¹, İhsan Bakır²

¹İstanbul Mehmet Akif Ersoy Eğitim Araştırma Hastanesi, Kardiyoloji Kliniği, İstanbul

²İstanbul Mehmet Akif Ersoy Eğitim Araştırma Hastanesi, Kalp Damar Cerrahisi Kliniği, İstanbul

Amaç: Bu yazımızda kurumumuzda transkatereter aort kapak replasmanı (TAVI) uygulanan 18 olguna ilk verilerimizi sunmayı amaçladık.

Çalışma planı: Hastanemizde ekim 2010 tarihinde ilk TAVI işlemi başlanmış olsa hazırlaz 2011 tarihine kadar toplam 18 hasta uygulanmıştır. TAVI uygulanan hastaların 7'i erkek, 11'i kadın olup yaş ortalaması 78.0 ± 7.9 yıl idi. Hastalarımızda cerrahi için risk yükseltti (EuroSCORE 27.29 ± 7.45 , STS skor 17.43 ± 3.43). Hastaların işlem öncesi ekokardiyografik kapak alan $0.62 \pm 0.07 \text{ cm}^2$, sistolik transvalvüler gradyan $86.33 \pm 11.37 \text{ mmHg}$, ortalama transvalvüler gradyan $53.61 \pm 7.22 \text{ mmHg}$ idi. Yedi hasta (3 erkek, 4 kadın) Corevalve kapak, on bir hasta (4 erkek, 7 kadın) Edward Sapien kapak yerleştirildi. 16 hasta transfemoral yaklaşım, 1 hasta transapikal yaklaşım, 1 hasta da subklavial yaklaşım ile kapak yerleştirildi.

Bulgular: Hastaların hepsinde ekokardiyoografi, çok kesitli bilişimayarlı tomografi ve angiografi ölçütleri ile en uygun girişim yolu, kapak tipi ve boyutuna karar verildi. Tüm hastalarda balon dilatasyonu sonrası başarılı kapak yerleştirme işlemi gerçekleştirildi. İşlem sonrasında sistolik transvalvüler gradiyeni $20.72 \pm 5.61 \text{ mmHg}$ ($p < 0.001$), ortalama transvalvüler gradyan $9.66 \pm 2.84 \text{ mmHg}$ 'ye geriledi ($p < 0.001$), kapak alan $1.78 \pm 0.12 \text{ cm}^2$ 'ye yükseldi ($p < 0.001$). Hastalarda işlem öncesi NYHA fonksiyonel kapasite 3.61 ± 0.50 iken işlem sonrası 3 aylık takipte 1.38 ± 0.50 'e geriledi ($p < 0.001$). Hastaların sol ventrikül ejeksiyon fraksiyonlarında işlem öncesine göre 1. ayda anlamlı derecede artma saptandı (51.55 ± 11.50 vs 53.50 ± 9.84 , $p < 0.05$). İşlem sonrası corevalve kapak uygulanan hastaların 3 tanesinin atrioventriküler blok ve iletî defekti gelişmesi üzerine kalıcı pil takıldı. Ortalama takip süremiz 4.61 ± 3.33 ay olup bu süre içinde işlem sonrası ilk ayda 2 hasta, ikinci ayda 1 hasta dördüncü ayda bir hasta kaybedildi. Ondört hastanın takibi devam etmektedir.

Sonuç: TAVI işlemi cerrahi riski yüksek olması sebebi ile operasyon şansı olmayan hastalara alternatif bir tedavi yöntemi olarak son yıllarda uygulanmaya başlamıştır. Dünyadaki girişimsel kardiyolojideki gelişmelere parel olarak hastanemizde de 9 aydır TAVI işlemi başarı ile uygulanmaktadır. İlk sonuçlarımız dünyadaki diğer merkez sonuçları ile uyumludur

S-009

Diffusion-weighted cerebral MR findings following transcatheter aortic valve implantation

Terhan Güneş¹, Sergen Akpek¹, Genco Yücel¹, Alpaslan Eryilmaz², Müjdat Babadostu², Alpay Sezer², Tolga Özüigkeit², Ali Sezer¹, Atif Akçevin³, Tufan Paker³

¹VKV American Hospital, Division of Radiology, İstanbul

²VKV American Hospital, Division of Cardiology, İstanbul

³VKV American Hospital, Division of Cardiovascular Surgery, İstanbul

⁴VKV American Hospital, Division of Anesthesiology, İstanbul

S-010

Our first experiences, and early outcomes in transcatheter aortic valve replacement

Mehmet Güll¹, Mehmet Ertürk¹, Özgür Akgül¹, Özgür Sürgüt¹, Hamdi Püshüroğlu¹, İbrahim Faruk Aktürk¹, Mustafa Kemal Erol¹, Abdurrahman Eksik¹, Aydin Yıldırım¹, Nevzat Uslu¹, İhsan Bakır²

¹İstanbul Mehmet Akif Ersoy Training and Research Hospital, Clinics of Cardiology, İstanbul

²İstanbul Mehmet Akif Ersoy Training and Research Hospital, Clinics of Cardiovascular Surgery, İstanbul

S-011

Mitral darlıklı hastalarda perkütan mitral balon valvuloplastisinin atriyal elektromekanikal gecikme ve p-dalgası dispersiyonuna akut etkisi

Burcu Demirkan¹, Yesim Güray¹, Ümit Güray¹, Meltem Refiker Ege², Halil Lütfü Kisacik¹, Hatice Şaşmaz¹, Şule Korkmaz³

¹Ankara Türkiye Yüksek İhtisas Hastanesi Kardiyoloji Bölümü, Ankara

²Kavaklıdere Umut Hastanesi, Kardiyoloji Kliniği, Ankara

³Ufuk Üniversitesi Tip Fakültesi Kardiyoloji Anabilim Dalı, Ankara

Amaç: Romatizmal mitral darlığı (MD) atriyal fibrilasyon (AF) için major bir risk faktörüdür. Bazı elektrokardiografik (p-dalgası dispersiyonu [PDD]) ve ekokardiografik (atriyal elektromekanik gecikme) parametrelerin AF riski ile ilişkili olduğu gösterilmiştir. Bu çalışmada; MD'li hastalarda perkütan mitral balon valvuloplastinin (PMBV) p-dalgası dispersiyonu (PDD) ve atriyal elektromekanik gecikmeye olan akut etkisini araştırmayı amaçladık.

Yöntem-Gereçler: Çalışmamızda orta-ciddi mitral darlığı olan başarılı mitral balon valvuloplasti yapılmış 30 hastaya (Ortalama $1,1 \pm 0,2$ cm² mitral kapak alanı olan, $36,5 \pm 8,5$ yaşında 23 kadın ve 7 erkek) dahil edildi. Tüm hastalar değerlendirme sırasında sinus ritimindeydi. P-dalgası dispersiyonu maksimum p-dalgası süresinden minimum p-dalgası süresinin çıkarılmasıyla hesaplandı. Atrial elektromekanik gecikme (elektrokardiogramda p dalgası başlangıcından sırasıyla lateral, septal, septal mitral ve sağ ventriküler triküspit anulusundeki geç diystostik dalganın başlangıcına kadar olan zaman aralıkları) doku Doppler ekokardiografi ile ölçüldü. Tüm bu parametreler işlem öncesi ve sonrası değerlendirilerek karşılaştırıldı.

Tablo 1			
Parametreler	PMBV Öncesi n=30	PMBV Sonrası n=30	P
LA çap, cm	4.6 (4.3-4.9)	4.4 (4.2-4.7)	0.001
LA volum indeksi, ml/m ²	60.3 (49.4-71.1)	57.8 (46.9-66.9)	0.001
RA volum indeksi, ml/m ²	18 (14.7-20.8)	18 (14.8-21)	0.4
MVA, cm ²	1.1 (1.0-1.3)	1.8 (1.6-1.85)	<0.001
TMG, mmHg	12 (9-14)	5 (4.5-6.3)	<0.001
SPAP, mmHg	50 (45-60)	39 (35-40)	<0.001
MPAP, mmHg	36 (30-43)	28 (25-32)	<0.001
Lateral PA, msn	116 (104.5-132.5)	99 (90.7-116)	<0.001
Septal PA, msn	75.5 (63.7-97.2)	69 (58.3-85.5)	<0.001
RV triküspit PA, msn	61 (49.8-75.3)	57 (50-68.5)	0.001
Lateral-septal PA, msn	39 (33-45)	29 (20.8-38.2)	<0.001
Lateral-RV triküspit PA, msn	57 (44.8-67.2)	42.5 (30.5-49.2)	<0.001
Septal-RV triküspit PA, msn	18.5 (13.7-23)	14.5 (11.9)	0.001
P maks, msn	136 (127-149)	131 (120-139)	<0.001
P min, msn	79 (69-89)	81 (69-90)	0.9
PDD, msn	60 (44-67)	45 (37-59)	0.003

Perkütan mitral balon valvuloplastinin elektrokardiografik ve ekokardiografik parametrelerine PMBV'nin olumlu akut etkisini göstermiştir.

Bulgular: Mitral balon valvuloplastisi sonrasında mitral kapak alanında, ortalama transmital gradiente, pulmoner arter basıncı, sol atriyal çap ve voltüde işlemi sonrası istatistiksel olarak anamlı düzleme gerçekleşti. Perkütan mitral balon valvuloplastinin akut dönemde elektrokardiografik parametrelerden p-maksimumu ve PDD azaldı. Yine PMBV sonrasında lateral, septal ve sağ ventriküler triküspit PA değerleri azalmış bulundu. Ek olarak interatriyal ve intraatriyal elektromekanik gecikme işlem öncesi değerler görüp anamlı olarak düzelme gösterdi (Tablo 1).

Sonuç: Çalışmamız MD'li hastalarda atriyal fibrilasyon riski ile ilişkili olan elektrokardiografik ve ekokardiografik parametrelerle PMBV'nin olumlu akut etkisini göstermiştir.

S-011

Acute effect of percutaneous mitral balloon valvuloplasty on atrial electromechanical delay and P-wave dispersion in patients with mitral stenosis

Burcu Demirkan¹, Yesim Güray¹, Ümit Güray¹, Meltem Refiker Ege², Halil Lütfü Kisacik¹, Hatice Şaşmaz¹, Şule Korkmaz³

¹Ankara Turkish Higher Specialization, Training and Research Hospital, Division of Cardiology, Ankara

²Kavaklıdere Umut Hospital, Clinics of Cardiology, Ankara

³Ufuk University Faculty of Medicine, Department of Cardiology, Ankara

Aim: Rheumatic mitral stenosis (MS) is a major risk factor for atrial fibrillation (AF). Several electrocardiographic (P wave dispersion [PWD]) and echocardiographic (atrial electromechanical delay [AEMD]) parameters have been shown to be associated with AF risk. In this study; we aimed to investigate acute impact of percutaneous mitral balloon valvuloplasty (PMBV) on PWD and AEMD in patients with MS.

Methods: The study consisted of 30 patients with moderate-to-severe MS (23 female and 7 male, aged 36.5 ± 8.5 years, with a mean mitral valve area of 1.1 ± 0.2 cm²) who underwent successful PMBV without complication in our clinic. All patients were in sinus rhythm during evaluation. P-wave dispersion was measured by subtracting minimum P-wave from maximum P-wave duration in the 12 lead ECG. Atrial electromechanical delays (the time intervals from the P wave onset on electrocardiogram to the beginning of late diastolic wave from the lateral, septal mitral and right ventricular tricuspid annulus respectively) were measured with TDI echocardiography. All these parameters are evaluated and compared before and after the procedure.

Results: After PMBV statistically significant improvement occurred in MVA, transmital mean gradient, pulmonary artery pressure, LA diameter and LA volume. The electrocardiographic parameters of P-max and PWD decreased in acute period of PMBV. The lateral, septal and right ventricular tricuspid PA values also found to be significantly decreased after PMBV. In addition, interatrial and intraatrial electromechanical delays significantly improved as compared to previous values (Table 1).

Table 1			
Parameters	Before PMBV n=30	After PMBV n=30	P
LA diameter, cm	4.6 (4.3-4.9)	4.4 (4.2-4.7)	0.001
LA volume index, ml/m ²	60.3 (49.4-71.1)	57.8 (46.9-66.9)	0.001
RA volume index, ml/m ²	18 (14.7-20.8)	18 (14.8-21)	0.4
MVA, cm ²	1.1 (1.0-1.3)	1.8 (1.6-1.85)	<0.001
TMG, mmHg	12 (9-14)	5 (4.5-6.3)	<0.001
SPAP, mmHg	50 (45-60)	39 (35-40)	<0.001
MPAP, mmHg	36 (30-43)	28 (25-32)	<0.001
Lateral PA, msn	116 (104.5-132.5)	99 (90.7-116)	<0.001
Septal PA, msn	75.5 (63.7-97.2)	69 (58.3-85.5)	<0.001
RV tricuspid PA, msn	61 (49.8-75.3)	57 (50-68.5)	0.001
Lateral-septal PA, msn	39 (33-45)	29 (20.8-38.2)	<0.001
Lateral-RV tricuspid PA, msn	57 (44.8-67.2)	42.5 (30.5-49.2)	<0.001
Septal-RV tricuspid PA, msn	18.5 (13.7-23)	14.5 (11.9)	0.001
P maks, msn	136 (127-149)	131 (120-139)	<0.001
P min, msn	79 (69-89)	81 (69-90)	0.9
PDD, msn	60 (44-67)	45 (37-59)	0.003

The effect of PMBV on electrocardiographic and echocardiographic parameters

Valvular heart diseases

S-012

High serum levels of hyaluronan in patients with rheumatic mitral stenosis summary

Mahmut Akpek, Nihat Kalay, Deniz Elçik, Mikail Yarlıoğlu, Orhan Doğu, İdris Ardiç, Ömer Şahin, Abdurrahman Oğuzhan, Ramazan Topsakal, Ali Ergin, Mehmet G Kaya

Erciyes Üniversitesi Tip Fakültesi, Kardiyoloji Anabilim Dalı, Kayseri

Introduction: Mitral stenosis (MS) is common and important healthy problem in some population. It was well known MS cause pulmonovascular pathological changes. PH develops especially in untreated patients with severe MS. Role of HA was demonstrated in patients with idiopathic pulmonary hypertension (PH). Although unfavorable effects of MS on pulmonovascular system, there is no data about HA levels in patients with MS. In present study, we investigated HA levels in patients with rheumatic MS and secondary PH.

Method: Study population was consisted of 49 patients. Patients were divided into 3 groups. MS group consisted of 18 patients with moderate or severe MS. 16 patients with secondary PH included PH group. Control group was consisted 15 subjects who have no cardiac and pulmonary disease. Percutaneous mitral balloon valvuloplasty (PMV) was performed all patients in MS group. Mitral gradients and pulmonary arterial pressure (PAP) was measured in all patients. Hyaluronan levels were measured at baseline and 1st month after PMV.

Results: PAP (mmHg) was 23 ± 3 in the control group, 44 ± 9 in the MS group and 66 ± 11 in the PH group. There was significant difference between the three groups in serum HA levels. Serum HA levels in MS were significantly high compared to controls [Serum HA (ng/mL), MS group: 39 ± 14 , control group: 24 ± 11 ; p<0.01].

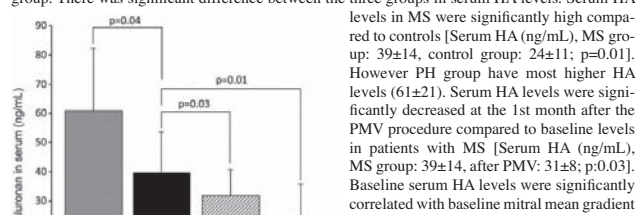


Figure 1. Serum Hyaluronan levels in groups. MS: Mitral stenosis, PH: Pulmonary hypertension, PMV: Percutaneous mitral balloon valvuloplasty; p<0.05 accepted as statistically significant.

Conclusion: This is first article showing that moderate or severe MS can cause increased serum HA levels. HA levels were decreased with PMV procedure as well as hemodynamic parameters. However, patients with secondary PH have higher HA levels in our study.

S-013

Romatizmal mitral darlığı olgularında mitral balon valvüloplastisinin sağ ventrikül fonksiyonları üzerine akut ve orta dönem etkileri

Alpay Arıbaş, Hakan Akıllı, Kurtuluş Özdemir, Mehmet Kayrak, Hajrudin Alibaşıç

Selçuk Üniversitesi Meram Tip Fakültesi Kardiyoloji Anabilim Dalı, Konya

Amaç: Kronik pulmoner hipertansiyona sekonder gelişen sağ ventrikül (RV) fonksiyon bozukluğu mitral darlığını önemli istenmeyen sonuçlarından biri olarak kabul edilmektedir. Mitral balon valvüloplasti (MBV), MD hastalarının tedavisinde yaygın olarak kullanılan tedavi yöntemidir. Doku Doppler (DD) çalışmaları; MBV'nin akut dönemde (24-48 saat) sağ ventrikül ölçümülerinde önemli düzelmeye sağladığını göstermektedir. Ancak bu düzelmenin progresif bir süreç mi olduğu yoksa kardiyopulmoner sistemindeki ciddi değişikliklere olan akut bir yanıt mı olduğu net değildir. Bu nedenle çalışmamızda MBV'nin RV fonksiyonları ve pulmoner arter basıncı üzerine akut ve orta dönem etkilerini incelemeyi amaçladık.

Metod: Çalışmamızda 16 mitral darlığı hastası aldı. MBV öncesi kapak alanları ve RV DD kayıtları alındı. İzovolumetrik kontraksiyon, ejeksiyon ve izovolumetrik kontraksiyon zamanları ile myokardiyal sistolik hızlar (Sm) ölçüldü. İzovolumetrik kontraksiyon +izovolumetrik relaksasyon /ejeksiyon zamanı formülüyle sağ ventrikül myokardiyal performans indeksi (MPI) hesaplandı. Triküspit yetersizliği üzerinden CW doppler ile tahmini sistolik pulmoner arter basıncı (PAB) hesaplandı. Ölçümler MBV sonrası 24. saat ve 6. ayda tekrar edildi.

Bulgular: RV MPI 24 saatte anlamlı olarak azaldı ($0,49 \pm 0,13$ ve $0,43 \pm 0,12$ p=0,05). Altıncı ay sonunda ise RV MPI $0,47 \pm 0,13$ olarak hesaplandı. İşlem öncesi göre fark yoktu (p=0,84). PAB sistolik ise 24. saatte ve 6.ayda azalmaya devam etti (Tablo 1). RV Sm değerleri ise akut dönemde anlamlı olarak artarken 6. ayda bir miktar gerilediği ve işlem öncesi Sm değerleri ile istatistiksel fark kalmadığı tespit edildi.

Sonuç: BMV akut dönemdeki olumlu etkileri orta dönemde kaybolmaktadır. Bu durumda MD hastalarında akut hemodinamik düzelmenin ötesinde latent sağ ventrikül miyokart disfonksiyonun gelişliğini düşündürmektedir.

Mitral balon valvüloplastinin sağ ventrikül MPI ve diğer ölçümeler üzerine etkisi

	Bazal (n=16)	24.saat (n=16)	6. ay (n=16)
MKA (planimetri) cm ²	1.0±0.1	1.8±0.2*	1.9±0.3#
MKA (doppler) cm ²	0.9±0.1	1.9±0.2*	2.0±0.3#
RV ortalama MPI	0.49±0.13	0.43±0.12*	0.47±0.13
Sm (RV) cm/sn	13.0±2.6	14.6±3.1*	13.7±4.4
PAB sistolik (mmHg)	44.5±15.9	35.6±17.1*	28.2±6.7*,#,a

MKA: mitral kapak alanı, MPI: miyokard performans indeksi, RV: sağ ventrikül.
Sm: Sistolik myokardiyal hız *Bazal ve 24. saat ölçümeler arasında anlamlı istatistiksel fark p<0,05 # Bazal ölçümeler ile 6.ayda ki ölçümeler arasında anlamlı istatistiksel fark p<0,05 a 24. saat ile 6. ay ölçümeler arasında anlamlı istatistiksel fark p<0,05

S-013

Acute, and midterm effects of mitral balloon valvuloplasty on right ventricular functions in cases with rheumatismal mitral stenosis

Alpay Arıbaş, Hakan Akıllı, Kurtuluş Özdemir, Mehmet Kayrak, Hajrudin Alibaşıç

Selçuk University Meram Faculty of Medicine, Department of Cardiology, Konya

S-014

Sol atrial total elektro-mekanik süre üzerine mitral valvüloplastinin etkisi: Atrial doku Doppler çalışması

Hakan Akıllı, Kurtuluş Özdemir, Mehmet Kayrak, Hajrudin Alibaşıç, Alpay Arıbaş

Selçuk Üniversitesi Meram Tip Fakültesi Kardiyoloji Anabilim Dalı, Konya

Amaç: Mitral darlığı (MD) hastalarında önemli bir mortalite ve morbidite sebebi olarak atrial fibrilasyon (AF) karşılıkta bulunmaktadır. Son yıllarda yapılan atriyal doku Doppler çalışmalarında total elektro-mekanik aktivasyon zamanı (TEMA) gerek paraksismal AF gerekse persistan AF gelişiminin güçlü bir öngördürütücü olduğunu ortaya koymustur. Öteyandan MD hastalarında; mitral balon valvüloplastisi (MBV) uygulamasının fonksiyonel sınıfta düzelse, sol atriyal apendiks akım hızlarında artış ve atrial boşalma fraksiyonunda anlamlı azalma sağladığını gösterilmiştir. Ancak MBV'ının AF gelişim riskini azaltıp azaltmadığı ve TEMA üzerine etkileri henüz bilinmemektedir.

Metod: Bu amaçla çalışmamızda sinus ritiminde MD'li 14 hasta aldı. Kapak alanları hem Doppler ile basınç yarınlanması metodu ile hemde planimetri ile ölçüldü. Daha sonra atriyal doku Doppler kayıtları alındı. Monitördeki P dalgasının başından atriyal doku Doppler yöntemiyle elde edilen atriyal kontraksiyon dalgasının sonuna kadar olan kısmın TEMA olarak tanımlandı. TEMA ölçümleri LA lateral duvar ve interatrial septum (IAS) mid segmentlerinden yapıldı. Tüm ölçümler MBV sonrası 24. saat ve 6. ayda tekrarlandı. Bazal ölçümlere göre değişiklikler analiz edildi.

Bulgular: Mitral kapak alanı iki yönde hem 24 saatte hemde 6. ayda bazale göre belirgin genişlemiştir. LA lateral ve IAS TEMA süreleri 24. saatte anlamlı olarak azalmıştır (p<0,01). Benzer şekilde, LA lateral ve IAS TEMA'sı ve ortalama LA TEMA altıncı ayda da azalmaya devam etmektedir (Tablo 1).

Sonuç: MBV akut ve orta dönemde TEMA üzerine olumlu etki göstermektedir. Bu nedenle MBV MD olgularında AF gelişimini azaltabilir.

S-014

The effect of mitral valvuloplasty on left atrial total electromechanic duration: An atrial tissue Doppler study

Hakan Akıllı, Kurtuluş Özdemir, Mehmet Kayrak, Hajrudin Alibaşıç, Alpay Arıbaş

Selçuk University Meram Faculty of Medicine, Department of Cardiology, Konya

Mitral balon valvüloplastinin TEMA üzerine etkileri

	Bazal (n=14)	24. saat (n=14)	6. ay (n=14)
MKA (planimetri) cm ²	1.0±0.1	1.8±0.2*	1.9±0.3#
MKA (doppler) cm ²	0.9±0.1	1.9±0.2*	2.0±0.3#
Lateral TEMA (ms)	192.7±24.3	175.7±13.8*	159.7±17.7#,a
IAS TEMA (ms)	179.0±25.2	169.0±22.9*	151.5±19.7#,a
LA ortalama TEMA (ms)	185±23.6	172.3±13.8*	155.7±18.0#,a

MKA: mitral kapak alanı, LA: Sol atriyum, IAS: interatrial septum,
TEMA: Total elektro-mekanik aktivasyon zamanı *Bazal ve 24. saat ölçümeler arasında anlamlı istatistiksel fark p<0,05 # Bazal ile 6.ay daki ölçümeler arasında anlamlı istatistiksel fark p<0,05 a 24. saat ile 6. ay ölçümeler arasında anlamlı istatistiksel fark p<0,05

S-015

Orta-siddetli derecede mitral darlığı olan semptomatik hastalarda başarılı perkütan transvenöz mitral komissürotominin öngördürücü faktörleri-Wilkin skorundan ötesini görebilir miyiz?

Muhammad Tariq Farman¹, Jawaaid Akbar Sial³, Naveed Ullah Khan², Tahir Saghir Saghir², Tariq Ashraf Ashraf², Syed Ishtiaq Rasool², Asad Ullah Kundi², Khan Shah Zaman²

¹Karaçi Kalp Hastalıkları Enstitüsü, Pakistan

²Ulusal Kalp-Damar Hastalıkları Enstitüsü, Karaçi, Pakistan

³Şehit Muhtarina Benazir Butto Tip Fakültesi

S-015

Predictors of successful percutaneous transvenous mitral commissurotomy in symptomatic patients with moderate to severe mitral stenosis - can we see beyond the wilkin's score?

Muhammad Tariq Farman¹, Jawaaid Akbar Sial³, Naveed Ullah Khan², Tahir Saghir Saghir², Tariq Ashraf Ashraf², Syed Ishtiaq Rasool², Asad Ullah Kundi², Khan Shah Zaman²

¹Karachi Institute of Heart Diseases, Pakistan

²National Institute of Cardiovascular Diseases, Karachi, Pakistan

³Shaheed Muhtarma Benazir Bhutto Medical University

Objective: To determine the predictors of successful Percutaneous Transvenous Mitral Commissurotomy (PTMC) in symptomatic patients with moderate to severe mitral stenosis (MS).

Background: PTMC is considered as an alternative to surgery in patients with severe MS and suitable mitral valve apparatus. However, besides the Wilkin's score other predictors of successful outcome were not known in our set up.

Material-Methods: This Observational prospective study was conducted at Catheterization Laboratory of National Institute of Cardiovascular Diseases (NICVD) Karachi, (Pakistan) from 1st January 2009 to 31st June 2010. A total of 258 consecutive patients were included in this study who were having Wilkins score of <= 8. Patients with more than mild mitral regurgitation (MR) and/or having clot in left atrium were excluded from the study. PTMC was considered successful in case of achieving mitral valve area (MVA) of >= 1.5 cm² with no more than mild MR. Patients developing more than mild MR and valve area of < 1.5 cm² considered unsuccessful. Failure of PTMC procedure due to tamponade or death was also considered unsuccessful.

Results: Out of 258 PTMC procedures, 197 (76.3 %) were successful and 61 (23.6%) were unsuccessful. Double balloon (Bonhoeffer Multi-Track system) technique was used in 95 % cases, while in remaining 5% cases single or graduated balloon technique was used. Among unsuccessful procedures, 41(15.8 %) patients did not achieve required valve area, 21(8.1 %) patients developed more than mild MR including those 8 (3.1 %) patients who did not achieve required valve area and had more than mild MR. 5 (1.9 %) patients developed tamponade. One patient died and two procedures were abandoned. Age did not show any significant effect on successful PTMC (30 ± 9.8 versus 27.9 ± 8.8 years; P-value = 0.12). However, patients with taller height (155.4 ± 7.5 versus 153.2 ± 8.5 cm; P-value = 0.05) and heavier weight (52 ± 11.6 versus 48.9 ± 10 Kg; P-value = 0.05) tend to have a correlation with successful procedures. Bigger annulus size (33.5 ± 2.6 versus 32.8 ± 2.1 mm; P-value = 0.02) and greater pre-procedure MVA (0.93 ± 0.1 versus 0.87 ± 0.1 cm²; P-value = 0.002) had significant effect on successful PTMC. Lesser pre procedure systolic right ventricular (RV) pressure on Echo (65.4 ± 19.4 versus 75.3 ± 18 mmHg; P-value = 0.000) and on cath (74 ± 21.5 versus 81.5 ± 24.6 mmHg; P-value = 0.002), lesser grade of left ventricular (LV) dysfunction (P-value = 0.04) and Tricuspid Regurgitation on Echo (P-value 0.003) also had positive effect on PTMC outcome.

Conclusion: Greater height and built of the patient, bigger pre procedure mitral valve annulus size and mitral valve area, and better left and right ventricular hemodynamics are correlated with successful PTMC.

Echocardiography

S-016

Evaluation of subclinical systolic dysfunction in patients with obstructive sleep apnea but normal left ventricular ejection fraction using speckle-tracking echocardiographic method

Refik Emre Altekin¹, Atakan Yankıoğlu¹, Serkan Karakaş¹, Ramazan Can Öncel¹, Barış Akdemir¹, Aytül Belgi¹, Aykut Çilli², Hüseyin Yılmaz¹

¹Akdeniz Üniversitesi Tip Fakültesi Kardiyoloji Anabilim Dalı, Antalya

²Akdeniz Üniversitesi Tip Fakültesi Göğüs Hastalıkları Anabilim Dalı, Antalya

Ekokardiyografi

S-016

Sol ventrikül ejeksiyon fraksiyonu normal olan obstrüktif uykı apne sendromu olan hastalarda subklinik sistolik fonksiyonun bozukluğunu speckle tracking ekokardiyografi yöntemiyle değerlendirilmesi

Refik Emre Altekin¹, Atakan Yankıoğlu¹, Serkan Karakaş¹, Ramazan Can Öncel¹, Barış Akdemir¹, Aytül Belgi¹, Aykut Çilli², Hüseyin Yılmaz¹

¹Akdeniz Üniversitesi Tip Fakültesi Kardiyoloji Anabilim Dalı, Antalya

²Akdeniz Üniversitesi Tip Fakültesi Göğüs Hastalıkları Anabilim Dalı, Antalya

Amaç: Obstrüktif uykı apne sendromu (OUAS) miyokardial fonksiyonları olumsuz etkileyerek, kalp yetmezliğine neden olabilir. Speckle tracking ekokardiyografi(STE) yöntemi miyokardiyal liflerin sistolik bozulma yüzdesi (strain/ST) ve hızları (strain rate/STR) değerlendirerek sol ventrikül ejeksiyon fraksiyonu (SVEF) azalmadan önce sistolik fonksiyon bozukluğunu tespit edilebilir. Çalışmamızda STE yöntemiyle miyokardiyal lifleri değerlendirderek, SVEF'si normal OUAS olan hastalarda subklinik sistolik disfonksiyonu araştırdık.

Metod: Çalışmamızda 21 sağlam (Grup 0), 58 OUAS'lı birey alındı. OUAS grubu apne hipopne indexini göre hafif (AHI=5-15/Grup 1), orta(AHI=15-30/Grup 2), ağır (AHI>30</Grup 3) ayrıldı.Tüm gramlara standart ve doku doppler ekokardiyografisiyle birlikte STE uygulandı. STE için 2D gri skala görüntüler 70-90 kare hızında kaydedildi ve bilgisayar ortamında analiz edildi. Radial ve circumfrential lifter için parasternal kisa akş görüntüleri papiller kas seviyesinden ve longitudinal lifer için apikal 2,3,4 boşluk görüntülerini alındı. Çalışmada circumfrential ve radial lifer için 6 segmentin ortalaması, longitudinal lifer için ise toplam 18 segmentin ortalaması alındı.

Sonuçlar: Grup 3'ün vücut kitle indeksi, Grup 0'dan fazla bulundu (Tablo 1). OUAS gruplarının sol ventrikül duvarları, kontrol grubundan kalındı. Grup 2'nin sol atrium volüm indeksi Grup 0'dan grup 3'ün ise grup 0-1'den yükseldi.3 OUAS grubunun Mitral deselerasyon, izovolemik gevşeme zamanları grup 0'dan uzundu. Grup 2'nin miyokardial performans indeksi (SVMPI) Grup 0'dan, Grup 3'ün SVMPI tüm gramlardan yüksekti. Grup 2'nin doku Doppler E'/A' oranı grup 0'dan, Grup 3'ün değeri ise grup 0-1'den düşüktü. Grup 3'ün E/E' değeri tüm gramlardan yüksekti (Tablo 2). OUAS grubunda longitudinal ST grup 2'den, circumfrential ve radial strain değerleri ise grup 3'den itibaren azaldı. Radial strain değerleri diğer liflerden farklı olarak grup 1 ve 2'de istatistiksel anlamlı olmamakla birlikte kontrol grubuna göre arttı. Longitudinal ve circumfrential sistolik strain hızı değerlerinin grup 2'den itibaren azaldığı gözlandı. Radial sistolik strain hızı ise grup 2'de kontrol grubuna göre fazla iken grup 3'ten itibaren azalmıştır (Tablo 3). Yapılan korelasyon analizinde sirkümferensiyel ve longitudinal liflerle OUAS'ın ciddiyeti arasında, radyal liflere göre daha kuvvetli ilişki gözlandı (Tablo 4).

Tartışma: EF normal OUAS'lu hastalarda erken dönemde longitudinal liflere ait sistolik fonksiyon bozukluğu, radial liflerin sistolik fonksiyonlarındaki artışla kompanse edilmekte, circumfrential lif fonksiyonları değişimsemektedir. İleri evre OUAS hastalarında diyatistolik fonksiyon bozukluğuna ek olarak tüm miyokardiyal liflerin sistolik fonksiyonları da bozulmaktadır. OUAS'ının ciddiyetinden ve oluşturduğu kardiyak hasardan sirkümferensiyel ve longitudinal lifler daha fazla etkilenmektedir. STE yöntemiyle SVEF normal OUAS'lı neden olduğu sistolik fonksiyon bozukluğu erken dönemde tespit edilebilir.



Obstrüktif uyku apne sendromlu hastalarda sağ ventrikül fonksiyonlarının speckle tracking ekokardiyografisi ile değerlendirilmesi

Refik Emre Altekin, Atakan Yanıkoglu, Serkan Mustafa Karakaş, İrem Kılınçkaya, Burcu Çağlar, Fulya Avcı, Cengiz Ermış, Mehmet Kabıkcu

Akdeniz Üniversitesi Tıp Fakültesi Kardiyoloji Anabilim Dalı, Antalya

Amaç: Kardiyopulmoner hastalıklarda speckle tracking yöntemiyle (STE) yapılan çalışmaların sonuçları, pulmoner hipertansiyon ve sağ kalp yetmezliği bulgularından önce sağ ventrikül (SV) hasarının erken dönemde belirlenebileceğini göstermiştir. Çalışmamızda STE yöntemiyle obstrüktif uyku apne sendromu (OUPAS) varlığı ve ciddiyetle SV diastolik fonksiyonları arasındaki ilişkiye araştırıldı.

Yöntem: Çalışmamızda 21 sağlıklı ve apne hipopne indeksine (AHI) göre hafif, orta ve ağır OSAS olarak ayrılan 58 OSAS'lı hasta alındı. RV sistolik fonksiyonları konvansiyonel ekokardiyografi, doku Doppler ve STE yöntemleri ile değerlendirildi. Erken ve geç diastolik strain rate (STR-E/A) verileri SV serbest duvar bazal, orta ve apikal bölgelerden alındı, 3 bölgenin ortalaması gruplar arasında karşılaştırıldı.

Sonuçlar: Grupların demografik verilerinde vücut kitle indeksi dışında fark yoktu. Ağır OSAS grubunun değeri, sağlıktaki gruptan yükseltti (sırasıyla: $29,80 \pm 2,38 / 26,35 \pm 4,14$; $p < 0,008$). Grupların pulmoner arter basıncı ve sol ventrikül ejeksiyon fraksiyonları (SVEF) arasında fark gözlenmedi. Grupların SV'e ait ekokardiyografik verileri Tablo 1'te verilmiştir. Triküspid kapak erken diastolik akım değeri hastalığın ciddiyeti ile azalırken, deselerasyon zamanı uzamaktaydı, aradaki fark kontrol ve ağır OSAS grupları arasında anlamlıydı. Triküspid kapak erken ve geç diastolik akım oranları hastalığın ciddiyeti ile azalırken aradaki fark ağır ve hafif OSAS grupları arasında anlamlıydı. Triküspid anulus erken diastolik akım (TR-E') değeri hastalığın ciddiyeti ile azalırken, geç diastolik akım değerleri artmaktadır (TR-A'). TR-E' değeri ağır ve sağlıklı OSAS grupları arasında, TR-A' değeri ağır OSAS ile kontrol ve sağlıklı grup arasında anlamlıydı. TR-E/TR-E' değeri hastalığın ciddiyeti ile artarken ağır OSAS grubunda ait değerler ile diğer iki grubun değerleri arasındaki fark anlamlıydı. Miyokart performans indeksi hastalığın ciddiyeti ile artarken aradaki fark sağlıklı grup ile orta OSAS grubu, ağır OSAS grubu ile hafif OSAS ve sağlıklı grup arasında anlamlıydı. STR-E değeri hastalığın ciddiyeti ile azalırken aradaki fark orta OSAS ile sağlıklı grup arasında, ağır OSAS ile hafif ve sağlıklı grup arasında anlamlıydı. STR-A değeri ise STR-E değerinin tersine artarken gruplar arası anlamlılık STR-E değerlerine benzerdi. SR E/A değeri ise hastalığın şiddeti ile azalırken orta OSAS ile sağlıklı ve hafif grup arasında, ağır OSAS grubu ile diğer 3 grup arasındaki fark anlamlıydı. Korelasyon analizinde AHI ile STE olan ilişkiler ekokardiyografik parametrelerle göre kuvetli izlendi (Tablo 2).

Tartışma: STE ile OSAS'lı hastalarda SV diastolik disfonksiyonu erken dönemde tesbit edilebilir. Diğer ekokardiyografik parametrelerde göre, hastalığın ciddiyetini gösteren AHI ile strain rate değerleri arasındaki ilişkisinin daha kuvetli olması, OSAS'lı hastaların SV diastolik fonksiyonları strain rate yöntemiyle değerlendirilmesinin daha etkili olabileceğini düşündürmektedir.

Tablo-1

	Sağlıklı(21)	Hafif OSAS(20) 5<AHİ<15	Orta OSAS(19) 15<AHİ<30	Ağır OSAS(19) 30<AHİ
TR-E(m/sn)	$0,75 \pm 0,11$	$0,73 \pm 0,01$	$0,64 \pm 0,13^+$	$0,57 \pm 0,09^+, \pm$
TR-A(m/sn)	$0,48 \pm 0,09$	$0,46 \pm 0,09$	$0,46 \pm 0,07$	$0,49 \pm 0,09$
TR-E/A	$1,62 \pm 0,23$	$1,44 \pm 0,24$	$1,42 \pm 0,22$	$1,37 \pm 0,19^+$
TR-DT(msn)	$162,33 \pm 43,89$	$194,25 \pm 44,95$	$206,37 \pm 46,32$	$242,26 \pm 54,63^+$
TR-E'(m/sn)	$0,16 \pm 0,03$	$0,14 \pm 0,03$	$0,13 \pm 0,03^+$	$0,11 \pm 0,03^+$
TR-E/TR-E'	$4,19 \pm 1,22$	$4,37 \pm 1,22$	$5,77 \pm 1,27^+, \pm$	$7,12 \pm 2,29^+, \pm$
MPI	$0,43 \pm 0,09$	$0,46 \pm 0,09$	$0,53 \pm 0,08^+$	$0,56 \pm 0,11^+, \pm$
RV-SR-E (1/S)	$2,38 \pm 0,63$	$2,32 \pm 0,84$	$1,66 \pm 0,55^+$	$1 \pm 0,54^+, \pm$
RV-SR-A (1/S)	$2,25 \pm 0,33$	$2,32 \pm 0,54$	$2,79 \pm 0,66^+$	$3,29 \pm 0,54^+, \pm$
RV-SR-E/A	$1,08 \pm 0,34$	$1,06 \pm 0,46$	$0,62 \pm 0,22^+, \pm$	$0,34 \pm 0,23^+, \pm, *$
S-PAB(mmHg)	$25,61 \pm 5,43$	$27,62 \pm 4,32$	$29,78 \pm 4,24$	$32,06 \pm 3,71$
M-PAP(mmHg)	$19,91 \pm 2,78$	$18,12 \pm 5,39$	$17,73 \pm 4,7$	$18,74 \pm 4,36$
SVEF(%)	$64,24 \pm 3,75$	$64,25 \pm 3,76$	$63,68 \pm 5,37$	$63,21 \pm 3,17$

Gruplara göre ekokardiyografik veriler. (TR-E: Triküspid kapak erken diastolik akım, TR-A: Triküspid kapak geç diastolik akım, TR-D: Triküspid kapak erken diastolik akım deselerasyon zamanı, TR-E': Triküspid anulus erken miyokardiyal akım, TR-A': Triküspid anulus geç miyokardiyal akım, SV-SR-E: Sağ ventrikül erken diastolik strain rate, SV-SR-A: Sağ ventrikül geç diastolik strain rate, S-PAB: Sistolik pulmoner arter basıncı, M-PAP: Ortalama pulmoner arter basıncı, SVEF: Sol ventrikül ejeksiyon fraksiyonu)

Tablo-2

	R	P
TR E/A	-0,480	0,095
TR E/E'	0,573	<0,001
RV-SR-E/A	-0,704	<0,001
MPI	0,342	0,009

AHI ile Sağ Ventrikül Diastolik Parametreleri Arasındaki İlişki.
(TR E/A: Triküspid kapak erken ve geç diastolik akım oranları, TR E/E': Triküspid kapak erken diastolik akımın triküspid anulus erken diastolik miyokardial akıma oranı, RV-SR-E/A: Sağ ventrikül erken ve geç diastolik strain rate oranı, MPI: Miyokardial performans indeksi.)

Evaluation of right ventricular functions in patients with obstructive sleep apnea using speckle tracking echocardiography

Refik Emre Altekin, Atakan Yanıkoglu, Serkan Mustafa Karakaş, İrem Kılınçkaya, Burcu Çağlar, Fulya Avcı, Cengiz Ermış, Mehmet Kabıkcu

Akdeniz University Faculty of Medicine, Department of Cardiology, Antalya

Obstrüktif uykı apne sendromu hastalarda subklinik sağ ventrikül sistolik disfonksiyonun speckle tracking ekokardiyografi ile değerlendirilmesi

Refik Emre Altekin, Atakan Yanikoğlu, Mustafa Serkan Karakaş, İbrahim Yaman, Erhan Kaya, İbrahim Başarıcı, Hüseyin Yılmaz, Aytül Belgi

Akdeniz Üniversitesi Tip Fakültesi Kardiyoloji Anabilim Dalı, Antalya

Amaç: Kardiyopulmoner hastalıklarda speckle tracking yöntemiyle (STE) yapılan çalışmaların sonuçları, pulmoner hipertansiyon ve sağ kalp yetmezliği bulgularından önce sağ ventrikül (SV) sistolik fonksiyon bozukluğunun erken dönemde belirlenebileceğini göstermiştir. Çalışmamızda STE yöntemiyle obstrüktif uykı apne sendromu (OUAS) varlığı ve ciddiyetle SV sistolik fonksiyonları arasındaki ilişkiye araştırdık.

Yöntem: Çalışmamızda 21 sağlıklı ve apne hipopne indeksine (AHI) göre hafif, orta ve ağır OUAS olarak 3 gruba ayrılan 58 OUAS'lı hasta aldı. RV sistolik fonksiyonları konvansiyonel, doku doppler ve STE ekokardiyografi yöntemleri ile değerlendirildi. Strain (ST) ve sistolik strain rate (STR-S) değerleri SV serbest duvar bazal, orta ve apikal bölgelerden alındı, 3 bölgenin ortalaması gruplar arasında karşılaştırıldı.

Sonuçlar: Grupların demografik verilerinde vücut kitle indeksi dışında fark yoktu. Ağır OUAS grubunun değeri, sağlıklı gruptan yükseltti (siraıyla: $29,80 \pm 2,38 / 26,35 \pm 4,14$; $p < 0,008$). Çalışmada grupların pulmoner arter basıncı ve sol ventrikül ejeksiyon fraksiyonları (SVEF) arasında fark gözlenmedi. Grupların SV sistolik fonksiyonları ile ilgili ekokardiyografik parametreler Tablo 1' te verilmiştir. TAPSE değeri sağlıklı gruptan itibaren OUAS'ın varlığı ve ciddiyeti ile azalırken, aradaki fark orta OUAS grubu ile sağlıklı grubu ve ağır OUAS grubu ile tüm gruplar arasında anlamlı bulundu ($p < 0,008$). Triküspit anulus sistolik miyokardiyal akım (TR-S) değerlerinde gruplar arası fark gözlenmedi ($p > 0,05$). Miyokardiyal performans indeksi (MPI) hastalığın ciddiyeti ile artarken aradaki fark sağlıklı grub ile orta OUAS grubu, ağır OUAS grubu ile hafif OSAS ve sağlıklı grub arasında anlamlı ($p < 0,008$). Izovolemik akselerasyon değeri hastalığın ciddiyeti ile azalırken, aradaki fark orta OUAS grubu ile sağlıklı grub arasında ve ağır OUAS grubu ile sağlıklı ve hafif OUAS grupları arasında anlamlı ($p < 0,008$). ST değeri hastalığın ciddiyeti ile azalırken ortalı ve ağır OSAS grubuna ait değerler ile sağlıklı ve hafif OSAS grupları arasındaki fark anlamlı ($p < 0,008$). Ağır OSAS grubunun değeri orta OSAS grubundan düşü olmakla birlikte aradaki fark anlamlı gözlemlendi. STR-S değeri hastalığın ciddiyeti ile azalırken orta OSAS grubu ile sağlıklı ve hafif OSAS grubuna ait değerlerin yansımıya ağır OSAS grubu ile tüm gruplar arasındaki fark anlamlı ($p < 0,008$). AHI ile SV sistolik fonksiyon parametreleri arasındaki ilişkili değerlendirmesinde STE ve STR-S değerlerinin AHI olan ilişkisi diğer parametreler göre daha kuvetli gözlemlendi (Tablo 2).

Tartışma: STE ile OUAS'lı hastalarda subklinik SV sistolik disfonksiyonu erken dönemde tesbit edilebilir. Diğer ekokardiografik tekniklere göre, hastalığın ciddiyetini gösteren AHI ile ST/STR-S değerleri arasındaki ilişkisinin kuvetli olması, OUAS'lı hastalarda SV sistolik fonksiyonlarının takibinde ST/STR-S değerlerinin diğer ekokardiyografik yöntemlerden üstün olabileceğini düşündürmektedir.

Obstrüktif uapni hastalarında 2-boyutlu speckle tracking ekokardiyografi ile sol ventrikül torsyonunun değerlendirilmesi

Mustafa Gökkhan Vural¹, Mehmet Doğan¹, Hikmet Fırat², Melike Yüce Ege², Harun Kılıç¹, Sadık Ardiç², Ramazan Akdemir³, Ekrem Yeten¹

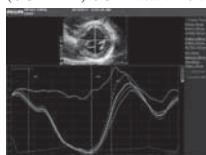
¹Ankara SB Dışkı Yıldırım Beyazıt Eğitim ve Araştırma Hastanesi, Kardiyoloji Kliniği, Ankara

²Ankara SB Dışkı Yıldırım Beyazıt Eğitim ve Araştırma Hastanesi, Göğüs Hastalıkları Kliniği, Ankara

³Sakarya Üniversitesi Tip Fakültesi Kardiyoloji Anabilim Dalı, Sakarya

Amaç: Sol ventrikül torsyonu (SVtor), SV sistolik ve diystolik fonksiyonlarında önemli rol oynar. Obstrüktif uapni apnesi (OUA) hastalarında daha önce SVtor değerlendirilmemiştir. Çalışmanın amacı OUA hastaları: 1) SVtor ve hastalığın ciddiyeti ile ilişkisini 2) Hipertansif OUA ve normotansif OUA hastalarındaki farkı değerlendirmektir.

Yöntem: 24 Ciddi OUA hasta ($43,11 \pm 11,0$ yaş ve ort.AHI: $60,9 \pm 21,3$), 19 hafif-orta OUA hasta ($ort.yas: 41,4 \pm 12,6$ ve ort.AHI: $14,9 \pm 8,3$) ve 20 sağlıklı gönlüllü ($ort.yas: 42,9 \pm 13,1$ ort.AHI: $2,7 \pm 1,0$) çalışmaya dahil edildi. Apikal ve basal kusa aks rotasyonları 2-boyutlu speckle tracking ekokardiyografisi ile ölçüldü. SVtor apikal ve basal rotasyonun net farkı olarak tanımlandı. Hastalar önce OUA olan (OUA+) ve olmayanlar (OUA-); daha sonra hastalığın ciddiyetine göre hafif-orta OUA ve ciddi OUA hastaları ve son olarak da hipertansif olan (OU-AHT+) ve olmayan (OU+AHT-) OUA hastaları ayrı ayrı değerlendirildi.



Figür-1a. Sol ventrikül bazal segmentlerinin rotasyonunun hesaplanması.

Sonuçlar: Yaşı, cinsiyet ve SV ejeksiyon fraksiyonu tüm gruplar arasında benzerdi. SVtor hafif-orta OUA hastalarında kontrol grubu ve ciddi OUA hastalarına göre artmış bulundu. Ciddi OUA hastalarında ise kontrol grubundan daha düşük bulundu. Hipertansif OUA, normotansif OUA, hipertansif gönlüller ve normotansif gönlüller arasında apikal rotasyon ve basal rotasyon arasında anlamlı fark yok iken SVtor hipertansif OUA hastalarında daha düşük bulundu. E/Em, apikal rotasyon, basal rotasyon, SVtor AHI ile korelasyon gösteren SVtor ise E/Em, apikal rotasyon, basal rotasyon ve SVEF ile korelasyon gösterdi.

Tartışma: SVtor OUA hastalarında olmayanlara göre azalma trendi göstermektedir fakat istatistiksel anlamlılığa ulaşamamaktadır. Hafif-orta OUA hastalarında SVtor artmıştır ve SV dolum basincı ile pozitif korelasyon göstermektedir. Artmış SVtor bu grup hastalarda artmış dolum basincını ve azalmış SV gevşemesini kompanse etmeye yönelik bir adaptasyon olabilir. Hastalığın ilerleyen evrelerinde ve OUA'nın hemodinamik, otomotiv ve humoral etkilerinin de etkisiyle maladaptasyonla sonuçlanıyor gibi görülmektedir. OUA+HT+ hastalarında da azalmış SVtor, hipertansiyon sıklığının daha çok ciddi OUA hastaları arasında gözlenmesinin ve hipertansiyon ve OUA'ya özgü fizyopatolojik durumların etkileşiminin bir sonucu olduğunu düşündürmektedir.



Figür-1b. Sol ventrikül apikal segmentlerinin rotasyonunun değerlendirilmesi.

Evaluation of the right ventricular systolic dysfunction in patients with obstructive apnea syndrome using speckle tracking echocardiography

Refik Emre Altekin, Atakan Yanikoğlu, Mustafa Serkan Karakaş, İbrahim Yaman, Erhan Kaya, İbrahim Başarıcı, Hüseyin Yılmaz, Aytül Belgi

Akdeniz University Faculty of Medicine, Department of Cardiology, Antalya

Amaç: Kardiyopulmoner hastalıklarda speckle tracking yöntemiyle (STE) yapılan çalışmaların sonuçları, pulmoner hipertansiyon ve sağ kalp yetmezliği bulgularından önce sağ ventrikül (SV) sistolik fonksiyon bozukluğunun erken dönemde belirlenebileceğini göstermiştir. Çalışmamızda STE yöntemiyle obstrüktif uykı apne sendromu (OUAS) varlığı ve ciddiyetle SV sistolik fonksiyonları arasındaki ilişkiye araştırdık.

Yöntem: Çalışmamızda 21 sağlıklı ve apne hipopne indeksine (AHI) göre hafif, orta ve ağır OUAS olarak 3 gruba ayrılan 58 OUAS'lı hasta aldı. RV sistolik fonksiyonları konvansiyonel, doku doppler ve STE ekokardiyografi yöntemleri ile değerlendirildi. Strain (ST) ve sistolik strain rate (STR-S) değerleri SV serbest duvar bazal, orta ve apikal bölgelerden alındı, 3 bölgenin ortalaması gruplar arasında karşılaştırıldı.

Sonuçlar: Grupların demografik verilerinde vücut kitle indeksi dışında fark yoktu. Ağır OUAS grubunun değeri, sağlıklı gruptan yükseltti (siraıyla: $29,80 \pm 2,38 / 26,35 \pm 4,14$; $p < 0,008$). Çalışmada grupların pulmoner arter basıncı ve sol ventrikül ejeksiyon fraksiyonları (SVEF) arasında fark gözlenmedi. Grupların SV sistolik fonksiyonları ile ilgili ekokardiyografik parametreler Tablo 1' te verilmiştir. TAPSE değeri sağlıklı gruptan itibaren OUAS'ın varlığı ve ciddiyeti ile azalırken, aradaki fark orta OUAS grubu ile sağlıklı grubu ve ağır OUAS grubu ile tüm gruplar arasında anlamlı bulundu ($p < 0,008$). Triküspit anulus sistolik miyokardiyal akım (TR-S) değerlerinde gruplar arası fark gözlenmedi ($p > 0,05$). Miyokardiyal performans indeksi (MPI) hastalığın ciddiyeti ile artarken aradaki fark sağlıklı grub ile orta OUAS grubu, ağır OUAS grubu ile hafif OSAS ve sağlıklı grub arasında anlamlı ($p < 0,008$). Izovolemik akselerasyon değeri hastalığın ciddiyeti ile azalırken, aradaki fark orta OUAS grubu ile sağlıklı grub arasında ve ağır OUAS grubu ile sağlıklı ve hafif OUAS grupları arasında anlamlı ($p < 0,008$). ST değeri hastalığın ciddiyeti ile azalırken ortalı ve ağır OSAS grubuna ait değerler ile sağlıklı ve hafif OSAS grupları arasındaki fark anlamlı ($p < 0,008$). Ağır OSAS grubunun değeri orta OSAS grubundan düşü olmakla birlikte aradaki farklılık anlamlı gözlemlendi. STR-S değeri hastalığın ciddiyeti ile azalırken orta OSAS grubu ile sağlıklı grubu ile sağlıklı ve hafif OSAS grubuna ait değerlerin yansımıya ağır OSAS grubu ile tüm gruplar arasındaki farklılık anlamlı ($p < 0,008$). AHI ile SV sistolik fonksiyon parametreleri arasındaki ilişkili değerlendirmesinde STE ve STR-S değerlerinin AHI olan ilişkisi diğer parametreler göre daha kuvetli gözlemlendi (Tablo 2).

Tartışma: STE ile OUAS'lı hastalarda subklinik SV sistolik disfonksiyonu erken dönemde tesbit edilebilir. Diğer ekokardiografik tekniklere göre, hastalığın ciddiyetini gösteren AHI ile ST/STR-S değerleri arasındaki ilişkisi kuvetli olmasının, OUAS'lı hastalarda SV sistolik fonksiyonlarının takibinde ST/STR-S değerlerinin diğer ekokardiyografik yöntemlerden üstün olabileceğini düşündürmektedir.

Evaluation of left ventricular torsion in patients with obstructive sleep apnea using 2 dimensional speckle tracking echocardiography

Mustafa Gökkhan Vural¹, Mehmet Doğan¹, Hikmet Fırat², Melike Yüce Ege², Harun Kılıç¹, Sadık Ardiç², Ramazan Akdemir³, Ekrem Yeten¹

¹Ankara SB Dışkı Yıldırım Beyazıt Training and Research Hospital, Clinics of Cardiology, Ankara

²Ankara SB Dışkı Yıldırım Beyazıt Training and Research Hospital, Clinics of Chest Diseases, Ankara

³Sakarya University, Faculty of Medicine, Department of Cardiology, Sakarya

Obstrüktif uykı apne sendromu hastalarında diyastolik disfonksiyonun speckle tracking ekokardiyografi yöntemiyle değerlendirilmesi

Refik Emre Altekin¹, Serkan Karakas¹, Atakan Yancoğlu¹, Arzu Er¹, Ahmet Oğuz Bakır², İbrahim Demir¹, Necmi Değer¹

¹Akdeniz Üniversitesi Tip Fakültesi Kardiyoloji Anabilim Dalı, Antalya

²Kayseri Eğitim ve Araştırma Hastanesi Kardiyoloji Kliniği, Kayseri

Amaç: Obstrüktif uykı apne sendromu(OUAS) hastaları ile diyastolik disfonksiyon birlilikte pulse ve doku doppler ekokardiyografi çalışmalarıyla gösterilmesi rağmen ilgili yöntemlerde longitudinal (L) lifterin diastolik fonksiyonları önde planda değerlendirilmiştir. Speckle tracking ekokardiyografi (STE) yöntemi ile radyal (R), sirkümferensiyal (C), L lifterin bölgesel ve global diyastolik fonksiyonları değerlendirilebilir. Çalışmamızda sol ventrikül ejeksiyon fraksiyonu (SVEF) normal, OUAS hastalarında STE yöntemiyle deformasyon hızı (DH) E, A, L-izovolemik gevşeme zamanı (IVGZ), 3 life ait DH E/A değerlerini kullanarak, OUAS varlığı ve şiddetiyle diyastolik disfonksiyonun ilişkisini araştırdık.

Metod: Çalışmamızda 21 sağlıklı(Grup 0), 58 OUAS'lı birey aldı. OUAS grubu apne hipopne indexine göre hafif(AHI=5-15/Grup 1), orta(AHI=15-30/Grup 2), ağır(AHI=30</Grup 3) ayrıldı. Tüm gruplara standart ve doku Doppler ekokardiyografsiyle birlikte STE uygulandı. STE için 2D gri skala görüntüler 70-90 kare hızında kaydedildi ve bilgisayar ortamında analiz edildi. R ve C lifer için parasternal kisa aks görüntülerini papiller kas seviyesinden ve L lifer için apikal 2,3,4 boşluğundaki görüntülerini aldı. Çalışmada sirkümferensiyal ve radyal lifter için 6 segmentin ortalaması, longitudinal lifter için ise toplam 18 segmentin ortalaması aldı.

Sonuçlar: Grup 3'ün vücut kitle indeksi, Grup 0'dan fazla bulundu(Tablo-1).OUAS gruplarının sol ventrikül duvarları, kontrol grubundan kalındı.Grup 2'nin sol atriyum volum indeksi Grup 0'dan, grup 3'ün ise grup 0-1 den yüksekliği 3 OUAS grubunun Mitral deselerasyon, izovolemik gevşeme zamanları grup 0'dan ve uzundu. Grup 1'in E/A oranı grup 0'dan ve düşükü. Grup 2'nin miyokardial performans indeksi (SVMPI) Grup 0'1'den, Grup 3'ün SVMPI tüm gruplardan yükseltti. Grup 2'nin doku Doppler E'/A' oranı grup 0'dan, Grup 3'ün değeri ise grup 0-1' den düşükü. Grup 3'ün E'/E' değeri tüm gruptardan yükseltti(Tablo-2). Grup 2'den itibaren hastalığın şiddeti ile bağlantılı şekilde DH-E değeri azalırken, L-DH-E değerlerinde grup 2 ve 3 arasında fark yoktu. DH-A değerleri ise hastalığın şiddeti ile birlikte artmasına rağmen R-DH-A değerinde grup 2 ve 3 arasında fark yoktu.Her üç life DH-E/DH-A oranları ve L-DH-IVGZ değerleri hastalığın şiddetiyle birlikte azalmaktadır (Tablo 3). STE belirlenen diastolik fonksiyon bozukluğu parametreleri hastalığın şiddeti arasında, pulse ve doku Doppler parametrelerine göre daha anlamlı ilişki olduğu gözlemlendi (Tablo 4). E/E' değeriley L ve C lifter arasında orta, R lifter arasında ise hafif derecede ilişkili gözlemlendi (Tablo 5).

Tartışma: OUAS erken dönemde her üç life ait diyastolik fonksiyonlar bozulmaktadır ve hastalığın şiddeti ile bozulmanın derecesi artmaktadır.OUAS'un şiddetiyle ve artmış sol ventrikül dolus basıncından L ve C lifter, R liflere göre fazla etkilenmektedir. OUAS'ndan L ve C lifterin diyastolik fonksiyonları R liflere göre fazla bozulur. STE ile OUAS eşlik eden diyastolik disfonksiyonu ayrıntılı değerlendirilebilir.

Evaluation of diastolic dysfunction in patients with obstructive apnea syndrome using speckle tracking echocardiography

Refik Emre Altekin¹, Serkan Karakas¹, Atakan Yancoğlu¹, Arzu Er¹, Ahmet Oğuz Bakır², İbrahim Demir¹, Necmi Değer¹

¹Akdeniz University, Faculty of Medicine, Department of Cardiology, Antalya

²Kayseri Training and Research Hospital, Clinics of Cardiology, Kayseri

Tablo-1

Tablo 3

	Grup 0 (n=21)	Grup 1 (n=20)	Grup 2 (n=13)	Grup 3 (n=35)
VAS	45,39±4,58	45,05±4,46	45,79±5,02	45,68±7,66
KADN (%)	11 (52,4%)	5 (25%)	5 (26,3%)	3 (15,7%)
ERKEK (%)	10 (47,6%)	15 (75%)	14 (77,3%)	16 (48,2%)
VTK(kg/m ²)	26,35±4,14	28,68±3,44	29,05±2,26	29,80±2,38†
SKB(mmhg)	120,95±10,56	118,75±6,02	120,26±6,76	121,05±8,09
DKB(mmhg)	75,48±6,19	76,46±5,19	73,68±5,97	75,79±5,07
NABZ	74,33±10,89	76,47±11,89	77,21±5,52	78,21±6,24
Grupların demografik ve klinik verileri (VAS:Vücut kitle indeksi, SKB:Sol ventrikül mitral akım, DKB:Mitral diastolik akım, NABZ:Normal aks bradikardia, T: P<0,008 Grup 0-karşılaştırılmış)				

	Grup 0	Grup 1	Grup 2	Grup 3
R DH-E 1/S	-2,72±0,54	-2,67±0,73	-1,87±0,62†,‡	-1,18±0,59†,‡
R DH-A 1/S	-2,63±0,48	-2,69±0,68	-3,37±0,62†,‡	-3,93±0,69†,‡
R DH-E/C	1,06±0,26	1,01±0,28	0,56±0,17†,‡	0,34±0,15†,‡
C DH-E 1/S	1,77±0,46	1,67±0,27	1,24±0,14†,‡	0,75±0,34†,‡
C DH-A 1/S	1,79±0,28	1,67±0,16	2,05±0,15†,‡	2,35±0,23†,‡
C DH-E/A	0,99±0,22	1,02±0,26	0,6±0,09†,‡	0,33±0,15†,‡
L DH-E 1/S	1,34±0,26	1,24±0,23	0,85±0,21†,‡	0,65±0,23†,‡
L DH-E/A 1/S	1,29±0,19	1,25±0,17	1,45±0,22†,‡	1,65±0,19†,‡
L DH-E/A	1,03±0,23	0,99±0,09	0,58±0,08†,‡	0,49±0,16†,‡
L DH-IVRT 1/S	0,67±0,14	0,66±0,15	0,49±0,07†,‡	0,36±0,11†,‡

Gruplara göre Diastolik Deformasyon Hız Değerleri(R: Radial, C: Circumferential, L: Longitudinal, DH-E: Erken diastolik deformasyon hızı, DH-A: Geç diastolik deformasyon hızı, DH-E/A: Erken diastolik deformasyon hızı/Geç diastolik deformasyon hızı oranı, DH-E/IVRT: Erken diastolik deformasyon hızı/İzovolemik gevşeme zamanı deformasyon hızı oranı, DH-E/A: Longitudinal diastolik deformasyon hızı/Geç diastolik deformasyon hızı oranı, DH-E/C: Radial diastolik deformasyon hızı/Geç diastolik deformasyon hızı oranı)

T: P<0,008 Grup 0-karşılaştırılmış 1-P<0,008 Grup 0-karşılaştırılmış

SAV: Sol atrium volum indeksi, SVEF: Sol ventrikül ejeksiyon fraksiyonu, SAV: Sol atrium volum indeksi, SVEF: Sol ventrikül ejeksiyon fraksiyonu, E/A: Erken diastolik akım oranı, E'/A': Geç diastolik akım oranı, E/E': Geç diastolik akım oranı/Erken diastolik akım oranı, DH-E/A: Radial diastolik deformasyon hızı/Geç diastolik deformasyon hızı oranı, DH-E/C: Radial diastolik deformasyon hızı/Circumferential diastolik deformasyon hızı oranı, DH-E/IVRT: Radial diastolik deformasyon hızı/İzovolemik gevşeme zamanı deformasyon hızı oranı

E: Erken diastolik akım oranı, DH-E: Erken diastolik deformasyon hızı, DH-A: Geç diastolik deformasyon hızı, DH-E/A: Erken diastolik deformasyon hızı/Geç diastolik deformasyon hızı oranı, DH-E/C: Radial diastolik deformasyon hızı/Circumferential diastolik deformasyon hızı oranı, DH-E/IVRT: Radial diastolik deformasyon hızı/İzovolemik gevşeme zamanı deformasyon hızı oranı

SAV: Sol atrium volum indeksi, SVEF: Sol ventrikül ejeksiyon fraksiyonu, E/A: Erken diastolik akım oranı, E'/A': Geç diastolik akım oranı, E/E': Geç diastolik akım oranı/Erken diastolik akım oranı, DH-E/A: Radial diastolik deformasyon hızı/Geç diastolik deformasyon hızı oranı, DH-E/C: Radial diastolik deformasyon hızı/Circumferential diastolik deformasyon hızı oranı, DH-E/IVRT: Radial diastolik deformasyon hızı/İzovolemik gevşeme zamanı deformasyon hızı oranı

AHİ ile ekokardiyografi parametreleri

SAV: Sol atrium volum indeksi, SVEF: Sol ventrikül ejeksiyon fraksiyonu, E/A: Erken diastolik akım oranı, E'/A': Geç diastolik akım oranı, E/E': Geç diastolik akım oranı/Erken diastolik akım oranı, DH-E/A: Radial diastolik deformasyon hızı/Geç diastolik deformasyon hızı oranı, DH-E/C: Radial diastolik deformasyon hızı/Circumferential diastolik deformasyon hızı oranı, DH-E/IVRT: Radial diastolik deformasyon hızı/İzovolemik gevşeme zamanı deformasyon hızı oranı

E: Erken diastolik akım oranı, DH-E: Erken diastolik deformasyon hızı, DH-A: Geç diastolik deformasyon hızı, DH-E/A: Erken diastolik deformasyon hızı/Geç diastolik deformasyon hızı oranı, DH-E/C: Radial diastolik deformasyon hızı/Circumferential diastolik deformasyon hızı oranı, DH-E/IVRT: Radial diastolik deformasyon hızı/İzovolemik gevşeme zamanı deformasyon hızı oranı

SAV: Sol atrium volum indeksi, SVEF: Sol ventrikül ejeksiyon fraksiyonu, E/A: Erken diastolik akım oranı, E'/A': Geç diastolik akım oranı, E/E': Geç diastolik akım oranı/Erken diastolik akım oranı, DH-E/A: Radial diastolik deformasyon hızı/Geç diastolik deformasyon hızı oranı, DH-E/C: Radial diastolik deformasyon hızı/Circumferential diastolik deformasyon hızı oranı, DH-E/IVRT: Radial diastolik deformasyon hızı/İzovolemik gevşeme zamanı deformasyon hızı oranı

E: Erken diastolik akım oranı, DH-E: Erken diastolik deformasyon hızı, DH-A: Geç diastolik deformasyon hızı, DH-E/A: Erken diastolik deformasyon hızı/Geç diastolik deformasyon hızı oranı, DH-E/C: Radial diastolik deformasyon hızı/Circumferential diastolik deformasyon hızı oranı, DH-E/IVRT: Radial diastolik deformasyon hızı/İzovolemik gevşeme zamanı deformasyon hızı oranı

SAV: Sol atrium volum indeksi, SVEF: Sol ventrikül ejeksiyon fraksiyonu, E/A: Erken diastolik akım oranı, E'/A': Geç diastolik akım oranı, E/E': Geç diastolik akım oranı/Erken diastolik akım oranı, DH-E/A: Radial diastolik deformasyon hızı/Geç diastolik deformasyon hızı oranı, DH-E/C: Radial diastolik deformasyon hızı/Circumferential diastolik deformasyon hızı oranı, DH-E/IVRT: Radial diastolik deformasyon hızı/İzovolemik gevşeme zamanı deformasyon hızı oranı

E: Erken diastolik akım oranı, DH-E: Erken diastolik deformasyon hızı, DH-A: Geç diastolik deformasyon hızı, DH-E/A: Erken diastolik deformasyon hızı/Geç diastolik deformasyon hızı oranı, DH-E/C: Radial diastolik deformasyon hızı/Circumferential diastolik deformasyon hızı oranı, DH-E/IVRT: Radial diastolik deformasyon hızı/İzovolemik gevşeme zamanı deformasyon hızı oranı

SAV: Sol atrium volum indeksi, SVEF: Sol ventrikül ejeksiyon fraksiyonu, E/A: Erken diastolik akım oranı, E'/A': Geç diastolik akım oranı, E/E': Geç diastolik akım oranı/Erken diastolik akım oranı, DH-E/A: Radial diastolik deformasyon hızı/Geç diastolik deformasyon hızı oranı, DH-E/C: Radial diastolik deformasyon hızı/Circumferential diastolik deformasyon hızı oranı, DH-E/IVRT: Radial diastolik deformasyon hızı/İzovolemik gevşeme zamanı deformasyon hızı oranı

E: Erken diastolik akım oranı, DH-E: Erken diastolik deformasyon hızı, DH-A: Geç diastolik deformasyon hızı, DH-E/A: Erken diastolik deformasyon hızı/Geç diastolik deformasyon hızı oranı, DH-E/C: Radial diastolik deformasyon hızı/Circumferential diastolik deformasyon hızı oranı, DH-E/IVRT: Radial diastolik deformasyon hızı/İzovolemik gevşeme zamanı deformasyon hızı oranı

SAV: Sol atrium volum indeksi, SVEF: Sol ventrikül ejeksiyon fraksiyonu, E/A: Erken diastolik akım oranı, E'/A': Geç diastolik akım oranı, E/E': Geç diastolik akım oranı/Erken diastolik akım oranı, DH-E/A: Radial diastolik deformasyon hızı/Geç diastolik deformasyon hızı oranı, DH-E/C: Radial diastolik deformasyon hızı/Circumferential diastolik deformasyon hızı oranı, DH-E/IVRT: Radial diastolik deformasyon hızı/İzovolemik gevşeme zamanı deformasyon hızı oranı

E: Erken diastolik akım oranı, DH-E: Erken diastolik deformasyon hızı, DH-A: Geç diastolik deformasyon hızı, DH-E/A: Erken diastolik deformasyon hızı/Geç diastolik deformasyon hızı oranı, DH-E/C: Radial diastolik deformasyon hızı/Circumferential diastolik deformasyon hızı oranı, DH-E/IVRT: Radial diastolik deformasyon hızı/İzovolemik gevşeme zamanı deformasyon hızı oranı

SAV: Sol atrium volum indeksi, SVEF: Sol ventrikül ejeksiyon fraksiyonu, E/A: Erken diastolik akım oranı, E'/A': Geç diastolik akım oranı, E/E': Geç diastolik akım oranı/Erken diastolik akım oranı, DH-E/A: Radial diastolik deformasyon hızı/Geç diastolik deformasyon hızı oranı, DH-E/C: Radial diastolik deformasyon hızı/Circumferential diastolik deformasyon hızı oranı, DH-E/IVRT: Radial diastolik deformasyon hızı/İzovolemik gevşeme zamanı deformasyon hızı oranı

E: Erken diastolik akım oranı, DH-E: Erken diastolik deformasyon hızı, DH-A: Geç diastolik deformasyon hızı, DH-E/A: Erken diastolik deformasyon hızı/Geç diastolik deformasyon hızı oranı, DH-E/C: Radial diastolik deformasyon hızı/Circumferential diastolik deformasyon hızı oranı, DH-E/IVRT: Radial diastolik deformasyon hızı/İzovolemik gevşeme zamanı deformasyon hızı oranı

SAV: Sol atrium volum indeksi, SVEF: Sol ventrikül ejeksiyon fraksiyonu, E/A: Erken diastolik akım oranı, E'/A': Geç diastolik akım oranı, E/E': Geç diastolik akım oranı/Erken diastolik akım oranı, DH-E/A: Radial diastolik deformasyon hızı/Geç diastolik deformasyon hızı oranı, DH-E/C: Radial diastolik deformasyon hızı/Circumferential diastolik deformasyon hızı oranı, DH-E/IVRT: Radial diastolik deformasyon hızı/İzovolemik gevşeme zamanı deformasyon hızı oranı

E: Erken diastolik akım oranı, DH-E: Erken diastolik deformasyon hızı, DH-A: Geç diastolik deformasyon hızı, DH-E/A: Erken diastolik deformasyon hızı/Geç diastolik deformasyon hızı oranı, DH-E/C: Radial diastolik deformasyon hızı/Circumferential diastolik deformasyon hızı oranı, DH-E/IVRT: Radial diastolik deformasyon hızı/İzovolemik gevşeme zamanı deformasyon hızı oranı

SAV: Sol atrium volum indeksi, SVEF: Sol ventrikül ejeksiyon fraksiyonu, E/A: Erken diastolik akım oranı, E'/A': Geç diastolik akım oranı, E/E': Geç diastolik akım oranı/Erken diastolik akım oranı, DH-E/A: Radial diastolik deformasyon hızı/Geç diastolik deformasyon hızı oranı, DH-E/C: Radial diastolik deformasyon hızı/Circumferential diastolik deformasyon hızı oranı, DH-E/IVRT: Radial diastolik deformasyon hızı/İzovolemik gevşeme zamanı deformasyon hızı oranı

E: Erken diastolik akım oranı, DH-E: Erken diastolik deformasyon hızı, DH-A: Geç diastolik deformasyon hızı, DH-E/A: Erken diastolik deformasyon hızı/Geç diastolik deformasyon hızı oranı, DH-E/C: Radial diastolik deformasyon hızı/Circumferential diastolik deformasyon hızı oranı, DH-E/IVRT: Radial diastolik deformasyon hızı/İzovolemik gevşeme zamanı deformasyon hızı oranı

SAV: Sol atrium volum indeksi, SVEF: Sol ventrikül ejeksiyon fraksiyonu, E/A: Erken diastolik akım oranı, E'/A': Geç diastolik akım oranı, E/E': Geç diastolik akım oranı/Erken diastolik akım oranı, DH-E/A: Radial diastolik deformasyon hızı/Geç diastolik deformasyon hızı oranı, DH-E/C: Radial diastolik deformasyon hızı/Circumferential diastolik deformasyon hızı oranı, DH-E/IVRT: Radial diastolik deformasyon hızı/İzovolemik gevşeme zamanı deformasyon hızı oranı

E: Erken diastolik akım oranı, DH-E: Erken diastolik deformasyon hızı, DH-A: Geç diastolik deformasyon hızı, DH-E/A: Erken diastolik deformasyon hızı/Geç diastolik deformasyon hızı oranı, DH-E/C: Radial diastolik deformasyon hızı/Circumferential diastolik deformasyon hızı oranı, DH-E/IVRT: Radial diastolik deformasyon hızı/İzovolemik gevşeme zamanı deformasyon hızı oranı

SAV: Sol atrium volum indeksi, SVEF: Sol ventrikül ejeksiyon fraksiyonu, E/A: Erken diastolik akım oranı, E'/A': Geç diastolik akım oranı, E/E': Geç diastolik akım oranı/Erken diastolik akım oranı, DH-E/A: Radial diastolik deformasyon hızı/Geç diastolik deformasyon hızı oranı, DH-E/C: Radial diastolik deformasyon hızı/Circumferential diastolik deformasyon hızı oranı, DH-E/IVRT: Radial diastolik deformasyon hızı/İzovolemik gevşeme zamanı deformasyon hızı oranı

E: Erken diastolik akım oranı, DH-E: Erken diastolik deformasyon hızı, DH-A: Geç diastolik deformasyon hızı, DH-E/A: Erken diastolik deformasyon hızı/Geç diastolik deformasyon hızı oranı, DH-E/C: Radial diastolik deformasyon hızı/Circumferential diastolik deformasyon hızı oranı, DH-E/IVRT: Radial diastolik deformasyon hızı/İzovolemik gevşeme zamanı deformasyon hızı oranı

SAV: Sol atrium volum indeksi, SVEF: Sol ventrikül ejeksiyon fraksiyonu, E/A: Erken diastolik akım oranı, E'/A': Geç diastolik akım oranı, E/E': Geç diastolik akım oranı/Erken diastolik akım oranı, DH-E/A: Radial diastolik deformasyon hızı/Geç diastolik deformasyon hızı oranı, DH-E/C: Radial diastolik deformasyon hızı/Circumferential diastolik deformasyon hızı oranı, DH-E/IVRT: Radial diastolik deformasyon hızı/İzovolemik gevşeme zamanı deformasyon hızı oranı

E: Erken diastolik akım oranı, DH-E: Erken diastolik deformasyon hızı, DH-A: Geç diastolik deformasyon hızı, DH-E/A: Erken diastolik deformasyon hızı/Geç diastolik deformasyon hızı oranı, DH-E/C: Radial diastolik deformasyon hızı/Circumferential diastolik deformasyon hızı oranı, DH-E/IVRT: Radial diastolik deformasyon hızı/İzovolemik gevşeme zamanı deformasyon hızı oranı

SAV: Sol atrium volum indeksi, SVEF: Sol ventrikül ejeksiyon fraksiyonu, E/A: Erken diastolik akım oranı, E'/A': Geç diastolik akım oranı, E/E': Geç diastolik akım oranı/Erken diastolik akım oranı, DH-E/A: Radial diastolik deformasyon hızı/Geç diastolik deformasyon hızı oranı, DH-E/C: Radial diastolik deformasyon hızı/Circumferential diastolik deformasyon hızı oranı, DH-E/IVRT: Radial diastolik deformasyon hızı/İzovolemik gevşeme zamanı deformasyon hızı oranı

E: Erken diastolik akım oranı, DH-E: Erken diastolik deformasyon hızı, DH-A: Geç diastolik deformasyon hızı, DH-E/A: Erken diastolik deformasyon hızı/Geç diastolik deformasyon hızı oranı, DH-E/C: Radial diastolik deformasyon hızı/Circumferential diastolik deformasyon hızı oranı, DH-E/IVRT: Radial diastolik deformasyon hızı/İzovolemik gevşeme zamanı deformasyon hızı oranı

SAV: Sol atrium volum indeksi, SVEF: Sol ventrikül ejeksiyon fraksiyonu, E/A: Erken diastolik akım oranı, E'/A': Geç diastolik akım oranı, E/E': Geç diastolik akım oranı/Erken diastolik akım oranı, DH-E/A: Radial diastolik deformasyon hızı/Geç diastolik deformasyon hızı oranı, DH-E/C: Radial diastolik deformasyon hızı/Circumferential diastolik deformasyon hızı oranı, DH-E/IVRT: Radial diastolik deformasyon hızı/İzovolemik gevşeme zamanı deformasyon hızı oranı

E: Erken diastolik akım oranı, DH-E: Erken diastolik deformasyon hızı, DH-A: Geç diastolik deformasyon hızı, DH-E/A: Erken diastolik deformasyon hızı/Geç diastolik deformasyon hızı oranı, DH-E/C: Radial diastolik deformasyon hızı/Circumferential diastolik deformasyon hızı oranı, DH-E/IVRT: Radial diastolik deformasyon hızı/İzovolemik gevşeme zamanı deformasyon hızı oranı

SAV: Sol atrium volum indeksi, SVEF: Sol ventrikül ejeksiyon fraksiyonu, E/A: Erken diastolik akım oranı, E'/A': Geç diastolik akım oranı, E/E': Geç diastolik akım oranı/Erken diastolik akım oranı, DH-E/A: Radial diastolik deformasyon hızı/Geç diastolik deformasyon hızı oranı, DH-E/C: Radial diastolik deformasyon hızı/Circumferential diastolik deformasyon hızı oranı, DH-E/IVRT: Radial diastolik deformasyon hızı/İzovolemik gevşeme zamanı deformasyon hızı oranı

E: Erken diastolik akım oranı, DH-E: Erken diastolik deformasyon hızı, DH-A: Geç diastolik deformasyon hızı, DH-E/A: Erken diastolik deformasyon hızı/Geç diastolik deformasyon hızı oranı, DH-E/C: Radial diastolik deformasyon hızı/Circumferential diastolik deformasyon hızı oranı, DH-E/IVRT: Radial diastolik deformasyon hızı/İzovolemik gevşeme zamanı deformasyon hızı oranı

SAV: Sol atrium volum indeksi, SVEF: Sol ventrikül ejeksiyon fraksiyonu, E/A: Erken diastolik akım oranı, E'/A': Geç diastolik akım oranı, E/E': Geç diastolik akım oranı/Erken diastolik akım oranı, DH-E/A: Radial diastolik deformasyon hızı/Geç diastolik deformasyon hızı oranı, DH-E/C: Radial diastolik deformasyon hızı/Circumferential diastolik deformasyon hızı oranı, DH-E/IVRT: Radial diastolik deformasyon hızı/İzovolemik gevşeme zamanı deformasyon hızı oranı

E: Erken diastolik akım oranı, DH-E: Erken diastolik deformasyon hızı, DH-A: Geç diastolik deformasyon hızı, DH-E/A: Erken diastolik deformasyon hızı/Geç diastolik deformasyon hızı oranı, DH-E/C: Radial diastolik deformasyon hızı/Circumferential diastolik deformasyon hızı oranı, DH-E/IVRT: Radial diastolik deformasyon hızı/İzovolemik gevşeme zamanı deformasyon hızı oranı

SAV: Sol atrium volum indeksi, SVEF: Sol ventrikül ejeksiyon fraksiyonu, E/A: Erken diastolik akım oranı, E'/A': Geç diastolik akım oranı, E/E': Geç diastolik akım oranı/Erken diastolik akım oranı, DH-E/A: Radial diastolik deformasyon hızı/Geç diastol

S-022

Akut miyokart enfarktüsü sonrası trombolitik tedavi uygulanan hastaların sağ ventrikül sistolik fonksiyonlarının değerlendirilmesinde preejeksiyon periyodu ve ejeksiyon süresinin rolüİlker Güll¹, Murat Bilgin¹, Bekir Serhat Yıldız², Oktay Musayev¹, Aysel İslamlı¹,Filiz Özerkan Çakan¹¹Ege Üniversitesi Tip Fakültesi Kardiyoloji Anabilim Dalı, İzmir²Denizli Devlet Hastanesi, Kardiyoloji Kliniği, Denizli

Giriş ve Amaç: Preejeksiyon periyodu (PEP) ve Ejeksiyon Süresi (ET) ventriküler aktivasyonu göstermekteydi. Bu sürelerdeki değişimini Akut Miyokard İnfarktüsü (AMI) sonrası ventrikülün sistolik disfonksiyonuna ilişkili olduğunu belirten veriler mevcuttur. Sağ ventrikülün (RV) anatomik yerlesimi nedeniyle değerlendirilmesi nispeten zorluklar içermektedir. Çalışma kapsamında AMI sonrası; RV-PEP, RV-ET ve RV-PEP/ET'eki değişiklerin, RV-Ejeksiyon Fraksiyonu (EF) ile ilişkisinin değerlendirilmesi amaçlanmıştır.

Yöntem: Temmuz-2010-Ocak 2011 arasında kliniğimize AMI tansıyla yatırılan ve trombolitik tedavi uygulanan 66 hasta çalışmaya alındı. Hastalar anterior (n=28), inferior (n=17) ve sağ ventrikül (n=21) AMI gruplarına ayrıldı. Bu hastaların 53'ü erkek, 13'ü kadınıdır, ortalaması yaşı 56,7 ($\pm 12,8$) idi. Hastalarla trombolitik tedavi alırlar taburculuk öncesi ve birinci aylarda ekokardiyografik değerlendirilmeler yapıldı. Tüm hastaların modifiye Simpson yöntemiyle RV-EF'leri hesaplandı. M-mode yöntemiyle, EKG'deki q dalgasından pulmoner kapakların açılmasına kadar geçen süre hesaplanarak PEP bulundu. ET ise, pulmoner kapakların açılmasından, kapamamasına kadar geçen sürenin hesaplanmasıyla bulundu.

Bulgular: Trombolitik tedavi verilenlerin PEP ve ET değerlerinin tüm gruplarda uzamış olduğu saptandı. Ancak RV-AMİ grubu diğer gruplardan anlamlı olarak daha uzun PEP'e sahipti (Tablo 1). Zaman içerisinde PEP ve PEP/ET'ının normal değerlere doğru azalığı görüldü. İlk bireylik dönemde bu azalma anlamlıydı (Tablo 2). PEP/ET oranındaki uzamanın, EF'eki düşüşle paralellik gösterdiği görüldü (Tablo 2).

Sonuç: Sağ ventrikülün anatomik yapısı nedeniyle RV-EF'ının objektif bir şekilde hesaplanması güçtür. Bu çalışmada PEP ve PEP/ET'eki artışın AMI sonrası RV-EF'eki düşüşle korelasyon gösterdiği tespit edilmiştir. Sağ ventrikül sistolik fonksiyonlarının tespitinde diğer parametrelere birlikte PEP ve PEP/ET'ının de hesaplanması klinikseverlere yardımcı olabilir.
Hastaların, hastaneye yatış dönemlerindeki PEP, ET, PEP/ET ve RV-EF değerlerinin gruplara göre karşılaştırılması. (RV: Sağ Ventrikül, PEP: Preejeksiyon Periyodu, ET: Ejeksiyon Süresi, EF: Ejeksiyon Fraksiyonu)

Table 1

	Anterior AMI	Inferior AMI	Inferior+RV AMI	p değeri
RV-PEP (msn)	107,69($\pm 15,8$)	127,05($\pm 23,1$)	135,26($\pm 19,2$)	0,001*
RV-ET (msn)	303,46	317,05	282,63	0,47
RV-PEP/ET (msn)	0,36($\pm 0,08$)	0,39($\pm 0,05$)	0,48($\pm 0,09$)	0,017*
RV-EF	52,30($\pm 4,18$)	49,52($\pm 5,7$)	45,47($\pm 4,6$)	0,026*

Hastaların, hastaneye yatış dönemlerindeki PEP, ET, PEP/ET ve RV-EF değerlerinin gruplara göre karşılaştırılması. (RV: Sağ Ventrikül, PEP: Preejeksiyon Periyodu, ET: Ejeksiyon Süresi, EF: Ejeksiyon Fraksiyonu)

Table 2

	Anterior AMI	Inferior AMI	Inferior+RV AMI	p değeri
RV-PEP (msn)	135,26	119,47	106,31	0,0001*
RV-PEP/ET (msn)	0,48	0,41	0,34	0,028*
RV-EF (%)	45,47	48,05	50,00	0,001*

Sağ ventrikülün PEP, PEP/ET ve EF değerlerinin ilk otuz günlük seyri. İlk iki parametre, EF değerlerin artmaktadır, EF yükselenlerin gerilemektedir.

S-022

The role of preejection period and ejection time in the evaluation of right ventricular systolic functions of patients treated with thrombolytic therapy after acute myocardial infarctionİlker Güll¹, Murat Bilgin¹, Bekir Serhat Yıldız², Oktay Musayev¹, Aysel İslamlı¹,Filiz Özerkan Çakan¹¹Ege University Faculty of Medicine, Department of Cardiology, Izmir²Denizli State Hospital, Clinics of Cardiology, Denizli

Introduction and Aim: Preejection period (PEP) and ejection time (ET) show ventricular activation. After Acute Myocardial Infarction (AMI), the data are available indicating that the change in PEP and ET are associated with ventricular's systolic dysfunction. The evaluation of Right Ventricular (RV) includes relatively difficulties due to the anatomical location of RV. Within the scope of this study, after AMI, the evaluation of relationship between the changes in RV-PEP, RV-ET, RV-PEP / ET and RV-Ejection Fraction (EF) is aimed.

Method: Between July 2010 and January 2011, 66 patients admitted to our clinic with diagnosis of AMI and underwent thrombolytic therapy were included in the study. Patients were separated into anterior (n=28), inferior (n=17) and right ventricle (n = 21) groups. 53 of these patients were male and 13 of them were female; and the mean age was 56,7 ($\pm 12,8$) respectively. Echocardiographic evaluations were performed on patients receiving thrombolytic therapy at pre-discharge period and in their first months. RV and EF of all patients were calculated with modified Simpson. PEP was found by calculating the time elapsed from the Q wave in ECG to the opening of the pulmonary valves via M-mode method. ET was found by calculating the time elapsed from the opening of the pulmonary valves to the closure of them.

Findings: It was detected that PEP and ET values calculated when thrombolytic therapy given prolonged in all groups However, RV-AMI group had significantly longer PEP than other groups (Table 1). Over time, it was seen that PEP and PEP / ET decreased to normal values. In the first one-month period, this decrease was significant (Table 2). The prolongation in PEP / ET ratio correlated with decrease in EF (Table 2).

Result: Due to the anatomical structure of the right ventricle, it is difficult to calculate RV-EF objectively. In this study, it was found that the increase in PEP / ET correlated with the decline in RV-EF. For the determination of right ventricular systolic functions, with other parameters, the calculation of PEP and PEP / ET might be helpful for clinicians.

S-023

Behçet hastalarında doku Doppler ekokardiyografisi ile subklinik sağ ventrikül fonksiyon bozukluğunun değerlendirilmesiMustafa Gökhan Vural¹, Mehmet Doğan¹, Göksel Çağrıç², Harun Kılıç¹, Göksal Keskin³, Ramazan Akdemir⁴, Ekrem Yeter¹¹Ankara SB Dışkapı Yıldırım Beyazıt Eğitim ve Araştırma Hastanesi, Kardiyoloji Kliniği, Ankara²Antalya Eğitim ve Araştırma Hastanesi Kardiyoloji Kliniği, Antalya³Ankara SB Dışkapı Yıldırım Beyazıt Eğitim ve Araştırma Hastanesi, Dahiliye Kliniği, Ankara⁴Sakarya Üniversitesi Tip Fakültesi Kardiyoloji ve İç Hastalıkları Bölümü, Sakarya

Amaç: Behçet Hastlığı'nda (BH) subklinik kardiyovasküler tutulum olmaktadır. Çalışmanın amacı BH hastalarında sağ ventrikül (SV) fonksiyonlarının değerlendirilmesi amacıyla SV myo-kard performans indeksini (MPI) doku Doppler ekokardiyografisi ile hesaplamaktır.

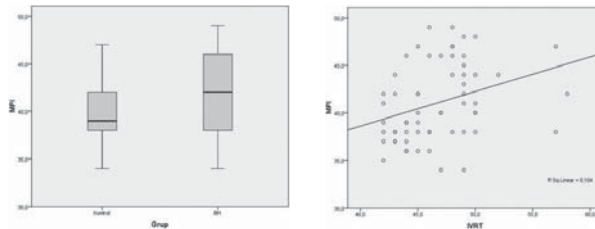
Yöntem: Hastalığının aktif döneminde olmayan ve tedavi altında olan 31 hasta (18 kadın, 13 erkek, yaş ortalaması 38,1 \pm 8,3) ve 29 yaş ve cinsiyet olarak eşleştirilmiş sağlıklı gönlüllü (18 kadın, 11 erkek, yaş ortalaması 38,7 \pm 7,9) çalışmaya dahil edildi. Hastalardan SV fonksiyonlarının değerlendirilmesi amacıyla SV diyalost sonu çapı, sağ atriyum sistol sonu alanı, TAPSE, SV lateral anulus sistolik velocitesi, SV izovolumetrik relaksasyon zamanı, triküspit E/A, triküspit E/E', triküspit E/E' deselerasyon zamanı, SV ejeksiyon fraksiyonu (EF) ve SV MPI ölçüldü.

Sonuçlar: Hastaların ve kontrol grubunun bazal özelliklerini arasında fark yoktu [Tablo-1]. SV MPI BH hastalarında kontrol grubuna göre daha yüksekti ($p=0,012$). TAPSE, SV lateral anulus sistolik velocitesi ve E/A BH hastalarında düşük bulundu ($p=0,034$; $p=0,005$; $p=0,015$; sırası ile). BH hastalarında SV izovolumetrik relaksasyon zamanı ve E/E' daha yüksek bulundu ($p=0,006$; $p=0,004$; sırası ile). SV EF, SV diyalost sonu çapı, sağ atriyum sistol sonu alanı ve triküspit deselerasyon zamanı arasında anlamlı fark yoktu [Tablo-2]. SV MPI ile SV izovolumetrik relaksasyon zamanı ve SV lateral anulus sistolik velocitesi arasında anlamlı korelasyon bulundu ($R=0,323$ ve $p=0,012$; $R=-0,373$ ve $p=0,003$; sırası ile). Tüm BH hastalarında SV MPI'yi tahmin etmede etkili olabilecek risk faktörlerinin çoklu etkilerini değerlendirilmesi sonucu sadece SV lateral anulus sistolik velocitesi'ni anlamlı etkisi olabileceğini gözlemedi ($B: -0,862$; $p=0,023$). Hastalığın süresi ile SV fonksiyonları arasında anlamlı ilişki gözlemlendi.

Tartışma: BH hastalarında subklinik sağ ventrikül disfonksiyonu gözlenmektedir. Doku Doppler yöntemi temelli SV MPI BH hastalarında SV fonksiyonlarının incelenmesi için güvenilir şekilde kullanılabılır.

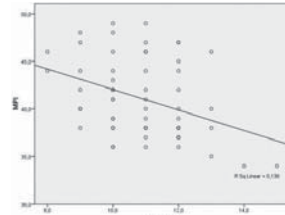
S-023

Evaluation of subclinical right ventricular dysfunction in Behçet's disease using tissue Doppler echocardiographyMustafa Gökhan Vural¹, Mehmet Doğan¹, Göksel Çağrıç², Harun Kılıç¹, Göksal Keskin³, Ramazan Akdemir⁴, Ekrem Yeter¹¹Ankara SB Dışkapı Yıldırım Beyazıt Training and Research Hospital, Clinics of Cardiology, Ankara²Antalya Training and Research Hospital, Clinics of Cardiology, Antalya³Ankara SB Dışkapı Yıldırım Beyazıt Training and Research Hospital, Ankara⁴Sakarya University Departments of Cardiology, and Internal Diseases, Sakarya



Resim 1. Gruplar arasında MPI'nin karşılaştırılması.

Resim 2. İzovolumetrik Relaksasyon Zamanı ile MPİ'nin korelasyonu.



Velosite

BH ve Kontrol Grubunun Bazal Özelliklerinin Değerlendirilmesi			
Değişken	Kontrol grubu	Hasta grubu	p-değeri
Yaş	38.7±7.9	38.1±8.3	0.687
Cinsiyet			0,776
Kadın, %	18(62)	18(58)	
Erkek, %	11(38)	13(52)	
Beden Kitle Indeksi, kg/m ²	28.9±3.3	29.8±3.8	0,356
Hastalık süresi, yıl	-	4.5 (0-6,23)	-
Hiperlipidemi, %	(2,6)	(2,6)	1,000
Diabetes Mellitus, %	(0,0)	(1,3)	0,827
Hiperlipidemi, %	(5,17)	(7,24)	0,658
Sigara içiciliği, %	(5,17)	(7,24)	0,658
Hs-CRP, mg/dL	1.3±0,4	1.6±0,5	0,422
Total Kolesterol, mg/dL	179±45,1	183±51	0,584
Kardiyovasküler ilaç kullanımı, %	(4,13)	(7,20)	0,515

Ekokardiyografik Ölçümlerin BH ve Kontrol Grubu

Arasında Kıyamalısalı	Dengekileri	Kontrol Grubu	Bağılı Hastaları	p-Degeri
SAA,cm ²	3,5±2,4	3,5±2,7	0,989	
SA,SSA,cm ²	15,8±3,2	16,6±1,6	0,125	
TAPSE,cm	1,9±0,2	1,8±0,1	0,340	
SV LAS,cm/sn	11,4±1,1	10,4±1,1	0,005	
SV MPF,%	39,7±3,3	42,3±3,3	0,012	
E/A	1,1±0,1	1,0±0,1	0,015	
E'/E'	5,4±1,1	6,5±1,5	0,004	
DS,msn	141,3±18,7	136,1±15,5	0,244	
SV EF,%	61,8±2,2	62,6±2,2	0,207	
IVR,msn	45,4±2,5	47,5±4,0	0,006	
SV,ssg ⁻¹ ,centrik diastole svs:svr,ssg ⁻¹ ,ssg ⁻¹ ,ventrikulær sistol senum:ATPE,trikusp anulus pectoralis sistole:ESM,ssg ⁻¹ ,ventrikulær sistol ventrikulär laterale anulus stenosis:velostetos;VPS,ssg ⁻¹ ,ventrikulär sistol ventrikulär laterale anulus stenosis:velostetos;SVL,ssg ⁻¹ ,ventrikulär sistol ventrikulär laterale anulus diastole:velostetos;E,V,sagittal ventrikulär laterale anulus:diastole:velostetos;				
DZ,deseptaler zaman:EF,ejeysken fraksiyonu;IVR,izozvezdeki				

S-024

Hemodinamik açıdan stabil akut pulmoner emboli hastalarında sağ ventrikül işlev bozukluğunu göstermede triküspit anüler düzlemden sistolik yer değiştirmeye ve izovolumik akselerasyon ölçümlerinin yeri

Mehmet Ali Çetiner, Muhammet Raşit Sayın, Nesligül Yıldırım, Turgut Karabağ

Sait Mesut Doğan, Emrah Küçük

Zonguldak Karaelmas Üniversitesi Tıp Fakültesi Kardiyoloji Anabilim Dalı, Zonguldak

Amaç: Akut pulmoner emboli (APE) hastalarının risk derecelendirmesinde sağ ventrikül (sağV) miyokart işlev bozukluğunun saptanması için ekokardiyografi kullanılmaktadır. Bu çalışmada hemodinamik açıdan stabil APE hastalarında sağV işlev bozukluğunun gösterilmesinde triküspid anüler düzleme yer değiştirmeye (TAPSE) ve izovolumik akselerasyonu (IVA) kullanımı ve diğer ekokardiyografik parametrelerle ilişkisinin değerlendirilmesi amaçlanmıştır.

Yöntem: Çalışmaya APE tanısı konulan ve hemodinamik açıdan stabil 32 hasta alındı. Hastalarla ilk 24 saat içinde ekokardiyografi uygulandı. SağV sistolik ve diyastolik eksansritisinde indeksle

Tablo 1. Hunkarlıktan erkenlenen kardiyovasküler hastalıkları koronaroskopik ağırlık gösteren tablo	Kardiyovasküler hastalıklar	Kardiyovasküler hastalıkları koronaroskopik ağırlığı gösteren tablo					
		Kardiyovasküler hastalıkları koronaroskopik ağırlığı (M)	Kardiyovasküler hastalıkları koronaroskopik ağırlığı (SD)	İstatistiksel test (M1-M2)	İstatistiksel test (SD1-SD2)	M1 (M±SD)	M2 (M±SD)
Sistolik kan basıncı (mmHg)	132.36	13.26	0.427, $p < 0.001$	-0.507, $p = 0.001$	132.36 ± 13.26	132.36 ± 13.26	
Diastolik kan basıncı (mmHg)	84.26	10.00	0.515, $p < 0.001$	-0.507, $p = 0.001$	84.26 ± 10.00	84.26 ± 10.00	
Doktor Doppler vena kava inferior (VKI) (m/s)	0.434	0.434	0.413, $p < 0.001$	0.347, $p < 0.001$	0.434 ± 0.434	0.434 ± 0.434	
Doktor Doppler arterler (m/s)	0.316	0.000	0.319, $p < 0.001$	0.008, $p < 0.001$	0.316 ± 0.000	0.316 ± 0.000	
VTKI							
		0.434	0.444				

Bulgular: Ekokardiografik ölçümlerin kendi aralarında yapılan korelasyon analizinde diğer parametrelerin en sık korelasyon TAPSE'de izlendi (Tablo 1). Kategorik değişkenler bakıldığından sağV işlev bozukluğunun belirteci olacak kabul edilen TAPSE<18 mm olan olgularda, başta VTK'api ve MP1'deki artışı olmak üzere birçok ekokardiografik parametrede anamli değişiklik gözlemlendi (Tablo 2). Ayrıca IVA değeri TAPSE'nin 18 mm'ın üstünde olduğu olgularda $2,12 \pm 0,53$ m^2/sn^2 ölçülmüşken, TAPSE'nin 18 mm'ın altında olduğu olgularda $3,09 \pm 1,29$ m^2/sn^2 olarak ölçüldü ($p=0,01$). SPAB'nin 45 mmHg 'nin üzerinde veya altında oluğu ekokardiografik parametrelerden yalnızca TAPSE ve IVAd'a anamli farklılıklar obserwasyonu taşımıştır.

Sonuç: APDE'ye sağ Vmyokart ileşvel bozukluğunun ekokardiografik olarak saptanması bir çok ölçütüm es zamanlı olarak değerlendirilmesini gerektirmektedir. TAPSE'nin eşdeğerlerdeki sınırlı doğruluk sebebiyle TAPSE'ye göre IVA'nın TAPSE ve sPAB değerlerileyile ilişkisi sağ Vmyokart ileşvel bozukluğunun tanınmasının açısından yeterli olabilir.

S-024

The place of measurements of systolic displacement on tricuspidal annular plane, and also isovolumetric measurements in demonstrating right ventricular dysfunction in patients with hemodynamically stable acute pulmonary embolism

Mehmet Ali Çetiner, Muhammet Raşit Sayın, Nesligül Yıldırım, Turgut Karabağ,
Sait Mesut Doğan, Emrah Küçük

Zonguldak Karaelmas University, Faculty of Medicine, Department of Cardiology, Zonguldak

S-025

Atrial septal defectin Amplatzer cihazı ile kapatılmasının sağ ventrikül ve sağ atrium fonksiyonlarına erken dönem etkileri

Elif Eroğlu¹, Sinem Çakal², Beytullah Çakal², Mehmet Urumdaş², Aytekin Aksakal², Birol Özkan², Mustafa Bulut², Göksel Ağar², M. vefik Yazıcıoğlu², Ramazan Kargin², M. Kürşat Tigen², Cihan Dündar², Ali Metin Esen²

¹Yeditepe Üniversitesi Tip Fakültesi Kardiyoloji Anabilim Dalı, İstanbul

²Kartal Koşuyolu Yüksek İhtisas Eğitim ve Araştırma Hastanesi, Kardiyoloji Bölümü, İstanbul

Amaç: Atrial septal defect (ASD), en sık congenital kalp hastalığıdır ve sağ kalp boğuklarında kronik volüm yüklenmesine sebep olmaktadır. Bu çalışma, ASD'nin perkütan yolla kapatılması sonrası, sağ atrium ve sağ ventrikülde erken dönemde meydana gelen değişiklikleri gözlemllemeyi amaçlamıştır.

Metod: Çalışmaya ASD'si olan 20 yetişkin hasta; kontrol grubu olarak da, yaş uyumlu sağlıklı bireyler alındı. ASD'nin kapatılması öncesi ve sonrası ilk 24. saatte transtorasik ekokardiyografi yapıldı. Sağ atriyum deformasyonu değerlendirmek için, sağ atriyum lateral duvar mid bölgenin, speckle tracking yöntemiyle, maksimum pozitif uzun eksen strain (S) ve strain rate (SR)'leri sağ atriyum rezervuar fazının göstergesi olarak ölçüldü. Sağ ventrikül deformasyonu apikal dört boşluktan değerlendirildi. Sağ ventrikül global uzun eksen S ve SR ölçüldü.

Bulgular: Kontrol grubuya kıyaslandığında, sağ atriyum ve sağ ventrikül S ve SR'leri ASD grubunda anamli olarak daha yüksek saptandı. Sağ atriyumin maximum uzun eksen S ve SR'ı ASD'nin perkütan yolla kapatılması sonrası, anamli olarak daha düşük saptandı. Benzer şekilde, sağ ventrikül global S ve SR'ı de ASD kapama sonrası daha düşük saptandı (Tablo 1). Hem sağ atriyum, hem de sağ ventrikül strain değerleri, ASD hastalarındaki şant oranı (Qp/Qs) ile anamli derecede korele bulundu (Sırasıyla R=0,55; p=0,01 ve R=0,52; p=0,02).

Tablo 1

	KONTROL	KAPAMA ÖNCESİ	KAPAMA SONRASI	P
SAĞ ATRİYUM S (%)	27.4±11	67.4±17	40.6±14	0.0001
SAĞ ATRİYUM SR (1/s)	2.4±1.2	4.0±1.7	3.0±1.8	0.007
SAĞ VENTRIKÜL S (%)	21.6±2	-27±3	-23±3	0.0001
SAĞ VENTRIKÜL SR (1/s)	-1.5±0.1	-1.9±0.3	-1.3±0.6	0.001

Kontrol grubunda ve ASD'nin perkütan yolla kapatılması öncesi ve sonrası 24.saatte; peak uzun eksen sağ atriyum S ve SR, sağ ventrikül global sistolik S ve SR ölçümüleri

Sonuç: ASD'li hastalarda sağ atriyum ve sağ ventrikülün uzun eksen deformasyonu normal popülsiyona göre artmıştır ve bu artış şart derecesiyle anamli artış göstermektedir. ASD'nin perkütan yolla kapatılması sonucu sağ kalp boğuklarındaki volüm yükündeki azalma bağlı olarak, erken dönemde sağ atriyum ve sağ ventrikül longitudinal deformasyonlarında da anamli azalma olmaktadır.

S-026

Hemodinamik açıdan stabil akut pulmoner emboli hastalarında kardiyak belirteşlerin sağ ventrikül işlev bozukluğunun göstergesi olarak kullanılan ekokardiyografik parametrelerle ilişkisi

Mehmet Ali Çetiner, Muhammet Raşit Sayın, Nesligül Yıldırım, Turgut Karabağ, Cem Çil, Naiile Erış Güdüllü

Zonguldak Karaelmas Üniversitesi Tip Fakültesi Kardiyoloji Anabilim Dalı, Zonguldak

Amaç: Akut pulmoner emboli (APE) tanı yöntemlerindeki gelişimelere paralel olarak sıkılık artan, önemli bir morbidite ve mortalite nedenidir. APE hastalarında sağ ventrikül (sağV) işlevlerindeki bozulmanın erken dönemde tanınmış risk derecelendirilmesi ve tedavi seçiminde kritik bir basamak olarak kabul edilmektedir. Bu amaca kardiyak belirteşlere ve ekokardiyografie başvurulmaktadır. Çalışmamızda hemodinamik açıdan stabil APE hastalarında ekokardiyografik olarak saptanılan sağV işlevlerindeki bozulmanın kardiyak belirteşlerle ilişkisi incelenmiştir.

Yöntem: Çalışmaya APE tanısı konan ve hemodinamik açıdan stabil 32 hasta aldı. Başvuru esnasında venöz kan örnekleri alınarak BNP, kütle CK-MB, Troponin-I, Kalp tipi serbest yağ asidi bağlayıcı protein (K-SYABP) ile D-dimer ölçümleri yapıldı. Hastalara ilk 24 saat içinde ekokardiyografi uygulanarak SağV sistolik ve diyalostolik eksansitrisite indeksleri, fraksiyonel çap ve alan değişikliği, miyokart performans indeksi (MPI), sağV doku Doppler velocitiesi, vena kava inferior (VKİ) çapı ve çökme indeksi ile sistolik pulmoner arter basıncı (sPAB), triküspit aniler düzlemede sistolik yer değiştirme (TAPSE) ve izovolumik akselerasyon (IVA) değerleri ölçüldü. Kardiyak belirteşlerden eşik düzeyin üzerindeki değerlerin ekokardiyografik parametrelerle ilişkisi araştırıldı.

Bulgular: Korelasyon analizi yapıldığında ekokardiyografik ölçümlerle kardiyak belirteşler arasında en belirgin korelasyon BNP'de izlenmektedir (Tablo 1). Yalnızca iki olguda yüksek saptanan Kütle CK-MB'nin dahil edilmediği sınıflandırılmış IVA değeri ile anamli korelasyon gösteren herhangi bir belirteş saptanmadı. Yeterli olgu sayısına ulaşamamış olsa da K-SYABP yükseliği 4 hasta degerlendirildiğinde ise D-dimer yükseliği hiç bir ekokardiyografik bulguda anamli istatistiksel farka yol açmazken, Troponin-I yükseliğinin yalnızca VKİ çapındaki artışa işaret ettiği öte yandan BNP'nin eşik değerini üzerinde olduğu olgularda bir çok ekokardiyografik parametrede istatistiksel açıdan anamli farklılık olduğu görüldü (Tablo 3).

Sonuç: BNP yükseliği hemodinamik açıdan stabil APE hastalarında ekokardiyografik parametrelerle en belirgin korelasyon göstermektedir. Eşik değerin üzerindeki BNP değerleri ekokardiyografik parametrelerde bozulmaya işaret etmektedir. K-SYABP değerleri ekokardiyografik ölçümlerden yalnızca IVA ile anamli istatistiksel ilişki göstermektedir.

S-025

Early-term effects of closure of atrial septal defect using an Amplatzer device on right ventricular, and atrial functions

Elif Eroğlu¹, Sinem Çakal², Beytullah Çakal², Mehmet Urumdaş², Aytekin Aksakal², Birol Özkan², Mustafa Bulut², Göksel Ağar², M. vefik Yazıcıoğlu², Ramazan Kargin², M. Kürşat Tigen², Cihan Dündar², Ali Metin Esen²

¹Yeditepe University, Faculty of Medicine, Department of Cardiology, İstanbul

²Kartal Koşuyolu Higher Specialization, Training and Research Hospital, Division of Cardiology, İstanbul

S-026

The relationship between cardiac markers and echocardiographic parameters used as indicators of right ventricular dysfunction in hemodynamically stable patients with acute pulmonary embolism

Mehmet Ali Çetiner, Muhammet Raşit Sayın, Nesligül Yıldırım, Turgut Karabağ, Cem Çil, Naiile Erış Güdüllü

Zonguldak Karaelmas University, Faculty of Medicine, Department of Cardiology, Zonguldak

Tablo 1. Troponin-I, D-dimer ve BNP ile ilişkili bulunan ekokardiyografik parametreler.

	Sist.Eks. İndeksi	Diy.Eks. İndeksi	TAPSE (mm)	MPI	İVKm	sPAB (mmHg)	VKİ (cm)
Troponin-I	r= 0.458 p= 0.008			r= -0.409 p= 0.02	r= 0.494 p= 0.004		r= 0.483 p= 0.005
D-dimer							
BNP	r= 0.429 p= 0.014	r= 0.416 p= 0.018	r= -0.639 p= 0.001		r= -0.435 p= 0.13	r= 0.411 p= 0.019	r= 0.518 p= 0.002

Tablo 2. K-SYABP değerinin eşik değerinin üzerinde olan olgularla normal olguların karşılaştırılması.

	Sist.Eks. İndeksi	Diy.Eks. İndeksi	Fraks. Kısalma	Fraks. Alan	TAPSE	İVA
K-SYABP <7 ng/mL Ortalama±SS n=28	1.18±0.31	1.12±0.21	30.45±6.37	40.71±8.46	21.28±5.35	2.96±1.26
K-SYABP >7 ng/mL Ortalama±SS n=4	1.16±0.19	1.12±0.85	25.25±10.62	38.54±8.05	19.30±6.98	2.03±0.22
p	p= 0.934	p= 0.848	p= 0.392	p= 0.763	p= 0.564	p= 0.048

Tablo 3. Kardiyak biyobelirteçlerde eşik değerlerin üzerindeki yüksekliklerin başlıca ekokardiyografik bulgularla ilişkisi.

	SEI	DEI	Fraks. Kısalma	Fraks. Alan	TAPSE	sPAB	İVA	VKİ
Tropomi n düşük n:19	1.07±0.3 2	1.07±0.2 2	31.0±7. 0	41.3±8. 8	22.9±5.0 1	37.8±14. 0		1.69±0.4
Tropomi n yüksek n:13 P	1.33±0.1 8	1.18±0.1 5	28.0±6. 9	39.1±7. 6	18.2±5.0 7	45.2±10. 4	3.10±1.45 0.15	2.47±0.64 9
D-dimer düşük n:6	1.09±0.2 9	1.15±0.2 2	30.5±7. 5	37.8±8. 0	22.2±6.5 0	43.8±8.7 9	3.18±1.67 0.76	2.02±0.4 4
D-dimer yüksek n:26 P	1.20±0.3 0	1.11±0.2 0	29.6±7. 0	41.0±8. 4	20.7±5.3 0.52	10.1±13. 0.52	2.77±1.12 0.52	1.78±0.4 5
BNP düşük n:12	1.01±0.1 8	1.02±0.1 8	32.0±5. 1	41.6±5. 9	24.3±3.3 7	34.5±13. 5	3.35±1.30 4	1.53±0.2 3
BNP yüksek n:20 P	1.28±0.3 1	1.18±0.1 9	28.4±7. 0.15	39.7±9. 0.54	19.0±5.6 0.002	44.6±11. 0.03	2.54±1.10 0.07	2.01±0.4 6
	0.01	0.02						0.001

S-027

Sağ ventrikül fonksiyonlarının değerlendirilmesinde sağ ventrikül fraksiyonu alan değişikliği ile anulus dokusu yerdeğşim hareketi ölçüm yönteminin korelasyonunun saptanması

Serdar Fırtına¹, Murat Çelik³, Barış Buğan², Yalçın Gökoğlan¹, Atila İlyisoy¹, Turgay Çelik¹, Uyar Çağdaş Yüksel¹, Sait Demirkol¹, Emre Yałçınkaya¹, Sinan İşcen¹, Erkan Yıldırım¹, Oben Baysan⁴, Hürkan Kurşaklıoğlu¹

¹GATA Ankara Kardiyoloji Anabilim Dalı, Ankara

²Malatya Asker Hastanesi Kardiyoloji Bölümü, Malatya

³Van Askeri Hastanesi, Kardiyoloji Bölümü, Van

⁴Ankara Güven Hastanesi, Kardiyoloji Bölümü, Ankara

Giriş: Anatomik yapısı nedeniyle sağ ventrikül ejeksiyon fraksiyonunun iki boyutlu ekokardiyografi ile değerlendirilmesi güçtür. Bu konuda altı standart olarak kabul edilen manyetik rezonans görüntüleme ile en yakın korelasyon gösteren ekokardiyografi parametresi sağ ventrikül fraksiyonu alan değişikliğidir (Right ventricle fractional area change-RVFAC). Bu çalışmanın amacı speckle tracking modalitesi üzerinden türetilmiş yeni bir parametre olan anulus dokusu yerdeğşim hareketi (Tissue Motion Annular Displacement-TMAD) ölçüm yönteminin korelasyonu RVFAC ile korelasyonu arastırmaktır.

Gereç ve Yöntemler: Çalışmaya herhangi bir hastalığı bulunan sağlam 38 gönüllü alındı (5 erkek, ortalama yaşı 40±5). RVFAC ölçümü için endokardiyal sınırlı diastole ve sistole çizgileri sistolik ve diastolik alan farklı diastolik alanına oranlanarak 100 ile çarpılır (Şekil 1). TMAD değeri apikal 4 boşluk görüntüde QLAB v6.0 yazılımı ile otomatik olarak hesaplanmıştır (Şekil 2). Triküspid anulusun septal ve lateralinde birer nokta ve RV apikalini işaretleyen üçüncü bir nokta işaretlendikten sonra 1., 2. noktalarda ve her ikinci noktanın orta noktasının mm ve % olarak apikalde olan yer değiştirmesi yazılımla otomatik olarak hesaplanmıştır. Her hasta için yapılan 3 ölçümün ortalaması alındı. İki teknik arasındaki korelasyon Pearson korelasyon testi ile saptandı.

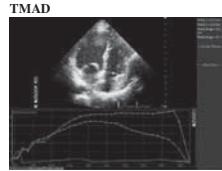
RVFAC

Sağ ventrikül fraksiyonu alan değişiminin ölçüm tekniği.

Bulgular: Bireylerin ortalama değerleri şu şekildedir: RVFAC (%)=46.0±9.4; TMADmed (mm)=13.0±2.9; TMAD-lat (mm)=16.6±7.1; TMADmid (mm)=15.6±3.8; TMADmid(%)=21.9±5.4. Pearson korelasyon testi RVFAC (%) ve TMADmid (%) parametreleri arasında orta kuwertte korelasyon bulunduğunu (Şekil 3) ancak diğer TMAD parametreleri ve RVFAC arasında korelasyon bulunmadığını göstermiştir.

Sonuç: TMADmid (%) parametresi sağ ventrikül sistolik fonksiyonunu değerlendirmede, RVFAC parametresiyle korelasyonlar vermektedir. Ne var ki, medial ve lateral duvardan alınan TMAD ölçümlerinin RVFAC ile korelasyon göstermemeyisi bu parametrenin global olarak ventriküller değerlendirmede kullanılımının güvenilir olmadığını düşündürmektedir.

Anulus dokusunun apikal yerdeğiminin ölçüm tekniği.

**S-027**

Determination of the correlation between right ventricle fractional area change, and annular tissue motion displacement for the evaluation of right ventricular functions

Serdar Fırtına¹, Murat Çelik³, Barış Buğan², Yalçın Gökoğlan¹, Atila İlyisoy¹, Turgay Çelik¹, Uyar Çağdaş Yüksel¹, Sait Demirkol¹, Emre Yałçınkaya¹, Sinan İşcen¹, Erkan Yıldırım¹, Oben Baysan⁴, Hürkan Kurşaklıoğlu¹

¹GATA Ankara Department of Cardiology, Ankara

²Malatya Military Hospital Division of Cardiology, Malatya

³Van Military Hospital Division of Cardiology, Van

⁴Ankara Güven Hospital, Clinics of Cardiology, Ankara

S-028

Behçet hastalarında sol atriyal mekanik fonksiyonlarının incelenmesi

Turgut Karabağ¹, Mustafa Aydin¹, Sat Mesut Doğan¹, Rafet Koca², Muhammet Raşit Sayın¹, Mehmet Ali Çetiner¹, Cem Çıl¹, Naile Eriş Güdü¹, Emrah Küçük¹, Abdullah Orhan Demirtaş¹, Nesimi Yavuz¹

¹Zonguldak Karaelmas Üniversitesi Tıp Fakültesi Kardiyoloji Anabilim Dalı, Zonguldak

²Zonguldak Karaelmas Üniversitesi Tıp Fakültesi, Dermatoloji Anabilim Dalı, Zonguldak

Amaç: Sol atrium sistol sırasında rezervuar görevi, erken diastolede bir iletken, geç diastolede ise aktif kontraktif birim görevi görmektedir. Behçet hastalarında diastolik fonksiyonların bozulduğu bilinmemektedir. Sol atriumun özellikle diastolik fonksiyonları bozuk hatalarda atım hacmini sağlamadı ve onları oynadığı bilinmemektedir. Çalışmamızın amacı Behçet hastalarında sol atrial mekanik fonksiyonlarını araştırmaktır.

Yöntem: Çalışmaya 35 yeni tanı konulmuş Behçet hastası (14 erkek, 21 kadın, yaş ort. 43,5±10,5) ile kontrol grubu olarak herhangi bir hastalığı olmayan ve ilaç kullanımını olmayan 29 sağlıklı birey (13 erkek, 16 kadın, yaş ort. 42,6±11,1) dahil edildi. Apikal 4 boşluk görüntülemesinde mitral E, A, E/A ve EDZ süreleri ölçüldü. Sol atrial volümeler disi metodu ile maksimum volüm (Vmax) sistol sonunda, minimum volüm (Vmin) diastol sonunda ve elektrokardiogramda P dalgasının başlangıcı olan atrial sistol başlangıcında (Vp) olmak üzere ölçüldü. Tüm volümler vücut yüzey alanına indekslenerek ml/m² olarak ifade edildi. Sol atriyal mekanik fonksiyonları; sol atrial pasif boşalma volümü (LAPEV); Vmax-Vp, sol atriyal pasif boşalma fraksiyonu (LAPEF); (Vmax-Vp)/Vmax, sol atriyal aktif boşalma volümü (LAAEV); Vp-Vmin, sol atriyal aktif boşalma fraksiyonu (LAAEF); Vp-Vmin/Vp, sol atriyum total boşalma volümü (LATEV), kondüt volümü (CV); LV atım hacmi (-LATEV) formülleri ile hesaplandı.

Bulgular: Demografik bulgular açısından gruplar arasında fark yoktu. Mitral E dalga ve E/A oranı Behçet hastalarında kontrol grubuna göre anlamlı olarak düşüktür (sırasıyla 0,66±0,12' e karşın 0,78±0,12; p=0,02, 0,98±0,24' e karşın 1,3±0,37; p<0,001) A dalga ise anlamlı olarak yüksek bulundu (0,69±0,14' e karşın 0,61±0,13; p=0,03).

Tablo

	BEHÇET (n=35)	KONTROL (n=29)	p
Mitral E dalga (cm/sn)	0,66±0,12	0,78±0,12	0,02
Mitral A dalga (cm/sn)	0,69±0,14	0,61±0,13	0,03
E/A	0,98±0,24	1,3±0,37	<0,001
Vmax (ml/m ²)	28,7±7,3	30,7±6,2	0,26
Vmin (ml/m ²)	14,5±4,2	12,3±3,9	0,03
Vp (ml/m ²)	21,3±5,2	18,3±5,7	0,03
LAPEV (ml/m ²)	9,4±2,7	10,4±4,3	0,27
LAPEF (ml/m ²)	36,1±11,1	30,8±7,8	0,03
LAAEV (ml/m ²)	6,8±3,5	5,9±3,3	0,35
LAAEF (ml/m ²)	31,9±11,6	31,4±12,4	0,86
LATEV (ml/m ²)	16,4±5,1	16,2±3,9	0,84
CV (ml/m ²)	14,8±9,5	16,2±11,1	0,57

Behçet hastaların sol atriyal diastolik fonksiyonları kontrol grubundan daha düşük bulunmuştur.

S-028

Examination of the left atrial mechanical functions in patients with Behçet's disease

Turgut Karabağ¹, Mustafa Aydin¹, Sat Mesut Doğan¹, Rafet Koca², Muhammet Raşit Sayın¹, Mehmet Ali Çetiner¹, Cem Çıl¹, Naile Eriş Güdü¹, Emrah Küçük¹, Abdullah Orhan Demirtaş¹, Nesimi Yavuz¹

¹Zonguldak Karaelmas University, Faculty of Medicine, Department of Cardiology, Zonguldak

²Zonguldak Karaelmas University, Faculty of Medicine, Department of Dermatology, Zonguldak

S-029

Mitral stenoz hastalarında trombosit indeksleriyle spontane eko kontrasti arasındaki ilişki

Mahmut Akpek, Mehmet G Kaya, Mikail Yarlioglu, Nihat Kalay, Orhan Dogdu, İdris Ardiç,

Ömer Şahin, Deniz Elçik, İbrahim Özdoğu, Ramazan Topsakal, Abdurrahman Oğuzhan, Ali Ergin

Erciyes Üniversitesi Tıp Fakültesi, Kardiyoloji Anabilim Dalı, Kayseri

S-029

Relationship between platelet indices and spontaneous echo contrast in patients with mitral stenosis

Mahmut Akpek, Mehmet G Kaya, Mikail Yarlioglu, Nihat Kalay, Orhan Dogdu, İdris Ardiç,

Ömer Şahin, Deniz Elçik, İbrahim Özdoğu, Ramazan Topsakal, Abdurrahman Oğuzhan, Ali Ergin

Erciyes Üniversitesi Tıp Fakültesi, Kardiyoloji Anabilim Dalı, Kayseri

Background: Spontaneous echo contrast (SEC) is a presence of smoke like echoes with a characteristic swirling motion of blood in echocardiography. SEC is a risk factor for left atrial thrombus formation and an important systemic embolism source originated from heart. In this study, we aimed to determine the association of platelet indices with SEC in patients with mitral stenosis.

Methods: Two hundred and eleven consecutive patients with mitral stenosis who undergone mitral balloon valvuloplasty were enrolled to the study. Patients were divided into two groups according to the absence or presence of SEC in left atrium. Group1: Mitral stenosis complicated with SEC. Group 2: Mitral stenosis without SEC. Transthoracic and transesophageal echocardiography were performed for each patient. Complete blood counting parameters and all routine biochemical tests were measured.

Results: There were 122 patients (mean age 41 ± 12 and 71% female) in SEC(-) group and 89 patients (mean age 44 ± 11 and 64% female) in SEC(+) group. Mean age, sexual status and coronary risk factors were similar between groups. In the echocardiographic parameters, left atrium diameter was significantly higher in SEC(+) group ($p=0,0001$), while left ventricular ejection fraction was higher in SEC (-) group ($p=0,012$). Mean platelet volume (MPV) and plateletrict (PCT) were significantly higher in patients with SEC(+) ($p=0,027$ and $p=0,036$, respectively). When we divided the SEC(+) patients in to four groups according to previously reported criteria, MPV and PCT levels increased correlated with the degree of SEC ($p=0,0001$ and $p=0,01$, respectively). At multivariate analysis, MPV (odds ratio (OR) 1,38, <95% confidence interval 1,07 - 1,78; $p=0,014$), PCT (OR 1,76, <95% CI 1,13 - 2,76; $p=0,013$) and LA diameter (OR 2,74, <95% CI 1,51 - 4,97; $p=0,001$) were independent risk factors of SEC in patients with mitral stenosis.

Conclusions: In patients with mitral stenosis, easily measurable platelet indices including MPV and PCT levels are associated with presence of SEC and correlate with the degree of SEC. So, we suggest that SEC(+) patients with mitral stenosis with high MPV and PCT levels might gain advantage from intensive anti platelet therapy and decrease the risk of thromboembolic events.

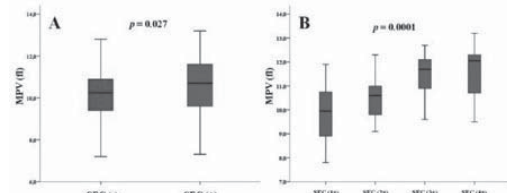


Figure 1. Mean platelet volume levels between groups (A), mean platelet volume levels in sub group of SEC (+) patients (B).

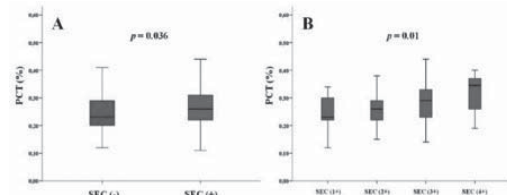


Figure 2. Plateletrit levels between groups (A), plateletrit levels in sub group of SEC (+) patients (B).

	SEK (-)	SEK (+)	n	p value
Age (year)	41 ± 12	44 ± 11		
Female (%)	71	64		0.263
Hypertension (%)	41	39		0.808
Diabetes mellitus (%)	20	22		0.621
Smoking (%)	23	19		0.344
CAD (%)	26	19		0.226
Mean gradient (mmHg)	16.7 ± 6	17.1 ± 6.3		0.628
LA diameter (cm)	4.2 ± 0.5	4.5 ± 0.6		<0.001
LVEF (%)	62.6 ± 5.8	60.6 ± 5.5		0.012
Atrial fibrillation (%)	34	45		0.122
Aspirin (%)	55	64		0.184
Warfarin (%)	35	45		0.154
Hemoglobin (g/dL)	13.1 ± 1.9	13.2 ± 1.8		0.592
Hematocrit (%)	39.4 ± 4.5	40.3 ± 4.3		0.224
WBC (10^9 /3µL)	8.2 ± 3	8.6 ± 2.8		0.31

Data are expressed as mean ± standard deviation for normally distributed data and percentage (%) for categorical variables. CAD: Coronary artery disease; LA: Left atrium, LVEF: Left ventricular ejection fraction, WBC: White blood cell

	SEK (-) n=122	SEK (+) n=89	p value
LA diameter	2.74	1.51 - 4.97	0.001
MPV (fL)	1.38	1.07 - 1.78	0.014
PCT (%)	1.38	1.13 - 2.76	0.013

Table 1. Baseline characteristics
Table 3. Effects of variables on SEC in multivariate logistic regression analyses

	Adjusted Odds Ratio*	CI 95%	p value
LA diameter	2.74	1.51 - 4.97	0.001
MPV (fL)	1.38	1.07 - 1.78	0.014
PCT (%)	1.38	1.13 - 2.76	0.013

*Adjusted for LA diameter, MPV, PCT, left ventricular ejection fraction, mean gradient, aspirin, warfarine and atrial fibrillation. OR: odds ratio, CI: Confidence interval, LA: Left atrium, MPV: Mean platelet volume, PCT: Plateletcrit.

Table 2. Platelet indices of patients

	SEK (-) n=122	SEK (+) n=89	p value
Platelet count (10^3 /µL)	247 ± 75	255 ± 75	0.456
MPV (fL)	10.2 ± 1.2	10.6 ± 1.3	0.027
PCT (%)	0.25 ± 0.06	0.27 ± 0.08	0.036
PDW (fL)	14.1 ± 2.4	14.3 ± 2.5	0.580

Data are expressed as mean ± standard deviation for normally distributed data. MPV: Mean platelet volume, PDW: platelet distribution width.

S-030

Atrial septal defekti olan hastalarda, perkütan yolla defektin kapatılması öncesi ve sonrası erken dönemde sol kalp boşluklarının deformasyonlarının değerlendirilmesi

Sinem Çakal¹, Elif Eroğlu², Beytullah Çakal¹, Birol Özkan¹, Göksel Açıar¹, Bünyamin Şan¹, Mustafa Bulut¹, Cihan Dündar¹, Kürşat Tigen¹, Ramazan Kargin¹, M.vefik Yazıcıoğlu¹, Ali Metin Esen¹

¹Kartal Koçyolu Yüksek İhtisas Eğitim ve Araştırma Hastanesi, Kardiyoloji Bölümü, İstanbul
²Yeditepe Üniversitesi Tip Fakültesi Kardiyoloji Anabilim Dalı, İstanbul

Amaç: Atrial septal defekt (ASD) sağ kalpte kronik volüm yüklenmesine neden olmaktadır. Bu çalışmada, ASD'nin perkütan yolla kapatılması öncesi ve sonrası erken dönemde, sağ kalpteki uzun süreli volüm yüklenmesinin sol kalp üzerindeki etkilerini gözlemlerek amaçlanmıştır.

Metod: 20 ASD'si olan hasta, perkütan yolla kapama öncesi ve sonrası 24. saatte değerlendirildi. Kontrol grubu olarak yaş uyumlu sağlıklı bireyler seçildi. Sol atriyal deformasyon, apikal 4 boşlukta, sol atriyum lateral duvarı mid bölgelerde değerlendirildi. Sol atriyumun rezervuar fazı, pasif doluştan atriyal kontraksiyonu uzun eksen strain (S) ve strain rate (SR) ölçümlerile değerlendirildi. Sol ventrikül global S ve SR'ı apikal 4 boşluktan ölçüldü.

Bulgular: Sol atriyum rezervuar, pasif doluştan, atriyal kontraksiyon evrelerindeki maximal S ve SR ölçümleri, ASD kapama öncesi hastalarda, kontrol grubuya benzer bulundu. ASD'nin perkütan yolla kapatılması sonrası erken dönemde, tüm bu değerlerde artış gözlemlendi. Benzer şekilde ASD kapama öncesi kontrol grubuya benzer olan sol ventrikül S ve SR değerleri, ASD kapama sonrası erken dönemde artış gösterdi (Tablo 1). ASD hastalarında sol ventrikül S değerleri ekokardiyografik ve invaziv olarak ölçülen defekt boyutu ile korele bulundu ($r=0.65$; $p=0.002$, ve $r=0.59$; $p=0.008$ sırasıyla)

Sonuç: Sol atriyum ve sol ventrikül uzun eksen deformasyonları ASD hastalarında etkilenmektedir. ASD'nin kapatılması sonrası erken dönemde, sağ kalp boşluklarındaki kronik volüm yükü azalmaktır, sol ve sağ kalp arasında dengeli dağılım sonucunda, erken dönemde sol atriyum ve sol ventrikülde uzun eksen deformasyonda artış olmaktadır.

	Kontrol	Kapama öncesi	Kapama sonrası	p
Sol atriyum rezervuar S(%)	28±7	31±9	45±12	0.0001
Sol atriyum pasif doluştan S(%)	11±3	13±6	20±7	0.0001
Sol atriyum kontraksiyon S(%)	-3±1.5	-2.2±1	-4.1±1	0.0001
Sol atriyum rezervuar SR(1/s)	1.9±1	2.4±1	3.4±0.8	0.001
Sol atriyum pasif doluştan SR(1/s)	-2.2±0.7	-2.4±0.9	-2.9±1.2	0.1
Sol atriyum kontraksiyon SR(1/s)	-1.7±0.6	-2.2±1.1	-3.1±0.9	0.007
Sol ventrikül global S(%)	-21±3	-20±3	-23±3	0.008
Sol ventrikül global SR(1/s)	-1.8±0.2	-1.7±0.2	-1.9±0.1	0.02

p:ASD kapama öncesi ve sonrası için anlamlı değerleri

S-030

Evaluation of deformations of the left heart chambers in the early phase before, and after percutaneous closure of the defect in patients with atrial septal defect

Sinem Çakal¹, Elif Eroğlu², Beytullah Çakal¹, Birol Özkan¹, Göksel Açıar¹, Bünyamin Şan¹, Mustafa Bulut¹, Cihan Dündar¹, Kürşat Tigen¹, Ramazan Kargin¹, M.vefik Yazıcıoğlu¹, Ali Metin Esen¹

¹Kartal Koçyolu Higher Specialization Training and Research Hospital, Division of Cardiology, İstanbul

²Yeditepe University, Faculty of Medicine, Department of Cardiology, İstanbul

S-031

Obstrüktif uykı apnesi olan hastalarda sinüs ritmi sırasında sol atriyum apendiks fonksiyonunun değerlendirilmesi: Transtorasik ekokardiyografi ve doku Doppler çalışması

Mustafa Gökhane Vural¹, Mehmet Doğan¹, Hikmet Fırat², Göksel Çağırıcı³, Sadık Ardiç², Ramazan Akdemir⁴, Ekrem Yeter¹

¹Sağlık Bakanlığı Dışkı Yıldırım Beyazıt Eğitim ve Araştırma Hastanesi Kardiyoloji Kliniği, Ankara

²Sağlık Bakanlığı Dışkı Yıldırım Beyazıt Eğitim ve Araştırma Hastanesi, Göğüs Hastalıkları Kliniği, Uyku Tıbbı Ünitesi, Ankara

³Sağlık Bakanlığı Dışkı Antalya Eğitim ve Araştırma Hastanesi, Kardiyoloji Kliniği, Antalya

⁴Sakarya Üniversitesi, Kardiyoloji Anabilim Dalı, Sakarya

S-031

Assessment of left atrial appendage function during sinus rhythm in patients with obstructive sleep apnea: Transthoracic echocardiography and tissue Doppler study

Mustafa Gökhane Vural¹, Mehmet Doğan¹, Hikmet Fırat², Göksel Çağırıcı³, Sadık Ardiç², Ramazan Akdemir⁴, Ekrem Yeter¹

¹Ministry of Health Dışkı Yıldırım Beyazıt Training and Research Hospital, Clinics of Cardiology, Ankara

²Ministry of Health Dışkı Yıldırım Beyazıt Training and Research Hospital I, Clinics of Chest Diseases, Sleep Medicine Unit, Ankara

³Ministry of Health Dışkı Antalya Training and Research Hospital, Clinics of Cardiology, Antalya

⁴Sakarya University, Department of Cardiology, Sakarya

Background: Obstructive sleep apnea (OSA) is associated with cardiovascular morbidity and mortality. Whether or not any left atrial appendage (LAA) dysfunction is present in OSA is not known. The purpose of this study was to evaluate LAA mechanical functions in OSA patients.

Methods: Polysomnography (PSG) and transthoracic echocardiography (TTE) were performed on 72 OSA patients. OSA was defined as apnea-hypopnea index (AHI) of >5. 9 patients were excluded from the study because of the poor echocardiographic quality. 24 patients with severe OSA (AHI, 60.9±21.3), 19 patients with mild-to-moderate OSA (AHI, 14.9±8.3) and 20 age and sex-matched healthy control subjects (AHI, 2.7±1.0) were studied. LAA functions were evaluated by TTE. For DTI analysis, sample volume was positioned at the apex of the LAA. Care was taken to keep the cursor as parallel as possible to the LAA apex. A triphasic flow pattern was recorded; LAA SM, LAA EM and LAA AM. The initial early diastolic negative velocity just before the ECG-P wave was termed LAA EM, the following biphasic negative emptying and positive filling velocities were termed LAA AM and LAA SM respectively (Fig-1 and-2). The peak velocities of LAA AM, LAA EM, and LAA SM were measured and averaged for ten consecutive cardiac cycles. LAA blood velocities were obtained from 49 patients (68%) by placing pulsed Doppler cursor at the proximal third of the LAA cavity after necessary gain adjustments. For the assessment of global LV diastolic function E/A ratio, DT, IVRT, and E/E' ratio were considered.

Results: Patients with severe OSA had greater frequencies of hypertension, diastolic dysfunction and higher body-surface area but comparable frequencies of diabetes mellitus, hyperlipidemia and smoking status. Sex, heart rate, body-mass index, systolic blood pressure and diastolic blood pressure were similar in both groups. Patients with OSA had a greater frequency of diastolic dysfunction and anti-hypertensive treatment. Left atrial dimensions and left filling pressures increased in severe OSA patients. Emptying velocity (LAA-V) obtained by pulsed-wave Doppler was significantly depressed in patients with severe OSA compared with patients with mild-to-moderate OSA and control subjects. Similarly all tissue Doppler velocities obtained from LAA were significantly decreased in patients with severe OSA compared with patients with mild-to-moderate OSA and control subjects. LAA-V and LAA-AM among the 3 groups, LAA-AM was significantly correlated with AHI, left ventricular filling pressure, left atrial volume and IVRT. AHI, E/E' and the presence of diastolic dysfunction were independent predictors of decreased LAA-V and LAA-AM hence the LAA dysfunction in the multiple regression model.

Conclusions: The significantly depressed LAA mechanical functions in sinus rhythm may predispose OSA patients to thromboembolic events and may contribute to depressed exercise capacity in OSA patients with diastolic dysfunction.

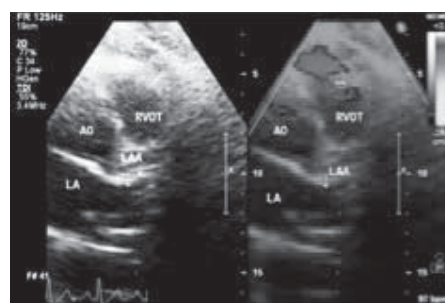


Figure 1. Determining the Left Atrial Appendage in Parasternal Short-Axis Window using Transthoracic Tissue Doppler Echocardiography.

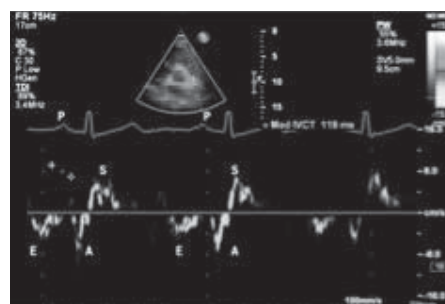


Figure 2. Assessment of Left Atrial Appendage Tissue Velocity.

S-032

Sekundum atrial septal defektli hastalarda atriyal elektromekanik süre ve sol atriyal mekanik fonksiyonların değerlendirilmesi

Mehmet Ertürk, Mehmet Güç, Hamdi Püşüroğlu, Hale Ünal Aksu, Muzaffer Aslan, İbrahim Faruk Aktürk, Özgür Sürgüt, Ahmet Arif Yalçın, Fatih Uzun, Mustafa Kemal Erol

İstanbul Mehmet Akif Ersoy Eğitim Araştırmalar Hastanesi, Kardiyoloji Kliniği, İstanbul

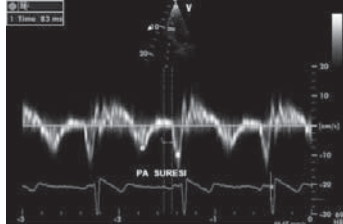
Amaç: Geniş sekundum atrial septal defektli (ASD) hastalarda atriyal elektromekanik gecikme (EMG) ve sol atriyal mekanik fonksiyonların (MF) değerlendirilmesi

Gereç-Yöntem: Çalışmamızda, geniş sekundum ASD tamlı 37 hasta (28 kadın, 9 erkek; ort.yaş: 42,08±3,6) ve yaş ve cinsiyet uyumlu 26 sağlam kişi (19 kadın, 7 erkek; ort.yaş: 41,53±14,9) alındı. Tüm olguların iki boyutlu, M- mode ve Doppler ekokardiyografik parametreleri ölçüldü. Sol atrium hacimleri (Sol Ventrikül Sistol Sonu Maksimal Volum;Vmax, Diyastol sonu minimal volum; Vmin, atrial sistol başlangıcındaki volum; Vp) apikal dört ve iki boşluktan disk yöntemiyle ölçüldü ve ortalamaları alınarak vücut yüzey alamına oranlandı. Pasif boşalma volumü (Vmax-Vp), Pasif boşalma fraksiyonu (Vmax-Vp/Vmax), Aktif boşalma volumü (Vp-Vmin), Aktif boşalma fraksiyonu (Vp-Vmin/Vp), Total boşalma volumü: (Vmax-Vmin), Konduit volum (stroke volum- (Vmax-Vmin)) hesaplandı. Atriyal elektromekanik süre (PA) lateral mitral annulustan (PA lateral), septal mitral annulustan PA-septal ve lateral triküspit annulustan (PA- triküspit) doku Doppler yöntemiyle ölçüldü (Şekil 1).

Bulgular: Çalışmamızda, her iki grupta yaş, cinsiyet, sistolik ve diystolik kan basıncı (SKB, DBK), kalp hizi (KH), vucut yüzey alanı (VYA) ve vücut kitle indeksi (VKİ) açısından anlamlı fark yoktu (Tablo 1). Sol intraatrial EMG ASD'li hastalarda kontrol grubuna ($p=0,023$) göre uzamış olarak bulundu (Tablo 2). Yine ASD'li hastalarda atriyal mekanik fonksiyonların en önemli göstergesi olan aktif boşalma fraksiyonu kontrol grubuna ($p=0,0001$) göre anlamlı olarak bozulmuştu (Tablo 3).

Sonuç: Sol atriyal elektromekanik süreler ve mekanik fonksiyonlar ASD'li hastalarda bozulmuştur.

Doku Doppler Yöntemiyle PA Süresinin ölçümü



ASD Hastalarının ve Kontrol Grubunun Demografik Özellikleri ve Ekokardiyografik Parametreleri

	ASD HASTALARI (N=37) Ortalama±SD	KONTROL GRUBU (N=26) Ortalama±SD	P DEĞERİ
Yaş (yıl)	42,08±13,56	41,53±14,9	0,881
Cinsiyet (erkek %)	% 24,3	% 26,9	0,816
SKB (mmHg)	125,64±13,24	128,58±14,40	0,265
DKB(mmHg)	77,15±10,43	77,81±7,96	0,778
KH (vuru/dk)	78,51±10,85	79,69±11,81	0,671
BMI (kg/m2)	25,47±4,61	25,53±4,51	0,955
VYA (m2)	1,75±0,17	1,75±0,17	0,989
Sol Ventrikül Diyastol Sonu Çapı (cm)	4,32±0,37	4,67±0,47	0,002
Sol Ventrikül Sistol Sonu Çap(cm)	2,63±0,41	2,86±0,33	0,021
Sol Ventrikül Ejeksiyon Fraksiyonu (%)	64,45±2,53	66,92±6,33	0,040
Tahmini Pulmoner Arter Basıncı (mmHg)	42,78±15,24	26,69±5,26	0,0001
Defekt çapı TTE (cm)	2,08±0,83		
Defekt çapı TEE (cm)	2,13±0,85		
Qp/Qs oranı	2,84±1,33		

Doku doppler ile ölçülen Atrial Elektromekanik Gecikme Süreleri

	ASD HASTALARI (N=37) ORTALAMA±SD	KONTROL GRUBU (N=26) ORTALAMA±SD	P
PA lateral (msn)	65,59±25,49	47,38±12,92	0,015
PA septal (msn)	58,50±20,38	46,88±13,95	0,018
PA triküspit (msn)	47,76±21,70	37,12±16,83	0,103
Sol intraatrial (PA lateral- PA septal)(msn)	38,04±28,95	22,34±19,53	0,023
Sağ intraatrial (PA septal-PA triküspit)(msn)	10,19±23,41	9,12±18,32	0,838
İnteratrial (PA lateral-PA triküspit)(msn)	17,66±26,09	10,26±18,03	0,257

Atrial Septal Defekt Hastalarının ve Kontrol Grubunun Sol Atrial Volum ve Çap Ölçümleri

	ASD 'Lİ HASTALAR (N=37) Ortalama± SD	KONTROL GRUBU (N=26) Ortalama± SD	P
Sistol Sonu Maksimal Volum (Vmaks: ml/m2)	38,68±11,20	29,31±7,01	0,001
Diyastol sonu minimal volum (ml/m2)	19,09±8,88	10,80±3,13	0,0001
Atrial sistol başlangıcındaki volum (Vs: ml/m2)	26,10±10,15	18,27±5,48	0,001
Pasif boşalma volumu: (ml/m2)	12,54±3,73	11,05±3,94	0,137
Pasif boşalma fraksiyonu (%)	0,33±0,10	0,38±0,10	0,088
Aktif boşalma volumu (ml/m2)	7,01±4,48	7,50±3,82	0,299
Aktif boşalma fraksiyonu (%)	0,27±0,14	0,39±0,11	0,0001
Konduit volum (ml/m2)	45,94±21,10	41,73±16,05	0,425
Total boşalma volumü: (ml/m2)	19,59±6,25	18,50±4,75	0,477
Antero posterior çap (mm)	35,65±6,49	30,07±4,03	0,0001
Mediolateral çap (mm)	40,24±6,33	36,54±3,91	0,030
Apikalbazal çap (mm)	50,81±8,13	42,08±3,91	0,0001

S-032

Evaluation of the left atrial mechanical functions, and atrial electromechanical interval in patients with secundum atrial septal defect

Mehmet Ertürk, Mehmet Güç, Hamdi Püşüroğlu, Hale Ünal Aksu, Muzaffer Aslan, İbrahim Faruk Aktürk, Özgür Sürgüt, Ahmet Arif Yalçın, Fatih Uzun, Mustafa Kemal Erol

İstanbul Mehmet Akif Ersoy Training and Research Hospital , Clinics of Cardiology, İstanbul

S-033

Persistan veya permanent atriyal fibrilasyonu olan hastalarda serum D-dimer düzeyinin sol atriyum hacim indeksi ile ilişkisinin araştırılması

Ömer Kiraslan, Ahmet Gürdal, Abdullah Kaplan, Cansu Selcan Akdeniz, Yaşar Çizgici, Kivanç Yalın, Fahrettin Öz, Mehmet Kocaşa, Melike Zehra Buğra

İstanbul Üniversitesi İstanbul Tıp Fakültesi Kardiyoloji Anabilim Dalı, İstanbul

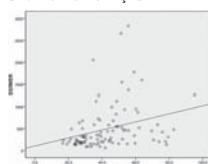
Atriyal fibrilasyon (AF) topundaki yaygın görülen bir aritmi olup inme ve tromboembolik olaylar için önemli bir risk oluşturmaktadır. AF'de sol atriyum chapterleri genişler. Bu genişleme valvüller nedeniyle AF hastalarında daha belirgindir. Genişlemiş sol atriyumlu AF hastalarında elektriksel değişiklikler de olmaktadır. Anatomisi bozulmuş, hücresel düzeye yapisal ve elektriksel değişiklikler gelişmiş atriyumlarda gerek elektriksel gerek de medikal kardiyoversiyondan yanıt alma ihtiyamı düşüktür. Ayrıca, genişlemiş sol atriyumda kanın akım paterni değiştirmek olup trombus oluşumu ve dolayısıyla tromboembolik olaylar için önemli bir risk faktörü oluşturmaktadır. Daha önce yapılmış olan çalışmalar; kalp yetersizliği, diyet, geçirilmiş iskemik cerebrovasküler olalar (SVO) gibi klinik tablolardan yokska yüksek D-dimer düzeylerinin sol atriyal trombus ve tromboembolik olaylar için bağımsız risk faktörü olduğunu göstermektedir.

Amaç: Bu çalışmanın amacı, AF'li hastalarda D-dimer düzeyi ile sol atriyum volum indeksi (SAVI) arasındaki ilişkisinin araştırılması, elde edilecek sonuçlarla D-dimer düzeyi esas alınarak SAVI'nın bilinmesi durumunda tromboembolik olaylar ve inmenin öngörlümesine katkısının olup olamayacağını belirlemektir.

Yöntem: Çalışmaya Aralık 2010 ile Mayıs 2011 tarihlerinde kliniğimize transtorasik ve transöfagial ekokardiyografi (TTE, TEE) yapmak üzere refere edilen, persistan veya permanent AF'li 96 hasta alındı. Bu hastalara TTE ve TEE incelenme yapılmıştır. Serum D-dimer düzeyi ve SAVI parametrelerinin birbirleriley ilişkisi incelenmiştir.

Bulgular: Hastaların 20'sinde (%20,8) sol atriyum volum indeksi (SAVI) normal (<28mL/m²), 76'sında (%79,2) SAVI artmış (>=28mL/m²) olduğu gözlemlendi. Hastaların ortalaması SAVI'si 42,673±16,8039 mL/m² bulundu. SAVI ile D-dimer arasında anlamlı pozitif korelasyon mevcuttu ($r=0,298$, $p=0,003$). SAVI'si artmış olan grupta ortalamalı D-dimer düzeyi (563,56±557,74), SAVI'si normal olan hastalardaki ortalamalı D-dimer düzeyine göre (232,35±125,04) istatistiksel olarak anlamlı derecede yüksek bulundu ($p=0,001$). Çalışmamızda SAVI düzeyini öngörme için kullanabileceğimiz D-dimer kesirimsel noktası ("cutoff" değeri) 252 μ g/L bulundu, 252 μ g/L'in üzerinde SAVI ile D-dimer ilişkisi rinde SAVI'nın artmış olduğu öngörelibili. Bunun duyarlılığı %68,42, seçiciliği %80, pozitif olabilirlik oranı da 3,42'dir, pozitif prediktif değeri %92,9 negatif prediktif değeri %40'dır.

Sonuç: Çalışmamızda D-dimer ile SAVI arasında anlamlı pozitif korelasyon olduğunu gösterdik, bunu görüp SAVI arttıkça, D-dimer düzeyi de yükseliş bulunumaktadır. Bunun yanı sıra SAVI düzeyini belirlemeye D-dimerin pozitif prediktif değerinin ve nispeten sensitivitesinin yüksek bulunması D-dimeri, klinik uygulamada SAVI değerini göstermede bir biomarker olarak kullanabileceğimizi düşündürmektedir.



S-034

Atriyal fibrilasyonda elektriksel kardiyoversyon enerjisinin ilk şok enerjisini öngörmede sol atriyum ve sol atriyal apendiksin basal duvar doku Doppler görüntüleme parametreleri

Gülsüm Meral Yılmaz, Cemil Gurgun, Selcen Yakar Tuluce, Kamil Tuluce, Oguz Yavuzgil, Cahide Soydas Cinar

Ege Üniversitesi, Tip Fakültesi, Kardiyoloji Anabilim Dalı, İzmir

S-033

To investigate the relationship between plasma D-dimer level and left atrial volume index (LAVI) in patients with persistent and permanent atrial fibrillation

Ömer Kiraslan, Ahmet Gürdal, Abdullah Kaplan, Cansu Selcan Akdeniz, Yaşar Çizgici, Kivanç Yalın, Fahrettin Öz, Mehmet Kocaşa, Melike Zehra Buğra

İstanbul University, İstanbul Faculty of Medicine, Department of Cardiology, İstanbul

Atriyal fibrilasyon (AF) toplundaki yaygın görülen bir aritmi olup inme ve tromboembolik olaylar için önemli bir risk oluşturmaktadır. AF'de sol atriyum chapterleri genişler. Bu genişleme valvüller nedeniyle AF hastalarında daha belirgindir. Genişlemiş sol atriyumlu AF hastalarında elektriksel değişiklikler de olmaktadır. Anatomisi bozulmuş, hücresel düzeye yapisal ve elektriksel değişiklikler gelişmiş atriyumlarda gerek elektriksel gerek de medikal kardiyoversiyondan yanıt alma ihtiyamı düşüktür. Ayrıca, genişlemiş sol atriyumda kanın akım paterni değiştirmek olup trombus oluşumu ve dolayısıyla tromboembolik olaylar için önemli bir risk faktörü oluşturmaktadır. Daha önce yapılmış olan çalışmalar; kalp yetersizliği, diyet, geçirilmiş iskemik cerebrovasküler olalar (SVO) gibi klinik tablolardan yokska yüksek D-dimer düzeylerinin sol atriyal trombus ve tromboembolik olaylar için bağımsız risk faktörü olduğunu göstermektedir.

Aim of the study: The aim of this study is to investigate the relationship between plasma D-dimer level and left atrial volume index (LAVI) in patients with persistent and permanent atrial fibrillation. Results to be obtained on the basis of D-dimer levels predict left atrial volume index. Therefore whether this relationship could not determine the contribution to the prediction of thromboembolic events and stroke.

Methods: Study included 96 patients with permanent and persistent atrial fibrillation who were admitted to the outpatient clinic for the application of transthoracic and transoesophageal echocardiography examination between December 2010 and May 2011. TTE and TEE examinations were performed in these patients and also plasma D-dimer levels and LAVI parameters were compared with each other.

Results: Mean LAVI of the whole group was 42,673±16,8039 mL/m², and mean D-dimer level was 232,35±125,04 μ g/L. In 20 patients (20,8%) LAVI was normal (<28mL/m²), in 76 (79,2%) patients LAVI was increased ($\geq 28mL/m^2$). There was a positive correlation between LAVI and D-dimer levels ($r=0,298$, $p=0,003$). In patients with normal LAVI, mean D-dimer level was 232,35±125,04 and in patients with increased LAVI mean D-dimer level was 563,56±557,74 μ g/L. Relationship between LAVI and the result was statistically significant ($p<0,001$). The cut off point of D-dimer level for LAVI was. For patients with D-dimer levels $>252\mu$ g/L, we can say that LAVI is increased with 68,42 sensitivity, %, 80 specificity, 92,9% positive, and 40% negative predictive values.

Conclusion: We conclude that, there is a positive correlation between D-dimer and LAVI, therefore when LAVI increases, D-dimer level increases too. Findings obtained give rise to the thought that D-dimer level may be an efficient biomarker in predicting the LAVI in patients with AF.

S-034

Basal wall tissue Doppler imaging parameters of left atrium and left atrial appendage to predict initial shock energy of electrical cardioversion in atrial fibrillation

Gülsüm Meral Yılmaz, Cemil Gurgun, Selcen Yakar Tuluce, Kamil Tuluce, Oguz Yavuzgil, Cahide Soydas Cinar

Ege University, Faculty of Medicine, Department of Cardiology, Izmir

Purpose: Atrial fibrillation (AF) induces remodelling of the left atrium (LA). We aimed to evaluate contractile functions of LA and the left atrial appendage (LAA) to detect initial shock energy level for electrical cardioversion (CV) in patients with AF.

Methods: 27 patients (mean age 61,59±10,88 years, 70,4% men) with AF duration of longer than 48 hours but less than one year eligible for conversion to the sinus rhythm (SR) participated in this study. Patients with AF developed due to valvular diseases, ischemic heart disease, cardiomyopathies and hyperthyroidism were excluded. LA functions were investigated by using tissue Doppler imaging (TDI). Sample volume was placed at ten different points of LA walls: each 5 segments from apical four-chamber and two-chamber views. TDI velocities of LAA were obtained from five different points by transesophageal echocardiography. Upward emptying (D2) and downward filling (D3) velocities were recorded. Initial energy level of a 50 J was performed with biphasic shocks and if necessary, the procedure was repeated with 100 J, 150 J and 200 J biphasic shocks with an anterolateral paddle position. If conversion to SR was not achieved, the last shock with an energy level of 200 J was repeated with the anterior posterior electrode position.

Results: CV success rates were 20% with 50 J, 56,6% with 100 J, 73,3% with 150 J, 90% with 200 J. When patients were divided into 2 groups according to the required energy levels; Group-1 (n=17) consisted patients required energy levels of <= 100 J and Group-2 (n=10) consisted patients required energy levels of > 100 J. There were significant negative correlations between CV energy level and E' velocity of LA basal-anterior wall ($r=-0,494$, $p=0,009$), and D3 velocity of LAA basal septal wall ($r=-0,431$, $p=0,025$). The best cut-off values of TDI parameters and their sensitivity and specificity to detect initial high shock energy levels for CV (>100J) are shown in Table-1.

Conclusions: In the selection of patients who may require higher energy levels for the restoration of SR during electrical CV, especially basal wall TDI parameters of LA and LAA might give additional information.

Table 1. Tissue Doppler velocities associated with initial high shock energy levels

TDI parameters	Area under ROC curve (%95 confidence interval)	P value	Cut-off values, cm/s	Sensitivity (%)	Specificity (%)
E' velocity of LA basal-anterior wall	0,80 (0,64-0,97)	0,009	11,90	80	77
D3 velocity of LAA basal septal wall	0,82 (0,66-0,99)	0,005	11,95	80	83

S-035

Hipertrofik kardiyomiyopatide P dalga dispersiyonu ve sol atriyum fazik fonksiyonları ile ilişkisiKamil Tülüce¹, Selcen Yakar Tülüce², Elnur İsayev¹, Filiz Özerkan¹¹Ege Üniversitesi Tip Fakültesi Kardiyoloji Anabilim Dalı, İzmir²İzmir Ataturk Eğitim ve Araştırma Hastanesi, I. Kardiyoloji Kliniği, İzmir

Giriş: Hipertrofik kardiyomiyopatide (HKM) P dalga dispersiyonunun (PDD) uzadığı ve sol atriyum fonksiyonlarının baskınlaşmış olduğu bilinmektedir. Bu çalışmanın amacı HKM hastalarının P dalga dispersiyonu ile sol atriyumun fazik fonksiyonları ve diğer ekokardiyografik parametreler arasındaki ilişkinin değerlendirilmesidir.

Metod: Değerlendirmeye sırasında temel ritmin sinüs olarak saptandığı 48'ı erkek, 27'si kadın olmak üzere toplam 75 HKM hastası çalışmaya dahil edildi. Transtorasik ekokardiyografide sol ventriküller (SoIV) ejeksiyon fraksiyonunun < %55 olması, Holter EKG'de AF atağı saptanması ve koroner arter hastalığı varlığı ana dışlama kriterleri idi. Olguların EKG'leri tarayıcı aracılığı ile dijital olarak kaydedildi ve daha sonra yüksek çözünürlükli bilgisayar ekranında yüksek performanslı grafik programı kullanılarak EKG kayıtları bütünlükerle ölçümü yapıldı. P dalgasının net olarak seçilebileceği türde derivasyonlarından (>10 derivasyon) ölçüm alındı. Maksimum P dalga süresi, minimum P dalga süresi ve ikisi arasındaki süre olarak tanımlanan PDD hesaplandı. Transtorasik ekokardiyografi ile SoIV sistolik, diyastolik fonksiyonları ve soIV kitlesi, sol atriyum (SA) çap ve hacim indeksi değerlendirildi. SA fazik fonksiyonlarını değerlendirmek amacıyla SA'nın diyastol sonu hacmi (SADSH), sistol sonu hacmi (SASSH) ve atriyal kontraksiyondan hemen önceki SA hacimleri (preAH) ölçüldü. SA ejeksiyon fraksiyonu (SAEF) ve SA aktif boşalma fraksiyonu (SAABFr) hesaplandı. HKM hastalarının bulguları; yaş ve cinsiyet açısından eşleştirilmiş, ciddi koroner arter hastalığı olmayan 75 olgunun verileri ile karşılaştırıldı.

Bulgular: Her iki grubun istirahat kalp hızları arasında fark saptanmadı. Ölçülen P maks ve P min süreleri HKM grubunda kontrollerde göre daha uzun bulundu. Grupların PDD'leri karşılaşılırlığında HKM grubunda kontrol grubuna göre daha yüksek saptandı (43.87 ± 16.43 msn, 37.33 ± 10.34 msn, $p=0.004$). HKM grubunda SoIV kitle indeksi 145.6 ± 47.28 gr/m², kontrol grubunda

Tablo 1. HKM grubunda P dalga dispersiyonun diğer parametrelerle ilişkisi

P dalga dispersiyonu	Rho	P değeri
SoIV kitle indeksi	-0.121	0.302
SAHİ	0.318	0.005
SASSH (ml)	0.387	0.001
SADSH (ml)	0.382	0.001
SAEF (%)	-0.236	0.042
PreAH (ml)	0.389	0.001
SAABFr (%)	-0.189	0.109

S-035

P-wave dispersion P- wave dispersion, and its relationship with phasic functionsKamil Tülüce¹, Selcen Yakar Tülüce², Elnur İsayev¹, Filiz Özerkan¹¹Ege University Faculty of Medicine, Department of Cardiology, Izmir²İzmir Ataturk Training and Research Hospital, I. Clinics of Cardiology, Izmir

S-036

Metabolik sendromlu hastalarda atriyal ileti zamanının doku Doppler ekokardiyografisi ve P- dalga dispersiyonu ile değerlendirilmesiHale Yılmaz¹, Nurten Sayar¹, Barış Güngör¹, Ufuk Gürkan¹, Betül Erer¹, Nazmiye Çakmak¹, Dilaver Öz¹, Mehmet Yılmaz², Osman Bolca¹¹Dr. Siyami Ersek Göğüs, Kalp ve Damar Cerrahisi Eğitim ve Araştırma Hastanesi, Kardiyoloji Kliniği, İstanbul²Dr. Siyami Ersek Göğüs, Kalp ve Damar Cerrahisi Eğitim ve Araştırma Hastanesi, Kalp ve Damar Cerrahisi, İstanbul

Metabolik sendromlu hastalarda atriyal ileti zamanının doku Doppler ekokardiyografisi ve P dalga dispersiyonu ile değerlendirilmesi

Amaç: Metabolik sendrom (MetS), kardiyovasküler hastalıklar için önemli bir mortalite ve morbidite göstergesidir. P dalga dispersiyonu (PD) ve doku Doppler ekokardiyografisi ile gösterilebilen atriyum içi/atriyumlarda arası ileti zamanı uzaması atriyum fibrilasyonu gelişimi ile ilişkilidir. Metabolik sendromlu hastalarda atriyal elektromekanik eşleşme süresinin (PA) tayini, atriyal fibrilasyon riski hakkında bilgi verebilir. Bu çalışmada MetS'li hastalarda atrial ileti zamanının değerlendirilmeyi amaçladık.

Yöntem-Gereçler: Çalışmaya Mets'li 53 hasta (ort. yaşı 32.6 ± 5.7) ve MetS olmayan 31 kontrol hasta (ort. yaşı 30.4 ± 6.2) alındı. MetS grubu içinde 34 hastada HT mevcuttu. Atriyal elektromekanik eşleşme (Yüzey EKG'sindeki P dalga başlangıcı ile doku Doppler geç diyastolik dalga (An dalgası) başlangıcı arasındaki süre), atriyum içi ve atriyumlarda elektromekanik gecikme, P dalga süresi ve Pd (fazla iken minimum P dalga süresi daha düşüktü (sirasıyla 86.5 ± 11.9 vs 93.9 ± 13.4 p=0.012, 28.8 ± 7.1 vs 24.2 ± 11.2 p<0.001, 57.3 ± 12.3 vs 49.4 ± 10.1 p=0.002). Atriyumlarda elektromekanik gecikme Pd ile pozitif olarak koreleydi ($r=0.378$, p=0.001).

Bulgular: MetS'li hastalarda atriyal elektromekanik eşleşme, sol lateral mitral annulusta (PALateral) ve septal mitral annulusta kontrol grubuna göre daha uzundu (sirasıyla 81.1 ± 14.1 vs 61.5 ± 8.9 p<0.001 ve 68.3 ± 9.5 vs 58.4 ± 7.9 p=0.044). MetS grubu içinde HT olan ve olmayanlar arasında anlamlı fark yoktu (sirasıyla p=0.505, p=0.585). Atriyumlarda atriyal-Patrial-Patriküspid elektromekanik gecikme MetS grubunda daha uzundu (18.8 ± 12.8 vs 6.1 ± 5.6 p<0.001) ve HT olan ve olmayanlar arasında fark yoktu (p=0.206). MetS hastalarında kontrol grubuna göre maksimal P dalga süresi ve Pd daha fazla iken minimum P dalga süresi daha düşüktü (sirasıyla 86.5 ± 11.9 vs 93.9 ± 13.4 p=0.012, 28.8 ± 7.1 vs 24.2 ± 11.2 p<0.001, 57.3 ± 12.3 vs 49.4 ± 10.1 p=0.002). Atriyumlarda elektromekanik gecikme Pd ile pozitif olarak koreleydi ($r=0.378$, p=0.001).

Sonuçlar: Bu çalışmada MetS'li hastalarda atriyumlarda elektromekanik gecikme ve Pd uzamış olarak bulundu. Atriyumlarda elektromekanik gecikme ile Pd arasında pozitif korelasyon saptandı. Uzamış elektromekanik gecikme ve Pd metabolik sendromlu hastalarda artmış atriyal fibrilasyon riski ile ilişkili olabilir.

Metabolik sendrom ve kontrol grupprenin özellikleri	Kontrol (n=31)	Metabolik Sendrom (n=53)	P degeri
Yaş (yıl)	30.4±6.2	32.6±5.7	
Cinsiyet (erkek)	17	31	0.332
Vücut kitle indeksi (m ²)	25.5±4.6	31.9±5.5	<0.001
Hipertansiyon	0	34	<0.001
Hiperlipidemi	5	26	0.001
Dijabet	9	23	0.013
Makrovisko	6	28	0.002
Total kolesterol (mg/dl)	181.9±39.5	205.6±37.5	0.21
Triglicerid (mg/dl)	105.3±70.4	223.6±132.2	<0.001
HDL (mg/dl)	55±10.1	39.1±6.5	<0.001
LDL (mg/dl)	106.3±30.2	128.4±32.8	0.015
U.LDL (mg/dl)	29.8±15.1	44.3±24.7	<0.001

S-036

Evaluation of atrial conduction time using tissue Doppler echocardiography, and P-wave dispersion in patients with metabolic syndromeHale Yılmaz¹, Nurten Sayar¹, Barış Güngör¹, Ufuk Gürkan¹, Betül Erer¹, Nazmiye Çakmak¹, Dilaver Öz¹, Mehmet Yılmaz², Osman Bolca¹¹Dr. Siyami Ersek Thoracic, and Cardiovascular Surgery Training and Research Hospital, Clinics of Cardiology, İstanbul²Dr. Siyami Ersek Thoracic, and Cardiovascular Surgery Training and Research Hospital, Clinics of Cardiovascular Surgery, İstanbul

S-037

Elektriksel kardiyoversiyon sonrasında atriyal fibrilasyon nüksünü öngörmede sol atrium ve sol atriyal apendiksin doku Doppler görüntüleme parametreleri

Gülsüm Meral Yılmaz, Cemil Gurgun, Kamil Tuluce, Selcen Yakar Tuluce, Oguz Yavuzgil, Cahide Soydas Cinar

Ege Üniversitesi Tip Fakültesi, Kardiyoloji Anabilim Dalı, İzmir

S-037

Tissue Doppler imaging parameters of left atrium and left atrial appendage to predict atrial fibrillation recurrence after electrical cardioversion

Gülsüm Meral Yılmaz, Cemil Gurgun, Kamil Tuluce, Selcen Yakar Tuluce, Oguz Yavuzgil, Cahide Soydas Cinar

Ege University, Faculty of Medicine, Department of Cardiology, Izmir

Purpose: The aim of this study was to detect transthoracic (TTE) and transesophageal (TEE) conventional echocardiographic and tissue Doppler imaging (TDI) parameters of the left atrium (LA) and the left atrial appendage (LAA) associated with atrial fibrillation (AF) recurrence.

Methods: The study population included 27 consecutive patients (mean age 61.59 ± 10.88 years, 70.4% men) with persistent AF, submitted to successful electrical cardioversion (CV). Patients with valvular diseases, ischemic heart disease, cardiomyopathies and hyperthyroidism were excluded. Additional to standard TTE measurements; mean peak velocities of atrial contraction were measured from basal, mid and superior segments of the lateral, septal, posterior and anterior walls of LA by using TDI. Flow and contraction velocities of LAA were assessed by TEE. Five different points of LAA walls were studied by TDI: basal and mid portions of both septal and lateral LAA walls and the tip of LAA. Upward emptying (D2) and downward filling (D3) velocities were recorded. After successful CV any drug that could affect restoration of sinus rhythm (SR) was not initiated. Patients' electrocardiograms were evaluated at the end of first, third and sixth months.

Results: Recurrence of AF was documented in 14 patients (51.9%) at the end of the sixth month. When patients with recurrence of AF were compared with patients who maintained SR at six months, patients with AF recurrence had significantly longer AF duration (136.29 ± 135.51 days versus 43.92 ± 41.66 days, respectively, $p = 0.04$). The area under the ROC curve was used to show cut-off values, sensitivity and specificity of echocardiographic predictors especially TDI parameters of AF recurrence at six months (Table-1).

Conclusions: TDI parameters of LA and LAA are independent predictors of AF recurrence at six months in subjects with AF submitted to successful electrical CV. Detection of these variables might give us chance to better evaluate these patients for continuing antiarrhythmic or anticoagulation therapy.

Table 1. Tissue Doppler imaging parameters associated with AF recurrence

Echocardiographic parameters	Area under ROC curve (95% CI)	Cut-off values (cm/s)	P values	Sensitivity(%)	Specificity(%)
LA basal anterior wall E' velocity	0.766 (0.58-0.94)	12.40	0.019	71	70
LA basal septal wall E' velocity	0.745 (0.54-0.94)	9.67	0.031	78	70
LAA mid septal wall D2 velocity	0.769 (0.53-0.94)	11.05	0.017	64	62
LAA basal septal wall D3 velocity	0.742 (0.53-0.94)	13.50	0.033	92	62

S-038

Takayasu arteriti olan hastalarda aortik gerilim, esneklik, sertlik ve karotis sertlik parametrelerinin değerlendirilmesi

Emrah Özdemir¹, Selen Yurdakul², Özlem Yıldırımtürk², Yelda Tayyareci², Saide Aytékin²

¹Istanbul Bilim Üniversitesi Florence Nightingale Hast. Kardiyoloji Anabilim Dalı, İstanbul

²Florence Nightingale Hast. Kardiyoloji Bölümü, İstanbul

Giriş-Amaç: Takayasu arteriti, aort ve büyük dallarını tutan kronik inflamatuvar bir hastalıktır. Takayasu arteritinde, büyük arterlerin elastik özelliklerinde değişiklikler olduğu bilinmektedir. Çalışmamızdaki amaç, Takayasu arteriti olan hastalarda aortik gerilim, esneklik ve sertlik, aynı zamanda karotis arter sertlik parametrelerinin değerlendirilmesidir.

Yöntem: Çalışmaya Takayasu arteriti tanısı konmuş olan 20 hasta (ortalama yaşı: 34.75 ± 7.93 ve % 75 kadın, % 25 erkek) ve 15 sağlıklı kontrol (ortalama yaşı: 33.85 ± 7.01 ve % 73 kadın, % 27 erkek) dahil edildi. Transtorasik ekokardiyografide asandon aorta çapları ve aortik elastisite parametreleri ölçüldü. Aynı zamanda, karotis arter Doppler ultrasonografisi ile, sağ ve sol ana karotis arterlerden, karotis sertlik indeksi hesaplandı ve ortalaması alındı.

Bulgular: Takayasu arteriti olan hastalarda, sağlıklı kontrol grubuna göre, aortik sertlik artmış (8.81 ± 5.09 ; 2.3 ± 1.4 , $p=0.0001$), aortik gerilim (4.75 ± 3.04 ; 14.42 ± 5.46 , $p=0.0001$) ve aortik elastikiyet (0.85 ± 0.52 ; 1.26 ± 0.52 , $p=0.03$) ise anlamlı olarak azalmış bulundu. Aynı hasta grubunda karotis arter sertlik indeksinin ise belirgin olarak artmış olduğu (5.38 ± 2.56 ; 1.74 ± 0.63 , $p=0.0001$).

Sonuç: Takayasu arteriti olan hastalarda, büyük arterlerde, kromik inflamasyona bağlı olarak elastikiyet kaybı ve sertlikte artış gözlemlenmiştir. Aort ve karotis arterlerde esneklik kaybı ve sertlik artışıından, Takayasu arteritindeki vasküler hasar sorumlu tutulabilir.

S-038

Evaluation of parameters of aortic strain, elasticity, stiffness, and carotid stiffness in patients with Takayasu arteritis

Emrah Özdemir¹, Selen Yurdakul², Özlem Yıldırımtürk², Yelda Tayyareci², Saide Aytékin²

¹Istanbul Bilim University, Florence Nightingale Hospital, Department of Cardiology, İstanbul

²Florence Nightingale Hospital Division of Cardiology, İstanbul

Behçet hastalarında pulmoner arter sertliğinin transtorasik ekokardiyografi ile değerlendirilmesi ve pulmoner arter anevrizması erken tamsındaki yerî

Mustafa Gökhân Vural¹, Hayriye Şahinli², Harun Kılıç¹, Ekrem Yeter¹, Göksal Keskin², Ramazan Akdemir³

¹Ankara SB Dışkapı Yıldırım Beyazıt Eğitim ve Araştırma Hastanesi, Kardiyoloji Kliniği, Ankara

²Ankara SB Dışkapı Yıldırım Beyazıt Eğitim ve Araştırma Hastanesi, Dahiliye Kliniği, Ankara

³Sakarya Üniversitesi Tıp Fakültesi Kardiyoloji Anabilim Dalı, Sakarya

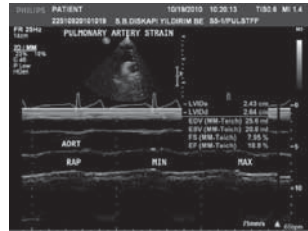
Amaç: Behçet Hastalığında pulmoner tutulumu erken dönemde tespit edebilmek için pulmoner arter sertliğinin hesaplanması

Giriş: Behçet Hastalığı her boyda arter ve venleri etkileyen sistemik bir vaskülitidir. Arteriyal tutulum en sık anevrizma olusunu şeklinde gözlenir ve en sık aortta, takiben pulmoner arterlerde gelisir ve en önemli mortalite nedenlerindendir. Arteriyal sertlik damar duvarının viskoelastik özelliklerini anlamak için kullanılan bir terimidir. Damar duvarında elastik doku kaybindan kaynaklı ve artmış ardutık ile ilişkilidir.

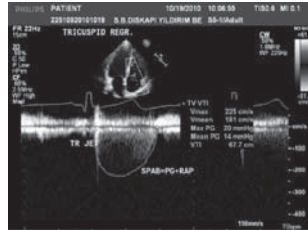
Özet: Hastalığın aktif döneminde olmayan ve tedavi altında olan 29 hasta (18 kadın, 11 erkek, yaş ortalaması 38.1±8.3) ve 29 yaş ve cinsiyet olarak eşleştirilmiş sağlıklı gönüllü (18 kadın, 11 erkek, yaş ortalaması 38.7±7.9) çalışmaya dahil edildi. Pulmoner arter elastitesi; strain, beta indeksi ve distensibilite daha önce belirlenen yöntemlere göre hesaplandı. Tüm ekokardiyografik değerlendirme senkronize EKG esliğinde yapıldı. Suprasternal çentikten sağ pulmoner arter tespit edildi. En geniş ve en dar çapları belirlendi ve daha önce belirtilen formüller kullanılarak pulmoner arter strain hesaplandı. Parasternal kısa aks görüntüte pulmoner kapak yetmezlik akımı üzerinden diastolik pulmoner arter basincı, apikal 4 boşluk görüntüsündeki triküspit kapak yetmezliği akımı üzerinden sistolik pulmoner arter basincı hesaplandı ve sertlik ve distensibilite hesaplandı.

Bulgular: Behçet Hastaları ve kontrol grubu arasında yaş ortalamaları ve cinsiyet yönünden anlamlı bir fark yoktu. Kontrol grubuna göre Behçet hastalarında dPAB ve sPAB daha yüksekti (sırası ile, $p<0.001$; $p=0.05$). Kontrol grubuna göre Behçet hastalarında en geniş çap, en dar çap ve betta indeksi daha yüksek; strain ve distensibilite daha düşük bulundu (sırası ile, $p<0.001$; $p<0.001$; $p=0.022$; $p<0.001$; $p<0.001$). Tüm Behçet hastalarında, en geniş ve en dar pulmoner arter çapları ile strain arasında negatif korelasyon bulundu (sırası ile, $r=-0.675$ ve $p<0.001$; $r=-0.705$ ve $p<0.001$; $r=-0.375$ ve $p=0.011$). sPAB ile betta indeksi arasında pozitif korelasyon bulundu ($r=0.479$ ve $p=0.002$). Behçet hastalarında sürekli değişkenlerden PA en geniş çapı PA strain arasında ($r=0.485$ ve $p=0.010$); dPAB ve PA en geniş çapı ile PA distensibilitesi arasında ($r=0.658$ ve $p<0.001$; $r=0.444$ ve $p=0.026$); dPAB ve PA en geniş çapı ile PA betta indeksi arasında anamli korelasyon vardı ($r=0.687$ ve $p<0.001$; $r=-0.615$ ve $p=0.003$).

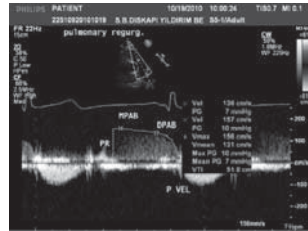
Tartışma: Çalışmamızda Behçet hastalarında pulmoner arter sertliğinin arttığını tespit ettik. Artmış pulmoner arter sertliği anevrizma oluşumuya ilgili olabilir. Çünkü pulmoner arter anevrizmanın patolojisinde vaso vasorum infiltrasyonu, elastik laminadaki dejeneratif değişikliklerin yol açtığı intimal kalınlaşma, trombotik oklüzyonlar ve rekanalizasyon vardır. Artmış pulmoner arter sertliği pulmoner arter anevrizmasının erken tamsında kullanılabilir.



Resim 1. Sağ pulmoner arterin suprasternal pencereye tespit edilmesi.



Resim 2. dPAB'in parasternal kısa aksta pulmoner kapak yetmezliği akımı üzerinde belirlenmesi.



Resim 3. sPAB'ın apikal 4 boşluktan triküspit kapak yetmezliği akımı üzerinde belirlenmesi.

Değişken	Kontrol grubu	Hasta grubu	p-değeri
Yaş	38.7±7.9	38.1±8.3	Önemsiz
Cinsiyet			Önemsiz
Kadın, %	18 (62)	18 (62)	
Erkek, %	11 (38)	11 (38)	
Beden Kitle İndeksi, kg/m ²	28.9±3.3	29.8±3.8	Önemsiz
Hastalık süresi, yıl	-	4.5 (0.6-23)	-
Hipertansiyon, %	2 (6)	2 (6)	Önemsiz
Diabetes Mellitus, %	0 (0)	1 (3)	Önemsiz
Hiperlipidemi, %	5 (17)	7 (24)	Önemsiz
Sigara içiciliği, %	5 (17)	7 (24)	Önemsiz
Hs-CRP, mg/dL	1.3±0.4	1.6±0.5	Önemsiz
Total Kolesterol	179±45.1	183±51	Önemsiz
Kardiyovasküler ilaç kullanımı, % (13)	6 (20)	6 (20)	Önemsiz

Hastaların bazal özelliklerinin kıyaslanması

Değişkenler	Kontrol grubu	Hasta grubu	p-değeri
dPAB, mmHg	10.2±1.1	16.5±3.1	<0.001
sPAB, mmHg	28.6±6.9	32.2±5.1	0.05
PA en dar çapı, cm	1.7±0.2	2.3±0.2	<0.001
PA en geniş çapı, cm	2.1±0.3	2.5±0.2	<0.001
PA strain, %	21.5±1.7	9.4±4.5	<0.001
PA distensibilitesi, cm ² /dyn-1	2.7±1.1	1.6±0.9	<0.001
PA betta indeksi	4.8±1.3	10.3±11.2	0.022

Ekokardiyografik ölçümelerin hasta ve kontrol grubu arasında kıyaslanması

Evaluation of pulmonary artery stiffness by transthoracic echocardiography, and its role in the early diagnosis of pulmonary artery aneurysm in patients with Behçet's disease

Mustafa Gökhân Vural¹, Hayriye Şahinli², Harun Kılıç¹, Ekrem Yeter¹, Göksal Keskin², Ramazan Akdemir³

¹Ankara SB Dışkapı Yıldırım Beyazıt Training and Research Hospital, Clinics of Cardiology, Ankara

²Ankara SB Dışkapı Yıldırım Beyazıt Training and Research Hospital, Clinics of Internal Medicine, Ankara

³Sakarya University, Faculty of Medicine, Department of Cardiology Sakarya

S-040

Bilinen koroner arter hastalığı olmayan hypertansif hastalarda “dipper” ve “nondipper” hipertansiyon tipleri ile aortik gerilim, esneklik ve sertlik ve karotis intima media kalınlığı parametrelerinin ilişkisinin incelenmesi

Emrah Özdemir¹, Selen Yurdakul², Özlem Yıldırımtürk², Yelda Tayyareci², Vedat Aytékin², Saide Aytékin²

¹Istanbul Bilim Üniversitesi Florence Nightingale Hast. Kardiyoloji Anabilim Dalı, İstanbul

²Florence Nightingale Hastanesi Kardiyoloji Bölümü, İstanbul

Giriş-Amac: Hipertansiyon (HT) diurnal ritimi ile kardiyovasküler hastalıklar arasındaki ilişki bilinmemektedir. Birçok çalışmada, nokturnal kan basıncı düşüklüğü olmayan “nondipper” hipertansiyonlu hastalarda, sempatik aktivitedeki yetersiz azalmaya bağlı olarak, vasküler sisteme hasar oluşubildiği belirtilmektedir. Çalıştığımızda amaç, bilinen koroner arter hastalığı (KAH) olmayan hypertansif hastalarda, “dipper” ve “nondipper” HT tipi ile; aortik gerilim, esneklik ve sertlik, karotis intima media kalınlığı (KİMK) ve diastolik fonksiyon bozukluğu parametreleri arasındaki ilişkinin değerlendirilmesidir.

Yöntem: Çalışmaya, bilinen KAH olmayan ve HT tanısı olan, 30 ve 70 yaş arasında, % 68.6’sı erkek, % 31.4’ü kadın olmak üzere toplam 54 hasta dahil edildi. Tüm hastalar, ambulatuvar kan basıncı takibi sonrası “dipper” ve “nondipper” HT olarak ayrıldı. Transtorasik ekokardiyografik incelemede sol ventrikül (SV) sistolik ve diastolik fonksiyonları, konvansiyonel ekokardiografik parametreler ve doku Doppler parametreleri kullanılarak değerlendirildi. Transtorasik ekokardiyografide asandan aorta çaplarından yola çıkararak, aortik elastisite parametreleri ölçüldü. Brakial arter Doppler ultrasongrafisi kullanılarak KİMK ölçümleri yapıldı.

Bulgular: “Dipper” ve “nondipper” HT hastaları arasında, konvansiyonel ve doku Doppler parametreleri açısından anlamlı fark saptanmadı. “Nondipper” HT grubunda, “dipper” HT grubuna göre, aortik sertlik artmış (7.47 ± 5.09 ; 4.04 ± 2.80 , $p=0.005$), aortik gerilim (4.18 ± 2.37 ; 7.52 ± 5.08 , $p=0.005$) ve aortik elastiğet (1.73 ± 1.12 ; 3.10 ± 2.62 , $p=0.024$) ise belirgin olarak azalmış bulunmuştur. Aynı hasta grubunda KİMK anımları olarak artmış olarak saptandı ($p=0.013$). Hastaların ortalaması kan basıncı değerleri ile KİMK arasında pozitif yönde anlamlı korelasyon saptandı ($r=0.301$, $p=0.02$). Ayrıca, tüm hasta grubunun SV kitle indeksi ile ortalama kan basıncı arasında, pozitif yönde anlamlı korelasyon saptandı ($r=0.279$, $p=0.04$).

Sonuç: “Nondipper” HT hastalarında, aortik elastisite parametrelerindeki belirgin bozulma ve KİMK artışı, bu hastalardaki vasküler hasarın bir göstergesi olarak kabul edilebilir.

S-040

Examination of the correlation between types of hypertension, and parameters of aortic strain, elasticity, stiffness, and carotid intima-media thickness in patients with dipper, and non-dipper hypertension

Emrah Özdemir¹, Selen Yurdakul², Özlem Yıldırımtürk², Yelda Tayyareci², Vedat Aytékin², Saide Aytékin²

¹Istanbul Bilim University, Florence Nightingale Hospital, Department of Cardiology, İstanbul

²Florence Nightingale Hospital Division of Cardiology, İstanbul

S-041

Kronik greft-konakçı hastalarında aortun esneklik özelliklerinde bozulma

Orhan Doğdu¹, Mehmet Güngör Kaya², Mikail Yarlıoğlu², Ali Doğan², İdris Ardiç², Deniz Elçik², Nihat Kalay², Leylagül Kaynar³, Fatih Kurnaz³, Namık Kemal Eryol²

¹Yozgat Devlet Hastanesi

²Erciyes Üniversitesi Tıp Fakültesi, Kardiyoloji Bilim Dalı, Kayseri

³Erciyes Üniversitesi Tıp Fakültesi, Hematoloji Bilim Dalı, Kayseri

S-041

Impaired aortic elastic properties in patients with chronic graft-versus-host disease

Orhan Doğdu¹, Mehmet Güngör Kaya², Mikail Yarlıoğlu², Ali Doğan², İdris Ardiç², Deniz Elçik², Nihat Kalay², Leylagül Kaynar³, Fatih Kurnaz³, Namık Kemal Eryol²

¹Yozgat State Hospital

²Erciyes University, Faculty of Medicine, Department of Cardiology, Kayseri

³Erciyes University, Faculty of Medicine, Department of Hematology, Kayseri

Objectives: Graft-versus-host disease (GVHD), which develops as a result of the immunologic response that donor T-lymphocytes generate against host tissue following hematopoietic stem cell transplantation (HSCT), is the leading cause of morbidity and mortality in these patients. The aim of this study is to investigate the relation between aortic wall stiffness and duration of the disease in patients with chronic GVHD.

Methods: The study population included 32 patients (18 men; mean age, 36.9 ± 12.5 years, and mean disease duration = 14.7 ± 2.9 months) who received HSCT and was diagnosed with graft-versus-host disease and 44 patients (23 men; mean age, 35.2 ± 9.6 years, and mean disease duration = 13.5 ± 2.4 months) who did not develop graft-versus-host disease following HSCT. All patients underwent baseline echocardiographic examination prior to HSCT and were followed. After approximately 10-14 months following HSCT, these patients were divided into two groups based on whether or not they had developed chronic GVHD, and were compared to aortic stiffness parameters and cardiac functions.

Results: There was no change in basal characteristics, laboratory and echocardiographic findings, and aortic stiffness parameters in both groups before HSCT ($p>0.05$). After HSCT, however, aortic stiffness parameters were significantly impaired in the group of patients who developed GVHD compared to those who did not. Also, mean left ventricular mass was 155.1 ± 22.3 g in the GVHD group and 131.8 ± 12.9 g in the non-GVHD group ($p<0.001$).

Conclusion: Aortic stiffness measurements were found to be abnormal in patients with chronic GVHD. This study suggests that aortic stiffness measurement could be used for early recognition of endothelial dysfunction and assessment of cardiovascular risk in chronic GVHD patients, and that only continuous long-term disease control may be helpful in reducing the cardiovascular risk associated with chronic GVHD.

S-042

Takayasu arteriti olan hastalarda karotis arterlerin mekanik özelliklerinin hız- vektör görüntüleme yöntemi ile değerlendirilmesi

Selen Yurdakul¹, Fatma Alibaz Öner², Yelda Tayyareci¹, Burçak Kılıçkıran Avcı¹, Haner Direskeneli², Saide Aytekin¹

¹Florence Nightingale Hast. Kardiyoloji Bölümü, İstanbul

²Marmara Üniversitesi Tip Fakültesi Romatoloji Anabilim Dalı, İstanbul

Giriş-Amac: Takayasu arteriti, aort ve büyük dalların tutan kronik inflamatuv bir hastaluktur. Takayasu arteritinde, arterlerin elastikitelinde azalma ve mekanik özelliklerinde değişiklikler olduğu bilinmektedir. Çalışmamızdaki amaç, Takayasu arteriti olan hastalarda, karotis arterlerin bölgelik hareket özelliklerinin, yeni bir "strain" inceleme yöntemi olan, "Hız Vektör Görüntüleme" metodu ile değerlendirilmesidir.

Yöntem: Çalışmaya Takayasu arteriti tanısı konmuş olan 20 hasta (ortalama yaşı: 34.75 ± 7.93 ve % 75 kadın, % 25 erkek) ve 15 sağlıklı kontrol (ortalama yaşı: 33.85 ± 7.01 ve % 73 kadın, % 27 erkek) dahil edildi. Sağ ve sol ana karotis arterlerden, uzun aks ve kısa aks görüntülerinden, zirve akım hızı, strain, strain rate, toplam longitudinal yer değiştirmeye ve zirve radiyal akım hızına kadar olan zaman hesaplamaları yapıldı ve her iki ana karotis arterdeki sonuçların ortalaması alındı.

Bulgular: Takayasu arteriti olan hastalarda, karotis arterlere ait longitudinalina "strain" ve "strain rate" değerleri, Takayasu arteriti olan hastalarda, kontrol grubuna göre anamli olarak azalmış bulundu (Strain için: % 1.09 ± 0.26 , % 5.9 ± 0.74 , $p=0.011$; Strain rate için: 0.23 ± 0.11 , 0.45 ± 0.32 , $p=0.008$). Hasta ve kontrol grupları arasında toplam longitudinal yer değiştirmeye açısından anamli bir fark gözlenmedi ($p=0.13$). Radiyal zirve akım hızı, hasta grubundan belirgin olarak azalmış iken, (0.11 ± 0.02 cm/s, 0.23 ± 0.1 cm/s, $p=0.02$), zirve radiyal akım hızına olan zaman, Takayasu arteriti olan grupta, sağlıklı gruba göre, anamli olarak artmış bulundu. (208 ± 49 ms, 139 ± 40 ms, $p=0.0001$)

Sonuç: Takayasu arteriti olan hastalarda, vasküler tutuluma bağlı olarak, büyük arterlerin mekanik özelliklerinde değişimi görülmektedir. "Hız Vektör Görüntüleme" metodu, bu hastalarda, karotis arterlerdeki duvar hareketlerinin değerlendirilmesinde kullanılabileen yeni bir "strain" inceleme yöntemidir.

S-043

Takayasu arteriti olan hastalarda endotel fonksiyonlarının ve karotis intima media kalınlığının değerlendirilmesi

Selen Yurdakul¹, Fatma Alibaz Öner², Yelda Tayyareci¹, Burçak Kılıçkıran Avcı¹, Haner Direskeneli², Saide Aytekin¹

¹Florence Nightingale Hastanesi Kardiyoloji Bölümü, İstanbul

²Marmara Üniversitesi Tip Fakültesi Romatoloji Anabilim Dalı, İstanbul

Giriş-Amac: Takayasu arteriti, büyük arterlerin granülomatöz tutulumu ile karakterize, idiyopatik, kronik inflamatuv bir hastaluktur. Bu hastalardaki kronik inflamasyon vasküler hasara neden olmaktadır. Çalışmamızın amacı, Takayasu arteriti olan hastalarda, endotel fonksiyonlarının brakiyal arter ultrasonografisi (USG) ve karotis intima media kalınlığı ölçümü (KİMK) yapılarak değerlendirilmesidir.

Yöntem: Çalışmaya Takayasu arteriti tanısı konmuş olan 20 hasta (ortalama yaşı: 34.75 ± 7.93 ve % 75 kadın, % 25 erkek) ve 15 sağlıklı kontrol (ortalama yaşı: 33.85 ± 7.01 ve % 73 kadın, % 27 erkek) dahil edildi. Brakiyal arter akım aracılık dilatasyon (FMD) ve nitratla indüklənmiş dilatasyon (NID) değerlendirmeleri yapıldı. Aynı zamanda, sağ ve sol ana karotis arterlerden KİMK ölçümü yapıldı.

Bulgular: Hasta ve kontrol gruplarında basal brakiyal arter çapı değerleri benzer idi. Hasta grubunda % FMD değerlerinin ve % NID değerlerinin kontrol grubuna göre anamli olarak düşük olduğu görüldü (Tablo 1). Ortalama KİMK kalınlığı değerlerinin hasta grubundan kontrol grubuna göre anamli derecede artmış olduğu gözlandı. (0.11 ± 0.02 cm; 0.06 ± 0.01 cm, $p=0.0001$).

Sonuçlar: Literatürdeki çalışmalarında, Takayasu arteriti endotel fonksiyonlarının bozulabileceği bildirilmiştir. Çalışmamızda, kardiyovasküler risk faktörü ve bilinen koroner arter hastalığı olmayan Takayasu arteriti olan kişilerde, vasküler hasarın varlığı, brakiyal arter Doppler ultrasonografisi ve KİMK ölçümü ile gösterilmiştir.

Takayasu arteriti olan hastalarda endotel fonksiyonları

	Bazal çap (cm)	% FMD	% NID
Hasta grubu (N=20)	2.8 ± 0.5	6.51 ± 3.9	11.61 ± 3
Kontrol grubu (N=15)	2.9 ± 0.3	15.6 ± 2.13	16.07 ± 2.36
p değeri	0.67	0.0001	0.04

S-042

Evaluation of the mechanical features of carotid arteries using velocity-vector imaging method in patients with Takayasu arteritis

Selen Yurdakul¹, Fatma Alibaz Öner², Yelda Tayyareci¹, Burçak Kılıçkıran Avcı¹, Haner Direskeneli², Saide Aytekin¹

¹Florence Nightingale Hospital, Division of Cardiology, İstanbul

²Marmara University Faculty of Medicine, Department of Rheumatology, İstanbul

S-043

Evaluation of endothelial functions, and carotid intima-media Thickness in patients with Takayasu arteritis

Selen Yurdakul¹, Fatma Alibaz Öner², Yelda Tayyareci¹, Burçak Kılıçkıran Avcı¹, Haner Direskeneli², Saide Aytekin¹

¹Florence Nightingale Hospital, Division of Cardiology, İstanbul

²Marmara University Faculty of Medicine, Department of Rheumatology, İstanbul

S-044

Behcet hastalarında subklinik ventrikül sistolik fonksiyonlarının hız vektör inceleme yöntemi ile değerlendirilmesi

Selen Yurdakul¹, Vefa Aslı Erdemir², Yelda Tayyareci¹, Özlem Yıldırımtürk¹, Kadriye Memiç³, Mehmet Salih Gürel¹, Saide Aytékin¹

¹Florence Nightingale Hastanesi Kardiyoloji Bölümü, İstanbul

²S.B. İstanbul Eğitim ve Araştırma Hastanesi Dermatoloji Kliniği, İstanbul

³İstanbul Bilim Üniversitesi Florence Nightingale Hastanesi Kardiyoloji Anabilim Dalı, İstanbul

Giriş-Amaç: Behcet hastalığı, multisistemik tutulumun görüldüğü kronik inflamatuvur bir hastalıktır. Behcet hastalığında kardiyak tutulum görülmektedir. Çalışmamızın amacı, normal ejeksiyon fraksiyonlu, asemptomatik Behcet hastalarının sağ ve sol ventrikül sistolik fonksiyonlarının konvansiyonel ekokardiyografik yöntemler, doku Doppler kaynaklı parametreler ve yeni bir strain görünütleme yöntemi olan Hız Vektör Görüntüleme (HVG) kullanılarak değerlendirilmesidir.

Yöntem: Çalışmaya Behcet hastalığı tanısı konmuş olan 50 hasta (ortalama yaşı: 43,8±9,7 ve % 51 kadın, % 59 erkek) ve 20 sağlıklı kontrol 45,4±8,2 yaş ve % 40 kadın, % 60 erkek) dahil edildi. Sol ventrikül (SV) ve sağ ventrikül (SaV) sistolik fonksiyonları, konvansiyonel ekokardiyografik yöntemler, doku Doppler inceleme ve HVG görüntüleme yöntemleri ile incelendi. Doku Doppler miyokardiyal sistolik hız parametreleri olan izovolumlik miyokardiyal akcelerasyon zamanı (IVA), izovolumlik kasılma sırasında zirve miyokard hızı (IVV), zirve sistolik akım (Sa) ve miyokardiyal performans indeksi (MPI) incelemeleri yapıldı.

Bulgular: Behcet hastalarında, doku Doppler kaynaklı hız parametreleri olan SV İVA, İVV degerinin kontrol grubuna göre anlamlı olarak azalmış olduğu, MPI değerinin ise anlamlı olarak artmış olduğu görüldü. Sağ ventrikül İVA, Sa ve İVV değerlerinin kontrol grubuna göre anlamlı olarak azalmış olduğu saptandı (Tablo-1). Sol ventrikül longitudinal zirve sistolik strain (S) ve strain rate (SR) değerlerinde kontrol grubuna göre anlamlı olarak azalma görüldü (S için: 14,36±4,30, 23,98±3,17, p=0,0001; SR için: 0,74±0,33, 1,52±0,18, p=0,0001). Sağ ventrikül S ve SR değerlerinde de benzer şekilde kontrol grubuna göre anlamlı olarak azalma saptandı (S için 16,14±6,43, 31,38±2,55, p=0,0001; SR için: 0,58±0,31, 1,97±0,13, p=0,0001).

Behcet hastalarının doku Doppler parametreleri			
	Hasta N=50	Kontrol N=20	p değeri
SV Sa (m/s)	0,11±0,01	0,12±0,01	0,45
SV İVA (m/s ²)	2,22±0,61	3,66±0,25	0,0001
SV İVV (m/s)	0,10±0,01	0,12±0,01	0,0001
SV MPI	0,43±0,09	0,27±0,04	0,0001
SaV Sa (m/s)	0,11±0,02	0,19±0,01	0,0001
SaV İVA (m/s ²)	2,36±0,57	3,25±0,27	0,0001
SaV İVV (m/s)	0,12±0,02	0,15±0,02	0,0001

Sonuç: Behcet hastalarında SV ve SaV sistolik fonksiyonları, subklinik düzeyde bozulmaktadır. Sistolik fonksiyon bozukluğunun yeni ekokardiyografik strain görünütleme yöntemleri ile saptanması, bu hastaların kardiyak yönden takipleri açısından önem taşımaktadır.

S-045

Speckle-tracking ekokardiyografisi ile gebe kadınlarda miyokart fonksiyonlarının değerlendirilmesi

Hasan Arı, Selma Arı, Mustafa Yılmaz, Tahsin Bozat

Bursa Yüksek İhtisas Hastanesi Kardiyoloji Kliniği, Bursa

S-044

Evaluation of subclinical ventricular systolic functions in patients with Behcet's disease using velocity-vector examination method

Selen Yurdakul¹, Vefa Aslı Erdemir², Yelda Tayyareci¹, Özlem Yıldırımtürk¹, Kadriye Memiç³, Mehmet Salih Gürel¹, Saide Aytékin¹

¹Florence Nightingale Hospital, Division of Cardiology, İstanbul

²Ministry of Health, Istanbul Training and Research Hospital, Clinics of Dermatology, İstanbul

³İstanbul Bilim University, Florence Nightingale Hospital, Department of Cardiology, İstanbul

S-045

Evaluation of myocardial functions in pregnant patients with speckle-tracking echocardiography

Hasan Arı, Selma Arı, Mustafa Yılmaz, Tahsin Bozat

Higher Specialization Hospital, Clinics of Cardiology, Bursa

Purpose: The aim of this study was to evaluate with speckle-tracking echocardiography the effects of the first, second and third trimesters of pregnancy on cardiac functions.

Methods: Between May 2007 and January 2008, 105 voluntary pregnant and 35 healthy women of reproductive age were included in this study. Echocardiographic records were taken. For standard echocardiographic evaluations, 111 highest-quality images were chosen: 24 cases where in their first trimesters (between weeks 7 and 11 of pregnancy), 31 cases in the second trimesters (between weeks 20 and 24), 32 cases in the third trimesters (between weeks 32 and 36) and 24 healthy women as a control group. Longitudinal, radial, circumferential and rotational mechanics of the left ventricle (LV) were quantified by two-dimensional speckle tracking of B-mode echocardiography visualizations.

Results: During pregnancy, the diameter of the left atrium ($p<0,05$) and the mass of the left ventricle (LV) increased ($p<0,05$) beginning in the first trimester. The typical parameters of pulse-Doppler and tissue Doppler imaging were more prominent in the first and second trimesters ($p<0,05$), whereas in the third trimester they resembled to control levels ($p>0,05$). In pregnant women, an increase occurred in the radial strain rate A1 velocity ($p<0,05$), but circular strain and strain rate decreased ($p<0,05$). The two- and four-chamber longitudinal strains and strain rates decreased ($p<0,05$) in the third trimester. With the evolution of the pregnancy, while there was an increase in the left ventricle rotation ($p<0,05$), torsion ($p<0,05$) and rotation rate ($p<0,05$), with time the rotation rate gradually decreased ($p<0,05$) (Figure 1).

Conclusion: Speckle-tracking echocardiography may be used to evaluate the effects of pregnancy on cardiac functions.

Figure 1. Evaluation of the left ventricle rotation with Speckle Tracking.

	1st Trimester	2nd Trimester	3rd Trimester	Control	P Value
Basal Maximum Rotation (degree)	-8,71±1,73	-6,20±2,06	-10,09±2,77	-8,12±2,19	3,91 0,01
Basal Maximum Rotation (degree)	11,76±2,40	12,73±4,20	13,94±2,94	14,00±3,99	7,46 <0,001
Maximum Left Ventricle Torsion (degree/mm)	2,72±0,50	2,78±0,88	3,48±0,71	3,09±0,78	8,83 0,002
Basal Rotation Rate (deg/min)	31,55±6,28	30,78±8,29	36,57±10,29	30,09±11,11	2,62 0,05
Axial Rotation Rate (deg/min)	42,58±9,08	47,13±16,47	58,31±12,03	49,79±18,12	3,11 0,03
Basal Rotated Rotation Rate (deg/min)	42,88±13,03	33,71±8,47	35,29±7,34	34,07±12,88	4,16 0,008
Axial Rotated Rotation Rate (deg/min)	49,47±16,44	51,78±16,91	49,06±12,88	56,39±22,39	3,54 0,01

S-046

Normal ejeksiyon fraksiyonlu orta-ciddi aort stenozunda sol ventrikül sistolik fonksiyonlarının hız vektör görüntüleme yöntemi ile değerlendirilmesi ve sol ventrikül geometrisi ile ilişkisinin belirlenmesi

Selen Yurdakul, Yelda Tayyareci, Özlem Yıldırımtürk, Meryem Azra Tanrıkuş, Saide Aytékin

Florence Nightingale Hastanesi Kardiyoloji Bölümü, İstanbul

Giriş-Amac: Aort stenozunda (AS), sol ventrikül (SV) ardyükündeki artış, SV geometrisinde değişikliklere neden olmakta ve SV ejeksiyon fraksiyonu (EF) korumaktadır. Çalışmamızın amacı, orta-ciddi AS olan hastalarda, SV longitudinal fonksiyonlarındaki bozulmanın, yeni bir "strain" görüntüleme teknigi olan Hız Vektör Görüntüleme (HVG) yöntemi ile belirlenmesi ve SV geometrisindeki bozulma ile ilişkisinin değerlendirilmesidir.

Yöntem: Çalışmaya orta-ciddi AS olan 40 hasta (ortalama yaşı: 72,08±11,14 ve % 37 kadın, % 63 erkek) ve 30 sağlıklı kontrol (ortalama yaşı: 68,08±9,4 ve % 36 kadın, % 64 erkek) dahil edildi. SV fonksiyonları, konvansiyonel ekokardiyografik yöntemler ve HVG kaynaklı "strain" görüntüleme yöntemleri ile incelendi.

Bulgular: Ortça-ciddi AS olan hastalarda, SV longitudinal zirve sistolik strain (S) ve strain rate (SR) değerlerinde kontrol grubuna göre anlamlı azalma olduğu görüldü. (Strain: 12,95±0,44; 23,73±0,34, p=0,0001; Strain rate: 0,43±0,20; 4,94±0,55, p=0,0001). Hasta grubunda SV strain ve strain rate değerleri ile, SV kitle indeksi (KI) arasında, negatif yönde, anlamlı korelasyon saptandı. (Strain için: r=-0,645, p=0,0001; strain rate için: r=-0,537, p=0,0001). SV deformasyon indeksleri ile SV göreceli duvar kalınlığı arasında da negatif yönde, anlamlı ilişki bulundu. (Strain için: r=-0,638, p=0,0001; strain rate için: r=-0,595, p=0,0001).

Sonuç: Sol ventrikül EF normal olan orta-ciddi AS hastalarında SV sistolik fonksiyonları, subklinik dönemde bozulmaktadır. Yeni ekokardiyografik yöntemler ile saptanan SV sistolik disfonksiyonu, SV geometrisindeki değişiklikler ile ilişkilidir. Bu hastalarda, subklinik SV sistolik fonksiyon bozukluğunun erken tanınması, doğru operasyon zamanının öngörülmesi açısından önem taşımaktadır.

S-047

Yeni tanı hipertansif hastalarda sistolik asenkröninin sol ventrikül fonksiyonlarına etkisi

Abdulkadir Kırış¹, Kayihan Karaman², Gülnur Küçük¹, Müsel Şahin¹, İsmet Durmuş¹, Şahin Kaplan¹, Asım Örem³, Merih Kutlu¹

¹Karadeniz Teknik Üniversitesi Tip Fakültesi Kardiyoloji Anabilim Dalı, Trabzon

²Kahramanmaraş Devlet Hastanesi, Kardiyoloji Kliniği, Kahramanmaraş

³Karadeniz Teknik Üniversitesi Tip Fakültesi Biyokimya Anabilim Dalı, Trabzon

Amaç: Sistolik asenkroni, kardiyak segmentlerdeki kontraksiyonun eş zamanlı olmamasıdır. Kalp yetmezliği ve dilate kardiomiyopati gibi hastalıklarda ventrikül fonksiyonları üzerine olumsuz etkiye sahiptir. Hipertansiyonda, sol ventrikül senkronizasyonu bozulmaktadır, fakat ventrikül fonksiyonları üzerinde etkisi bilinmemektedir. Çalışmamızda, kalp yetmezliği olmayan yeni tanı hipertansif hastalarda, sistolik asenkrönin sol ventrikül fonksiyonlarına etkisini araştırdık.

Yöntem: 48 yeni tanı hipertansif hasta ve 33 sağlıklı gönüllü çalışmaya dahil edildi. Tüm çalışma populasyonuna konvansiyonel ve doku Doppler ekokardiyografik inceleme yapıldı. Sol ventrikül sistolik ve diyalostolik çapları, ejeksiyon fraksiyonu (EF), septum ve arka duvar kalınlıkları, pik erken (E) ve geç (A) transmitral dolu parametreleri, mitral E deseslarasyon zamanı (DT) konvansiyonel ekokardiyografi ile değerlendirildi. Doku Doppler ekokardiyografî ile erken diyalostolik velocities (Em), geç diyalostolik velocities (Am) ve pik sistolik velocities (Sm) ölçültüldü. Ayrıca, izovolumik relaksasyon zamanı, izovolumik kontraksiyon zamanı ve sistol süresi ölçülenek myokard performans (Tei) indeksi hesaplandı. Asenkroni "doku senkroni görüntüleme (DSG)" paket programı ile araştırıldı. Sol ventrikül 6 basal-6 mid segmentten DSG ile "pik sistolik kontraksiyonu ulaşma zamanı (Zs)" ölçüldü ve iki senkroni parametresi hesaplandı: 12 segment pik sistolik kontraksiyon zamanı standart deviasyonu (Zs-12-SD), 12 segment maksimal farkı (Zs-12). Asenkroni teşpitinde Zs-12-SD kullanıldı. Asenkrönin sistolik (Sm), diyalostolik (E/Em) ve global (Tei indeksi) ventrikül fonksiyonuna etkisi çok değişkenli analiz ile değerlendirildi.

Bulgular: Hipertansiyon ve kontrol grupları arasında yaş (ortalama 50,5±8,1 ve 48,4±6,4, p>0,05), cinsiyet (erkek %72,9 ve %84,8, p>0,05) ve sigara kullanım (%31,3 ve % 27,3, p>0,05) açısından fark yoktu. Konvansiyonel ekokardiyografide, sol ventrikül çapları, volumleri ve ejeksiyon fraksiyonu benzerdi. Doppler incelemede Sm, Em, E/A ve Em/Am hipertansif grupta daha düşüktü (srasıyla, 9,7±2,5 ve 11,1±2,4, 11±3,7 ve 13,2±3,1, 0,98±0,22 ve 1,39±0,3, 0,91±0,38 ve 1,1±0,33, p<0,01). Hipertansif grupta iki senkroni parametresi de kontrol grubuna göre atmış bulundu: Zs-12-SD ve Zs-12 (srasıyla, 40,2±21 ve 26,2±13,4, 123,3±61,5 ve 79,8±37,9, p<0,01). Yapılan çok değişkenli analizde, Zs-12-SD, sistolik fonksiyon için bağımsız belirleyici ($\beta=0,29$, p=0,008) olarak bulundu fakat diyalostolik ve global ventrikül fonksiyonunda bağımsız etkisi saptanmadı.

Sonuç: Yeni tanı hipertansif hastalarda sol ventrikül senkronizasyonu bozulmaktadır. Sistolik asenkroni, bu hastalarda sistolik fonksiyonun bağımsız belirleyicilerinden biridir.

S-046

Evaluation of the left ventricular systolic functions with normal ejection fraction in patients with moderate-severe mitral stenosis using velocity-vector imaging technique, and determination of its association with left ventricular geometric configuration

Selen Yurdakul, Yelda Tayyareci, Özlem Yıldırımtürk, Meryem Azra Tanrıkuş, Saide Aytékin

Florence Nightingale Hospital, Division of Cardiology, İstanbul

S-047

The impact of systolic synchrony on left ventricular function in de novo hypertensive patients

Abdulkadir Kırış¹, Kayihan Karaman², Gülnur Küçük¹, Müsel Şahin¹, İsmet Durmuş¹, Şahin Kaplan¹, Asım Örem³, Merih Kutlu¹

¹Karadeniz Technical University, Faculty of Medicine, Department of Cardiology, Trabzon

²Kahramanmaraş State Hospital, Clinics of Cardiology, Kahramanmaraş

³Karadeniz Technical University, Faculty of Medicine, Department of Biochemistry, Trabzon

S-048**Sol ventrikülü basınç yükü mü hacim yükü mü daha olumsuz etkiler? Hız Vektör Görüntüleme çalışması**

Selen Yurdakul, Yelda Tayyareci, Özlem Yıldırımtürk, Saide Aytékin

Florence Nightingale Hastanesi Kardiyoloji Bölümü, İstanbul

Giriş-Amac: Aort stenozu (AS), sol ventrikülde (SV) basınç yükü oluşturarak, aort yetersizliği (AY) ise, SV'de hacim yükünü neden olarak sol ventrikül sistolik fonksiyonlarını bozmaktadır. Çalışmamızın amacı, SV ejeksiyon fraksiyonu (EF) normal sınırlarda olan, orta-ciddi AS ve kronik, orta-ciddi aort yetersizliği (AY) bulunan hastalarda, SV longitudinal fonksiyonlarındaki bozulmanın, yeni bir "strain" görüntüleme tekniği olan Hız Vektör Görüntüleme (HVG) yöntemi ile belirlenmesi ve karşılaştırılmasıdır.

Yöntem: Çalışmaya orta-ciddi AS olan 40 hasta (ortalama yaşı: 72.08 ± 11.14 ve % 37 kadın, % 63 erkek), orta-ciddi AY olan 40 hasta (ortalama yaşı: 67.09 ± 9.5 ve % 36 kadın, % 64 erkek), ve 30 sağlıklı kontrol (68.08 ± 9.4 yaş ve % 36 kadın, % 64 erkek) dahil edildi. SV fonksiyonları, konvansiyonel ekokardiyografik yöntemler ve HVG kaynaklı "strain" görüntüleme yöntemleri ile incelendi.

Bulgular: Orta-ciddi AS olan hastalarda, SV longitudinal zirve sistolik strain (S) ve strain rate (SR) değerlerinde kontrol grubuna göre anlamlı azalma olduğu görüldü. (Strain: 12.95 ± 0.44 , 23.73 ± 0.34 , $p=0.0001$; Strain rate: 0.43 ± 0.20 , 4.94 ± 0.55 , $p=0.0001$). Orta-ciddi AY olan hasta grubunda da, benzer şekilde, SV longitudinal zirve sistolik strain (S) ve strain rate (SR) değerlerinin, kontrol grubuna göre azalmış olduğu saptandı. (Strain: 16.94 ± 1.83 , 23.73 ± 0.34 , $p=0.0001$; Strain rate: 0.87 ± 0.08 , 4.94 ± 0.55 , $p=0.0001$). AS olan hasta grubundaki SV sistolik fonksiyonlarındaki bozulmanın, AY olan hastalara göre anlamlı olarak daha ileri düzeye olduğu görüldü. ($p=0.0001$).

Sonuç: Sol ventrikül EF normal olan orta-ciddi AS ve orta-ciddi AY hastalarında SV sistolik fonksiyonları, subklinik dönemde bozulmaktadır. HVG kaynaklı "strain" görüntüleme ile belirlediğimiz SV sistolik disfonksiyonu, AS olan hastalarda, AY olan hastalara göre, daha belirgindir.

S-048**Does pressure or volume load exert unfavourable effects on the left ventricle? A velocity-vector imaging study**

Selen Yurdakul, Yelda Tayyareci, Özlem Yıldırımtürk, Saide Aytékin

*Florence Nightingale Hospital, Division of Cardiology, İstanbul***S-049****Kök hücre naklinden sonra gelişen greft-konakçı hastalığının kardiyak etkileri**

Orhan Doğdu¹, Ali Doğan², Mehmet Güngör Kaya², İbrahim Özdoğu², Mikail Yarlıoğlu², Nihat Kalay², Mehmet Tuğrul İnanç², İdris Ardiç², Ahmet Çelik², Leylagül Kaynar³, Fatih Kurnaz², Namık Kemal Eryol²

¹*Yozgat Devlet Hastanesi, Yozgat*²*Erciyes Üniversitesi Tıp Fakültesi, Kardiyoloji Bilim Dalı, Kayseri*³*Erciyes Üniversitesi Tıp Fakültesi, Hematoloji Bilim Dalı, Kayseri***S-049****Cardiac effects of chronic graft versus host disease which develops following stem cell transplantation**

Orhan Doğdu¹, Ali Doğan², Mehmet Güngör Kaya², İbrahim Özdoğu², Mikail Yarlıoğlu², Nihat Kalay², Mehmet Tuğrul İnanç², İdris Ardiç², Ahmet Çelik², Leylagül Kaynar³, Fatih Kurnaz², Namık Kemal Eryol²

¹*Yozgat State Hospital, Yozgat*²*Erciyes University School of Medicine Department of Cardiology, Kayseri*³*Erciyes University Faculty of Medicine, Department of Hematology, Kayseri*

Objective: Graft-versus-host disease (GVHD), which develops as a result of the immunologic response that donor T-lymphocytes generate against host tissue following allogeneic stem cell transplantation, is the leading cause of morbidity and mortality in these patients. Contribution of cardiac functions to the high rates of morbidity and mortality observed following GVHD has not been elucidated. The present study aims to find out whether there are cardiac effects in patients who received allogeneic bone marrow transplantation (BMT) and developed GVHD, and to determine the extent of this effect, if any.

Methods: The study included 14 patients (4 females and 10 males) with a mean age of 32 ± 9.4 who received BMT and was diagnosed with Graft-versus-host disease and 26 patients (12 females and 14 males) with a mean age of 38 ± 13 who did not develop graft-versus-host disease following transplantation. All patients underwent baseline echocardiography prior to BMT and were monitored. After the expected period of time has elapsed for GVHD following transplantation, these patients were divided into two groups based on the presence or absence of chronic GVHD, and were compared.

Results: No significant differences were observed between the two groups before BMT in terms of patients' demographical attributes and laboratory and echocardiographic findings ($p>0.05$). Hs-CRP level following BMT was 29.3 ± 15.7 mg/L in the GVHD group and 10.6 ± 9.7 mg/L in the non-GVHD group, while erythrocyte sedimentation rate (ESR) was 45.2 ± 18.2 mm/h in the GVHD group and 31.4 ± 11.4 mm/h in the non-GVHD group. Hs-CRP and ESR levels were significantly higher in the group of patients who developed GVHD compared to those who did not ($p<0.001$ and $p=0.01$, respectively). Mean left ventricular mass was 227.0 ± 32.3 g in the GVHD group and 149.3 ± 27.4 g in the non-GVHD group ($p<0.001$). E/A flow rate was significantly higher in the non-GVHD group, while isovolumetric relaxation and deceleration times were significantly higher in the GVHD group ($p=0.01$, $p=0.02$, $p=0.02$, respectively).

Conclusion: This study has showed that GVHD increases the left ventricular mass and leads to impairment in left ventricular diastolic functions in patients who developed chronic GVHD following BMT. In addition, it has demonstrated that inflammatory markers increased to higher levels in these patients.